

Ny regioninndeling av Norge: en kvantitativ økonomisk analyse

av
Solveig Ballo



Mastergradsoppgave i Samfunnsøkonomi
30 studiepoeng

Institutt for økonomi
Norges fiskerihøgskole
Universitetet i Tromsø

Mai 2007

Sammendrag

Tema i denne avhandlingen er, i tilknytning til den pågående offentlige diskusjonen, alternative regioninndelinger av Norge. Regjeringen ser for seg flere mulige løsninger: Dagens fylker med kanskje små endringer og en mellommodell med middels antall regioner eller landsdelsregioner (St.mld. 14: 2006 - 2007). Fra en samfunnsøkonomisk synsvinkel er det en naturlig forlengelse av dette offentlige ordskiftet å spørre hvordan vi kvantitativt kan måle hvilke områder som bør utgjøre en region. Dette spørsmålet er problemstillingen i denne masteravhandlingen. Jeg analyserer totalt fire konkrete forslag til regioninndeling. Dette er Statistisk Sentralbyrås Regin 2-inndeling og Eurostats Nuts 2-inndeling samt to forslag utarbeidet for Kommunenes Sentralforbund av professor Tor Selstad.

Jeg vil dels følge Fatás (1997) som baserer sin analyse på vekst i bruttoproduktet i regionene. Korrelasjonen i vekst i bruttoprodukt innad i regionene ses som et uttrykk for regionens homogenitet og konvergens. Dels vil jeg følge Chandra (2005) og overføre begreper fra finansteorien til regionaløkonomien ved å betrakte en region som en portefølje. *Investeringer* i porteføljen svarer da til *sektorene* i regionen, *avkastning* svarer til *økonomisk vekst* og *risiko* svarer til *ustabilitet* i økonomien. Jeg benytter et mål for homogenitet, P_n , konstruert av Chandra (Chandra 2005) som både tar hensyn til at en region kan være homogen både fordi den har sektorkonsentrasjon og fordi sektorene ligner på hverandre fordi de har like vekstprosesser.

Imidlertid tar ingen av de to ovenstående tilnærmingene eksplisitt hensyn til romligheten i analysen, utover det forhold at analyseenhetene, regionene, er geografiske analyseenheter. Det blir forsøkt gjort i denne avhandlingen.

I oppgaven konkluderer jeg med at en konvergenstilnærming vil kunne gi svar på om regionene vokser i samme tempo over tid. For det andre konkluderer jeg med at man gjennom en porteføljeteoretisk tilnærming fremhever sektorenes gjensidige avhengighet av hverandre. Videre konkluderer jeg med, i tilknytning til analysen med romlig autokorrelasjon, at det er mulig ved hjelp av indikatorer for global og lokal Morans I, å få svar på om regioner er omringet av naboer med like verdier eller ikke.

Forord

Temaet for denne avhandlingen har vært både spennende og utfordrende. Spennende både fordi tematikken i seg selv og metodeutviklingen har vært interessant. Utfordrende spesielt med hensyn til bearbeidingen av data, som var mer krevende og tok lengre tid enn forventet.

Først vil jeg takke min kjære ektemann Torstein som har vært hjemme og stelt dyra på gården helt alene, mens jeg har fått gjøre ferdig min utdannelse. Tusen takk til familien for oppmuntring, telefoner og støtte hele denne perioden.

Takk til veileder førsteamanuensis Stein Østbye, som har spilt en uvurderlig rolle i guidingen frem til resultatet. Det var han som ”overtalte” meg til å holde på ideen om å skrive om regioner, og han som har vist veien. Jeg vil også takke mine klassevenninner Lin Kristin, Kristin og Åsne for fellesskapet.

Til sist vil jeg komme med en kanskje spesiell takk. Hele studietiden har vært preget av den gode støtten fra mine gudforeldre: Gudmor Martha og nå avdøde Gudfar Hans. Gudfar Hans fikk aldri muligheten til skikkelig skolegang, men han forstod viktigheten av det, og oppmuntret meg alltid til å utdanne meg ved å si: ”Det e bare å få papiran i orden”. Nå føler jeg at det akkurat er det de er.

Tromsø 15.05.07

Solveig Ballo

Innholdsfortegnelse

1. Innledning	9
1.1 Bakgrunn	9
1.2 Problemstilling, forutsetninger og tidligere forskning	10
2. Homogene regioner	13
2.1 Konvergenstilnærming	13
2.2 Mål på homogenitet: porteføljeteoretisk tilnærming.....	14
2.2.1 Porteføljeteori i regionaløkonomi	14
2.2.2. Homogenitetsmålet P_n	16
2.2.3 Egenskaper ved H_n og R_n :	18
2.2.4 P_n 's egenskaper.....	20
2.2.5 Avsluttende bemerkninger om Chandras resultater	22
2.3 Utvidelse med romlig dataanalyse	23
2.3.1 Hvordan måle romlig autokorrelasjon.....	23
2.3.2 LISA - local indicators of spatial association.....	28
2.3.3 Avsluttende kommentarer til LISA	29
3. Empirisk analyse: Regioner i Norge.....	31
3.1 Om data	31
3.2 Empirisk konvergens.....	32
3.2.1 Korrelasjon i vekst i regionene.....	32
3.2.2 Utvidelse med global og lokal Moran's I.....	40
3.3 Porteføljeteoretisk tilnærming.....	42
3.3.1 Porteføljeteoretisk tilnærming.....	42
3.3.2 Utvidelse med global og lokal Moran's I.....	51
4. Avslutning	57
Litteraturliste.....	59
Appendiks	61

1. Innledning

1.1 Bakgrunn

Norge er inndelt i de tre forvaltningsnivåene stat, fylke og kommune. Fylket er det regionale forvaltningsnivået. I den rød-grønne regjeringens avtale om politisk plattform fra 2005, Soria Moria erklæringen, ble regjeringspartiene enige om at det fortsatt skal være tre folkevalgte forvaltningsnivåer i Norge og at et fornyet og styrket regionalt forvaltningsnivå skal etableres (Odin.dep.no). I arbeidet videre har regjeringen i Stortingsmelding 14 (2006 – 2007) ”Regionale fortrinn – Regional framtid” foreskrevet at de vil vedta en ny geografisk regioninndeling av Norge våren 2008 og fastslår at en endring av regiongrensene vil finne sted fra 1. januar 2010.

Regjeringens mål med reformen er både politiske og økonomiske. Reformen skal for det første føre til et økt folkestyre og styrking av det demokratiske system gjennom å desentralisere makt og myndighet. For det andre skal den føre til en større samordning og økt effektivitet i offentlig forvaltning. For det tredje skal den gi økt verdiskaping og sysselsetting basert på lokale og regionale fortrinn og forutsetninger. Og sist skal den bidra til effektiv ivaretakelse av nasjonale mål. Nasjonale mål som nevnes i denne sammenheng er bærekraftig utvikling, likeverdige tjenestetilbud og rettssikkerhet (ibid.).

I meldingen legges det vekt på at det er de offentlige oppgavene og virkemidlene som skal fordeles til regionene for å bidra til oppnåelsen av de nevnte målene. Dermed synes det som regjeringen vektlegger *oppgavefordelingen* mellom staten og den administrative regionen som avgjørende for regioninndelingen. Regjeringen vil gi regionene virkemidler og beslutningsmyndighet slik at regionene kan spille en sentral utviklingsrolle.

De *samfunnsøkonomiske* implikasjonene ved å endre de administrative regiongrensene kan imidlertid være avgjørende for en regions framtidige utvikling. Samfunnsøkonomer er interesserte i regionen som konsept, både fra en mikro- og en makroorientert synsvinkel. Hvilke områder som utgjør en region, hvilke karakteristika en region har og hvordan man måler hva som bør utgjøre en region, er alle tre sentrale spørsmål innenfor regionaløkonomien.

1.2 Problemstilling, forutsetninger og tidligere forskning

I tilknytning til den offentlige diskusjonen om regional inndeling av Norge, er det fra en samfunnsøkonomisk synsvinkel en naturlig forlengelse å spørre hvordan vi kvantitativt kan måle hvilke områder som bør utgjøre en region. Dette spørsmålet er problemstillingen i denne masteravhandlingen.

Samfunnsøkonomer har lenge vært interessert i problemstillinger rundt regioner og regionalisering. Nobelprisvinner i økonomi Robert Mundell skrev allerede i 1961 artikkelen ”A theory of optimum currency areas” der tematikken er kriterier for å tilhøre et valutaområde. Mundell fokuserer i denne artikkelen på arbeidernes og kapitalens mobilitet (Mundell, 1961). Teorien om optimale valutaområder er senere videreutviklet. Kriterier som har kommet til er *åpenhet* i handel og *spredning* av økonomisk aktivitet slik at landene reagerer likt på sjokk i økonomien (Baldwin, 2006). I regionaløkonomien er en region gjerne forstått som et sub-nasjonalt område (Richardson 1973). Vi forutsetter fri flyt av produksjonsfaktorer innenfor regionen. Dermed blir kriteriet om spredning av aktiviteten i økonomien spesielt interessant i denne sammenhengen, da man kan trekke en parallel til en porteføljeteoretisk tilnærming på regionen. Det gjøres i en av modellene i denne avhandlingen.

I regionaløkonomien bygger man som regel på en neoklassisk tilnærming der frikonkurranseforutsetninger er avgjørende for å forklare regional dynamikk. Mange aktører som er pristakere, rasjonelle aktører, full informasjon, priskonkurranse, ingen transaksjonskostnader (”fri flyt”), ingen markedsbarrierer, samt fravær av eksternaliteter eller stordriftsfordeler er slike forutsetninger. Spesielt de tre siste forutsetningene er viktige å forstå i regionaløkonomien, da geografiske avstander internt i regionen, eksternaliteter som fører til økt/svekket konkurranseevne innad i regionen eller lettere oppnåelse av stordriftsfordeler i én region fremfor en annen, har svært mye å si (Teigen 1999).

Det er kommet mange innspill i den offentlige debatten om det nye regionale nivået i Norge. Den regjeringsoppnevnte Barlindhaugkommisjonen (NOU 19: 2004) konkluderer med at en sammenslåing av dagens fylker til landsdelsregioner er beste løsning. Blant de som har kommet med kritikk av kommisjonens utredning, er samfunnsøkonomene Hervik og Rattsø i fagbladet Økonomisk Forum. De mener at landsdelsregioner er et blindspor og at

regionkommuner er en mer interessant løsning (Hervik og Rattsø 2004). Tor Selstad konkluderer i en rapport skrevet for Kommunenes Sentralforbund (KS) at den beste regioninndelingen vil være en aggregering av dagens fylker opp til syv regioner, med alternative inndelinger på syv og ni regioner (Selstad 2004). Regjeringen ser for seg flere løsninger. Blant annet en løsning med en videreføring av dagens fylker med kanskje små endringer, og en mellommodell med middels antall regioner eller landsdelsregioner (St.mld. 14: 2006 - 2007).

Barlindhaugutvalgets hovedkonklusjon om at landsdelsregioner er beste regioninndeling og Selstads forslag om syv eller ni regioner, er basert på forskjellige tilnærmingar som både tar hensyn til variabler som regional identitet, historisk funksjon og oppgavefordeling. Denne avhandlingen vil imidlertid ha et samfunnsøkonomisk makroperspektiv. Det vil si at slike variabler ikke vil bli tatt med i analysen

Empirisk data fra Norges fylker vil bli brukt for å illustrere hvordan regioninndelingen endres ved valg av tilnærming. Ser vi en motsetning mellom disse, eller vil de understøtte hverandre? Endrer bildet seg når vi anvender indikatorer for romlig autokorrelasjon? Resultatene som framkommer vil bli sammenlignet med inndelingsforslagene fra KS og landsdelsinndelingen gjort av SSB (Regin 2) og landsdelsinndelingen i samsvar med Eurostats NUTS2-nivå.. Resultatene fra de utvalgte tilnærmingene vil bli diskutert i lys av de nevnte inndelingsforslagene.

Det er ønskelig ut fra et faglig økonomisk ståsted at den økonomisk funksjonelle regionen sammenfaller med den administrative. Dette synspunktet kommer tilsyns for eksempel i teorien om optimale valutaområder. Grunnen til dette, er at graden av sammenfall mellom en økonomisk funksjonell region og den administrative regioninndelingen sier noe om hvordan områdene som inngår i regionen passer sammen og hvordan oppgaver og ansvar er fordelt mellom dem (OECD 2002). Om ikke disse typene regioner sammenfaller, kan det oppstå spenninger mellom de ulike administrative regionene og planleggingsproblemer kan oppstå (Andersen 2002).

For å operasjonalisere problemstillingen, antar jeg at argumentet om at den økonomisk funksjonelle regionen bør sammenfalle med den administrative, også gjelder for den økonomisk homogene regionen. Der er to grunner til dette: a) Det er vanskelig å innhente data

for den økonomisk funksjonelle regionen, da det eksisterende datamaterialet som regel er innhentet på administrativt regionnivå. En følge av dette er at de økonomisk funksjonelle regionene kan være vanskelig å finne rent metodisk. b) I Norge kan det være vanskelig å analysere regioninndeling ut fra økonomisk funksjonell tilnærming, da forholdene av og til er så små at vi ikke kan bruke denne definisjonen. Kommunene Sentralforbund (KS) hevder at det er mulig å etablere et funksjonelt regionnivå over fylkesnivået, for eksempel det som er blitt kalt kunnskapsregioner (Selstad 2004). Dersom fylkene har stor grad av samhandling, vil dette komme til uttrykk ved at den økonomiske veksten blir mer lik fylkene imellom (Chandra 2005). Jeg vil her følge Fatás (1997) og Chandra (2005) som baserer sin analyse på vekst i bruttoproduktet i regionene i min analyse av de nevnte forslagene til regioninndelinger.

Videre har det vært hensiktsmessig å velge ut to samfunnsøkonomiske fremgangsmåter eller tilnærninger, for å teste forskjellige mål på regiontilhørighet. Først vil det bli redegjort for en korrelasjonstilnærming til homogen region. Det vil si at de regionforslagene der fylkene i regionen har korrelerende vekstutvikling, naturlig utgjør en region. Deretter vil det bli redegjort for en porteføljeteoretisk tilnærming, som har sitt opphav i finansøkonomien. Her sees regionen som en portefølje, mens næringssektorene i regionen sees på som eiendeler/aksjer i porteføljen. Sistnevnte tilnærming er noe mer metodisk utfordrende, og vil derfor vies mye av kapittelet som omhandler teorien. Disse to tilnærmingene vil suppleres med romlig dataanalyse for at geografien skal komme eksplisitt til uttrykk.

Den offentlige debatten vil sannsynligvis tilta i året som kommer. Denne avhandlingen kan således sees på som et bidrag til denne. Avhandlingens hovedbidrag er imidlertid en faglig og akademisk tilnærming der empiri brukes for å drøfte homogen regioninndeling på et kvantitativt grunnlag.

I kapittel 1 vil jeg videre definere regionen og redegjøre for tidligere forskning. I kapittel to vil det bli redegjort for modellene som skal brukes og kapittel tre er viet den empiriske analysen og drøftingen av denne. Kapittel fire inneholder en oppsummering og konklusjoner.

2. Homogene regioner

2.1 Konvergenstilnærming

Fatás (1997) har skrevet artikkelen ”EMU: Countries or regions? Lessons from the EMS experience” der han undersøker om landene i Europa har konvergert mot hverandre i EMS-samarbeidet, og trekker derfra konklusjoner om fremtidig Eurosamarbeid. Han undersøker lands- og regioners utvikling over tid i EU ved å bruke sysselsettingsdata og ved å undersøke graden av korrelasjon.

Forskjellige regioner har forskjellig økonomisk utvikling, og Fatás identifiserer to faktorer som bestemmer størrelsen og formen på den regionale økonomiske utviklingen: For det første bestemmes dette av at regionenes produksjonsmiks. Regionene spesialiserer seg, og på grunn av sektorspesifikke sjokk, enten på produksjons- eller etterspørselssiden, fører dette til asymmetri. Graden av regional spesialisering definerer forskjellene i produksjonsstrukturen på tvers av land og regioner. I EU er graden av spesialisering mye svakere enn i USA (ibid.).

For det andre bestemmes, i følge Fatás, størrelsen og formen på den regionale økonomiske utviklingen av forskjellig økonomisk politikk. Dette er hovedsakelig årsaken til regionale forskjeller innad i statene. Graden av regional spesialisering og koordinering av økonomisk politikk bestemmer graden av fluktuasjoner mellom land og regioner (ibid.).

Fatás analyserer fluktuasjoner i den økonomiske utviklingen på regionalt, nasjonalt og europeisk nivå ved å se på sysselsettingsvekstrater. Grunnen til at det ikke brukes mer vanlige variabler, som inntekt eller BNP, er for det første den dårlige datatilgjengeligheten på regionalt nivå. For det andre er data som BNP avhengig av valutakurs, hvilket er en utfordring ved analyser på tvers av land. Deretter ser Fatás på korrelasjon i sysselsettingsvekst mellom hvert land og mellom hver region, og sammenligner resultatene med resten av EU samlet.

Fatás konkluderer med at den økonomiske betydningen av landegrenser er redusert og at regionen er blitt viktigere. Denne konklusjonen trekkes fordi korrelasjonen i sysselsettingsvekst på tvers av landegrensene i analyseperioden har blitt større over tid, mens den er blitt mindre innenfor landegrensene. For eksempel identifiserer Fatás at regionene i Nord-Italia har høyere korrelasjon med regioner i Tyskland enn med Sør-Italienske regioner.

Fatás mener dette kommer av to ting: For det første skaper europeisk integrasjon og økende handel mer aktivitet over landegrensene i stedet for å øke spesialiseringen på land-nivå. For det andre skaper koordineringen av økonomisk politikk økt korrelasjonen på tvers av landegrensene.

2.2 Mål på homogenitet: porteføljeteoretisk tilnærming

Chandra (2005) konstruerer et mål på homogenitet ved å bruke en porteføljeteoretisk tilnærming. Målet med dette er å få et mål som tar hensyn til at homogenitet både består av en komposisjonell del og en likhetsdel. Før selve målet presenteres, er det nødvendig med en redegjørelse for porteføljeteori i regionaløkonomi.

2.2.1 Porteføljeteori i regionaløkonomi

Moderne porteføljeteori bygger på at Markowitz, ofte kalt den moderne porteføljeteoriens far, fant et systematisk forhold mellom *likheten* av aksjene i en finansiell portefølje og den *forventede avkastning* til porteføljen mht risiko og avkastning. Lite spredning på aksjene, dvs at innholdet i aksjeporteføljen er nært korrelert med hverandre, gir høy risiko og høy forventet avkastning. For å spre risiko, holder man en portefølje der aksjene i porteføljen ikke er perfekt korrelert med hverandre. Forventet avkastning er lavere i en lavrisiko- enn i en høyrisikoporfølje.

Man kan overføre dette finansteoretiske grunnlaget til regionaløkonomien ved å betrakte en region som en portefølje. *Investeringer* i porteføljen svarer da til *sektorene* i regionen, *avkastning* svarer til *økonomisk vekst* og *risiko* svarer til *ustabilitet* i økonomien (Chandra 2005). Man tenker seg at på et bestemt tidspunkt har en region et bestemt antall ressurser (produksjonsfaktorer) som alle investeres i sektorer som produserer avkastning (vekst) i form av sysselsetting, lønnsinntekt, annen inntekt eller andre produkt fra den økonomiske aktiviteten (Conroy 1975).

Ved å se på den regionale økonomien som en portefølje, framhever man sektorenes gjensidige avhengighet av hverandre innenfor den regionale økonomien. I en regionaløkonomisk kontekst betyr diversifisering av en portefølje at vi ønsker å redusere fluktuasjoner og ustabilitet i regionens avkastning/vekst. Dette gjør at vi ikke fokuserer på å redusere den individuelle sektorens ustabilitet, men at man også tar med i vurderingen sektorens gjensidige

avhengighet av andre sektorer i hele regionen, altså porteføljen. Variansen brukes som et mål på ustabilitet i regionen (risiko i porteføljen). Å se på den regionale økonomien som en portefølje er således nøkkelen til å analysere spredning/diversifisering av aktivitet i økonomien. (ibid.).

Den tradisjonelle måten å anvende en porteføljeteoretisk tilnærming på er å analysere variansen til den regionale vekstraten. Chandra (2005) eksemplifiserer denne tilnærmingen ved å definere en indeks, V , som

$$V = \mathbf{s} \mathbf{V}_G \mathbf{s}' \quad (2.1)$$

der \mathbf{V}_G er varians-kovariansmatrisen til sektorenes vekstrater og \mathbf{s} er en $1 \times n$ vektor av sektorandeler i de n sektorene i økonomien. Summen av markedsvektoren er 1 fordi sektorene til sammen utgjør hele økonomien. Varians-kovariansmatrisen kjennetegnes ved at variansen er langs diagonalen i matrisen og kovariansen fyller de resterende ikke-diagonale elementene. Størrelsen på kovariansen avhenger av hvor systematisk samvariasjon det er mellom sektorene, og hvor mye variasjon det er i hver sektor (Bredesen 2001). Vanligvis vil variansen til en portefølje beregnes ut fra variansen til gjennomsnittet. I sammenheng med en porteføljeteoretisk tilnærming i regionaløkonomien vil imidlertid variansen av en sektors vekstrater beregnes som dens avvik fra regionens vekstrate.

Denne framgangsmåten vil gi et mål på variansen til den regionale vekstraten. Dette målet er ikke normalisert slik at det er sammenlignbart for alle regioner. Chandra viser med følgende eksempel hva som menes med dette.

Anta to økonomier A og B, hvorav hver har to sektorer. Anta at hver sektors andel av bruttoregionalproduktet er 0,5. Anta videre varians-kovariansmatrise av sektorenes vekstrater i A og B:

$$V_A = \begin{bmatrix} 10 & 0 \\ 0 & 10 \end{bmatrix} \quad V_B = \begin{bmatrix} 2 & 0 \\ 0 & 2 \end{bmatrix}$$

Vi ser at de to økonomiene er homogene i den forstand at de begge består av to like store sektorer. De to økonomiene er også homogene i den forstand at kovariansen mellom sektorene er null, det vil si at det ikke er noen samvariasjon i sektorenes vekstrater. Vi ser at eneste forskjell mellom økonomiene er nivået på variansen. Ved å normalisere varians-kovariansmatrisen får man korrelasjonsmatrisen som er et variansnøytralt mål. Dermed blir homogenitetsmålet sammenlignbart for alle regioner.

Normaliseringen utføres ved å skalere varians-kovariansmatrisen med variansen til sektorenes vekstrater. Det gjøres etter definisjonen ved å dele elementene i matrisen på produktet av roten til variansen til vekstraten fra de respektive sektorene. Tosektortilfellet normaliseres på følgende måte:

$$\mathbf{C}_{\Delta G} = \begin{bmatrix} \frac{\sigma_{11}}{\sqrt{\sigma_{11}}\sqrt{\sigma_{11}}} & \frac{\sigma_{12}}{\sqrt{\sigma_{11}}\sqrt{\sigma_{22}}} \\ \frac{\sigma_{21}}{\sqrt{\sigma_{11}}\sqrt{\sigma_{22}}} & \frac{\sigma_{22}}{\sqrt{\sigma_{22}}\sqrt{\sigma_{22}}} \end{bmatrix} = \begin{bmatrix} \rho_{11} & \rho_{12} \\ \rho_{21} & \rho_{22} \end{bmatrix} = \begin{bmatrix} 1 & \rho_{12} \\ \rho_{21} & 1 \end{bmatrix}$$

Man oppnår med normaliseringen en korrelasjonsmatrise av sektorielle likheter fordi korrelasjonskoeffisienten måler lineær assosiasjon mellom sektorene. Dermed blir de ikke-diagonale elementene i korrelasjonsmatrisen indikatorer på parvise likheter mellom sektorene i økonomien (ibid.). Chandra oppnår med denne normaliseringen å kunne konstruere et mål for homogenitet, P_n , som tar hensyn til at en region kan være homogen både fordi den har sektorkonsentrasjon og fordi sektorene ligner på hverandre fordi de har like vekstprosesser.

2.2.2. Homogenitetsmålet P_n

Målet på homogenitet er P_n :

$$P_n = \mathbf{s} \mathbf{C}_{\Delta G} \mathbf{s}' \quad 0 \leq P_n \leq 1 \tag{2.2}$$

\mathbf{s} er en $1 \times n$ vektor av sektorandeler i de n sektorene i økonomien. Summen av markedsvektoren er 1 fordi sektorene til sammen utgjør hele økonomien. $\mathbf{C}_{\Delta G}$ er en $n \times n$ korrelasjonsmatrise (den normaliserte varians-kovariansmatrisen) der elementene i matrisen viser hvor mye sektorenes vekstrater avviker fra den regionale økonomiske vekstraten. Matrisen måler altså variasjonen i den regionale vekstraten. Korrelasjonen mellom

elementene i og j i matrisen er ρ_{ij} som variere mellom -1 og 1. Matrisen er symmetrisk, så $\rho_{ij} = \rho_{ji}$.

P_n er mindre eller lik 1 på grunn av at summen av sektorandelene ($\sum s_i$) er 1 og fordi maksimalverdiene av matrisen $C_{\Delta G}$ forekommer i de tilfellene der alle sektoravvik fra den regionale vekstraten er perfekt korrelert med hverandre, noe som gjør $C_{\Delta G}$ til en matrise av 1-ere. Før- og ettermultiplisering av denne matrisen med en vektor av sektorandeler som summeres til 1 gir resultatet 1. Økonomien ser da ut som en en-sektorøkonomi, og de sektorielle avvikene er alle 0. P_n er lik eller større enn null fordi P_n bygger på korrelasjonsmatrisen $C_{\Delta G}$, hvis egenskap er at den er positiv semidefinit. Semidefinit innbefatter at matrisen er kvadratisk, symmetrisk, har positive egenverdier og er invertibel.

Korrelasjonsmatrisen er helt avgjørende for å forstå den porteføljeteoretiske tilnærmingen til regionale vekstmønster. Korrelasjonen mellom sektorenes avvik fra økonomiens vekstrate gir oss informasjon om i hvilken grad en sektors avvik fra den regionale vekstraten kan dempe fluktuasjoner i den regionale vekstraten om sektorandelene endres (Chandra 2005). Dette er helt analogt til moderne porteføljeteori, der vi ser på hvordan avvik fra resten av porteføljen kan forsterke den.

Dekomponering for to-sektor tilfellet vises på følgende måte:

$$P_n = \begin{bmatrix} s_1 & s_2 \end{bmatrix} \begin{bmatrix} \rho_{11} & \rho_{12} \\ \rho_{21} & \rho_{22} \end{bmatrix} \begin{bmatrix} s_1 \\ s_2 \end{bmatrix}$$

$$P_2 = \begin{bmatrix} s_1 \rho_{11} + s_2 \rho_{21}, s_1 \rho_{12} + s_2 \rho_{22} \end{bmatrix} \begin{bmatrix} s_1 \\ s_2 \end{bmatrix}$$

$$P_2 = s_1^2 \rho_{11} + s_1 s_2 \rho_{21} + s_2 s_1 \rho_{12} + s_2^2 \rho_{22}$$

$$P_2 = \sum_{i=1}^2 s_i^2 + 2 \sum_{i=1}^2 \sum_{j=1, j>i}^2 s_i s_j \rho_{ij}$$

På generell form med n sektorer vil dekomponeringen se slik ut:

$$P_n = \sum_{i=1}^n s_i^2 + 2 \sum_{i=1}^n \sum_{j=1, j>i}^n s_i s_j \rho_{ij} \quad (2.3)$$

Første ledd i P_n er den velkjente Herfindahlindeksen (H_n) som er mest kjent som en konsentrasjonsindeks i næringsøkonomi, men som også anvendes i andre sammenhenger, bl.a. i regionaløkonomi (se f.eks McCann, 2001, s. 81). Andre del av uttrykket er en likhetsindeks (R_n). Dermed kan homogenitetsmålet skrives:

$$P_n = H_n + R_n \quad (2.4)$$

2.2.3 Egenskaper ved H_n og R_n :

Herfindahlindeksen er et mål for *sammensetningen* av økonomisk aktivitet på tvers av flere sektorer. Målet for komposisjon/sammensetning uttrykkes

$$H_n = \sum_{i=1}^n s_i^2 \quad 0 \leq H_n \leq 1 \quad (2.5)$$

Herfindahlindeksen er et velbrukt konsentrasjonsmål basert på den kvadrerte summen av markedsandeler av alle firmaene i en sektor. For en region som består av en sektor vil Herfindahlindeksen være lik 1, $H_n = 1$, fordi sektoren har en markedsandel på $s_1=1$, og dermed er $s_1^2=1$. For en region med N firma, er maksimal mulig verdi $H_n = 1$, og den minste mulige verdi $H_n = 1/N$. Maksimalverdien $H_n = 1$ forekommer når spredningen på størrelsen av de N sektorene er skjev. I det ekstreme tilfellet har en dominerende sektor en markedsandel marginalt under 1, og $N - 1$ veldig små sektorer har hver en markedsandel marginalt over null. I bunn og grunn er dette det samme som at det bare er en sektor i regionen, dvs $HI = 1$. Minimumsverdien $H_n = 1/N$ forekommer når regionen består av N like store sektorer. I dette tilfellet har hver sektor en markedsandel $s_i = 1/N$. Derfor er

$$s_i^2 = (1/N)^2 \quad \text{for } i = 1, \dots, N \quad \text{og} \quad H_n = \sum(1/N)^2 = N(1/N)^2 = 1/N,$$

slik at en region som består av mange N, vil ha en H_n som går mot null (ibid.).

Likhetsindeksen er et mål på i hvilken grad økonomisk aktivitet i forkjellige sektorer ligner økonomisk aktivitet i andre sektorer. Korrelasjonen mellom sektorene uttrykkes

$$R_n = 2 \sum_{i=n}^n \sum_{j=1, i \neq j}^n s_i s_j \rho_{ij} \quad -1 \leq R_n \leq 1 \quad (2.6)$$

Korrelasjonsmatrisen er som nevnt tidligere per definisjon positiv semidefinitt. Når man kombinerer dette med at $P_n = H_n + R_n$ og øvre og nedre grense for Herfindahlindeksen: $0 \leq H_n \leq 1$, og homogenitetsmålet: $0 \leq P_n \leq 1$, og at så ser vi at dersom $H_n = 1$ og $P_n = 0$, da må R_n være -1 . I motsatt tilfelle: Dersom $H_n = 0$ og $P_n = 1$, da må R_n være 1 . Likhetsindeksen tar derfor verdier mellom -1 og 1 (Chandra 2005). R_n vokser når korrelasjonen mellom sektorenes avvik fra den regionale vekstraten øker (dvs at avvikene fra regional vekstrate blir mindre), ceteris paribus. Samtidig vil R_n vokse dersom sektorenes andeler i regionen jevnes ut, ceteris paribus.

Disse egenskapene presiseres ved følgende eksempel. Anta n sektorer der to av sektorene er k og l . Hvis vi sier at alle korrelasjoner av vekstavvik mellom sektor k og de andre sektorene j , ρ_{kj} , er større enn alle korrelasjoner av vekstavvik mellom sektor l og de andre sektorene j , ρ_{lj} . Mer presist: $\rho_{kj} \geq \rho_{lj}$, der $j \notin \{k, l\}$.

Vi får da likhetsindeksen:

$$2 \sum_{j=1, j \neq k, l}^n s_k s_j \rho_{kj} - 2 \sum_{j=1, j \neq k, l}^n s_l s_j \rho_{lj} + 2 s_k s_l \rho_{kl} \quad (2.7)$$

En endring i en sektor gir motsatt endring i en annen sektor i regionen, derfor er her

$$\frac{ds_l}{ds_k} = -1 \quad (\text{antar at ikke } j \text{ påvirkes}). \quad \text{Så når vi deriverer ... mhp en endring i sektor k:}$$

$$\frac{dR_n}{ds_k} = 2 \left[\sum_{j=1, j \neq k, l}^n s_j \rho_{kj} - \sum_{j=1, j \neq k, l}^n s_j \rho_{lj} + s_j \rho_{kl} - s_k \rho_{kl} \right] \quad (2.8)$$

som kan forkortes:

$$2 \left[\sum_{j=1, j \neq k, l}^n s_j (\rho_{kj} - \rho_{lj}) + (s_l - s_k) \rho_{kl} \right]$$

Vi ser nå at det første leddet per definisjon er positivt fordi vi forutsatte at k 's korrelasjon med j er større enn l 's korrelasjon med j . Fortegnet på andre ledd kommer an på hvor stor relativ andel sektor k og l har i regionen, og på om korrelasjonen mellom k og l er positiv eller negativ. Dette leddet fanger opp at sektorandelene påvirker likhetsindeksen. Vi ser nå at sektor k er mer lik den regionale økonomien enn sektor l hvis

$$\sum_{j=1, j \neq \{k\}}^n s_j \rho_{kj} \geq \sum_{j=1, j \neq \{l\}}^n s_j \rho_{lj} + \delta \quad (2.9)$$

der vi har definert en konstant $\delta \geq (s_l - s_k) \rho_{kl}$. Det vil si at korrelasjonen mellom sektor j og k må være større enn korrelasjonen mellom sektor j og l, og samtidig stor nok til å nøytraliser virkningen av sektorandelene til k og l og korrelasjonen mellom dem. Vi ser nå at en økning i sektor k sin andel av økonomien, med en korresponderende nedgang i sektor l, vil resultere i en økning av målt likhet i homogenitetsmålet – dvs R_n øker (ibid.).

2.2.4 P_n 's egenskaper

Hva skjer med homogenitetsmålet, P_n , om sektor andelene eller at korrelasjonen i vekstavvik endrer seg? Vi får det frem, i tråd med Chandra, ved å derivere P_n med hensyn på enten endringer i sektorandelene (sammensetning) eller endring i sektorenes korrelasjon (likhet). Vi får tre resultat:

Sensitiviteten til P_n ved endring i ρ_{ij} ($i \neq j$):

$$\frac{dP_n}{d\rho_{ij}} = 2s_i s_j \quad (2.10)$$

En endring i korrelasjonen mellom to sektors avvik fra den regionale vekstraten fører til en endring i homogenitetsmålet P_n som er likt to ganger produktet av sektorandelene. Det er alltid positivt fortegn på den deriverte, så en økning i korrelasjonen mellom to sektors avvik fra den regionale vekstraten leder til en økning i homogenitetsmålet P_n .

Betrakt sensitiviteten til P_n ved endring i markedsandeler, s_i :

$$\frac{\partial P_n}{\partial s_i} = 2 \left(s_i + \sum_{j=1, j \neq i}^n \rho_{ij} s_j \right) \quad (2.11)$$

Vi ser at endringen av sektorandelene kan virke både positivt og negativt på homogenitetsmålet. Fortegnet på den partielt deriverte kan være både positiv og negativ avhengig av verdiene inne i parentesen: størrelsen på andelen av sektor i (s_i) og korrelasjonene mellom s_i 's avvik fra den regionale vekstraten med de av de andre sektorenes avvik fra den regionale vekstraten (ρ_{ij}) og deres andel av den regionaløkonomien (s_j). Hvis denne korrelasjonen er negativ og andelene av de andre sektorene ikke er store nok, vil den partielt deriverte være negativ. Ellers vil den ikke være negativ. Realistisk sett er det ikke så meningsfylt å partiellderivere rett og slett fordi en sektor ikke kan endres uten at minst en annen endrer seg. Da er det mer meningsfylt å se på sensitiviteten til P_n ved endring i allokeringen av sektorandeler på tvers av sektorer (Chandra 2005). Vi ser først på to-sektor tilfellet.

Vi har to sektorer. Vi vet som før at dersom sektor l endrer seg vil dette automatisk føre til en like stor og motsatt endring i sektor k (om l vokser så synker k og vice versa). Endringen i P_n blir:

$$dP_n = 2 \left[ds_k \sum_{j=1, j \notin \{k, l\}}^n \rho_{lj} s_j + ds_l \sum_{j=1, j \notin \{k, l\}}^n \rho_{lj} s_j + ds_k (s_l \rho_{kl} + s_k) + ds_l (s_k \rho_{kl} + s_l) \right] \quad (2.12)$$

På grunn av våre antakelser om endring i sektorene har vi at $\frac{ds_l}{ds_k} = -1 \Rightarrow ds_k = -ds_l$. Dermed

kan (2.9) skrives som:

$$\frac{dP_n}{ds_l} = 2 \left[\sum_{j=1, j \notin \{k, l\}}^n \rho_{kj} s_j - \sum_{j=1, j \notin \{k, l\}}^n \rho_{lj} s_j + s_l \rho_{kl} - s_k \rho_{kl} + s_k - s_l \right] \quad (2.13)$$

Vi antar at sektor l er mindre enn sektor k : $s_k > s_l$, og at endringen i sektor l er positiv, slik at $ds_l > 0$, da er endringa i k negativ. Hvis korrelasjonen mellom sektorene i og j er null (ingen lineær sammenheng), $\rho_{ij} = 0$, ($\forall i, j$), $j \neq j$, så er den deriverte negativ og homogenitetsmålet P_n er synkende. Dette er fordi P_n i dette tilfellet er lik Herfindahl indeksen som synker når en relativt stor sektor går ned i regionalandel. Hvis P_n skal øke når sektorandelene blir mer like, så må sektor l ha høy nok korrelasjon med de andre sektorene og/eller sektor k må ha lav nok.

Sensitiviteten til P_n ved endring i allokeringen av sektorandeler på tvers av sektorer i n-sektor tilfellet er gitt ved:

$$dP_n = 2 \left[\sum_{j=1}^n \left(ds_k \sum_{j=1, j \neq k}^n \rho_{kj} s_j \right) + \sum_{k=1}^n s_k ds_k \right] \quad (2.14)$$

2.2.5 Avsluttende bemerkninger om Chandras resultater

Siden homogenitet både kan forståes som at det er sektorkonsentrasjon i regionaløkonomien, og som at alle sektorene i økonomien ligner på hverandre mhp vekst så vil anvendelse av Chandras porteføljeteoretiske homogenitetsmål kunne gi et mer nyansert mål på homogenitet enn tidligere mål har kunnet, da disse ikke har kunnet dekomponeres på denne måten. Disse to komponentene, H_n og R_n , kan være negativt korrelert med hverandre og Chandra viser empirisk at de er det i USA.

I den empiriske delen av artikkelen fant Chandra at sammensetningskomponenten og likhetskomponenten var relativt stabil i USA over de to tiårene han undersøkte. Der det var variasjon syntes dette å komme av variasjon i likhetsindeksen, R_n . Deretter undersøkte han korrelasjonen mellom P_n og de to komponentene. For det første fant han at P_n og R_n var positivt- og høyt korrelerte. For det andre han at R_n var negativt- og ikke veldig høyt korrelert med H_n . Dette er det viktigste funnet, siden det tyder på at økt komposisjonell spesialisering følges av en nedgang i likhet og vice versa. Wyoming nevnes som et eksempel på dette: Likhetskomponenten gikk ned, mens den komposisjonelle likheten økte. Dette kom sannsynligvis av gruvedriften i området som økte i sektorandel fra den ene perioden til den andre. Men sektoren vokste i et annet mønster enn de andre sektorene i regionen og dette bidro til en nedgang i R_n som igjen gjorde at det totale homogenitetsmålet P_n sank (ibid.).

Deretter ble forholdet mellom homogenitet og økonomisk ustabilitet testet for å finne ut hvilken av de indeksene som påvirker ustabilitet. Han finner at de er likt korrelert med ustabilitet, hvilket er interessant fordi det tyder på at sammensetningen av sektorer i en regional økonomi er like viktig som i hvilken grad forskjellige sektorer korrelerer med hverandre når det gjelder å påvirke ustabilitet. De forskjellige geografiske mønstrene i de to

homogenitetskomponentene tyder på at årsakene til økonomisk ustabilitet i forskjellige deler av USA er forskjellige fra region til region.

2.3 Utvidelse med romlig dataanalyse

Ingen av de to ovenstående tilnærmingene har tatt eksplisitt hensyn til romligheten i analysen utover at det er geografiske analyseenheter (regioner). Jeg skal nå supplere korrelasjonstilnærmingen til Fatás og den porteføljeteoretiske tilnærmingen til Chandra til å omfatte også det romlige aspektet. Romlig dataanalyse har som hensikt å beskrive den romlige variasjonen i studieområdet. Det er helt sentralt for analysen at hver bit av informasjon, altså datamaterialet, har en geografisk referanse og kan pekes ut på et kart (Haining 2003: kap. 2).

Romlig data minner mye om tidsseriedata. I begge tilfeller vil data som følger etter hverandre i en serie normalt ha verdier i nærheten av hverandre. Den store forskjellen er at i tidsseriedata kan påvirkningen mellom dataene i serien normalt bare gå fra fortid til framtid, mens den i romlig data kan gå ”alle veier”. Romlig avhengighet er også mer komplisert enn avhengighet i tid, fordi den strekker seg over to dimensjoner, ikke en, og fordi strukturen til den avhengigheten ikke trenger å være den samme langs de to aksene (nord/sør, øst/vest). Romlig data må dermed behandles med egne statistiske teknikker (*ibid.*).

Å sjekke for romlig autokorrelasjon er en slik statistisk teknikk. Her vurderes den gjensidige avhengigheten mellom variabler som har en romlig referanse, på jakt etter et romlig mønster i korrelasjonen.

2.3.1 Hvordan måle romlig autokorrelasjon

Kvantifisering av romlig avhengighet kan gjøres enten ved bruk av områdedata eller objektdata. Områdedata kjennetegnes ved at dataene observeres i det kontinuerlige rom, for eksempel som punkt på en overflate. Objektdata observeres i det diskrete rom, for eksempel inntekt per capita i en region. For å modellere på en adekvat måte for norske regioner modellerer vi derfor med objektdata, altså i det diskrete rom.

All analyse av romlig autokorrelasjon bygger på en romlig datamatrise. Denne matrisen er sluttproduktet etter at man har generalisert, forenklet og operasjonalisert geografien. I

forholdet mellom matrisen og virkeligheten må man huske på at den inneholder romlig avhengighet; At man må velge hva som skal inngå i matrisen og at den på den måten skiller seg fra virkeligheten og at unøyaktighet i måleprosessen er en viktig kilde til usikkerhet (Haining 2003). La Z_1, Z_2, \dots, Z_k referere til k variabler og \mathbf{S} til lokaliseringen av et område. Den romlige datamatrisen vil da se slik ut:

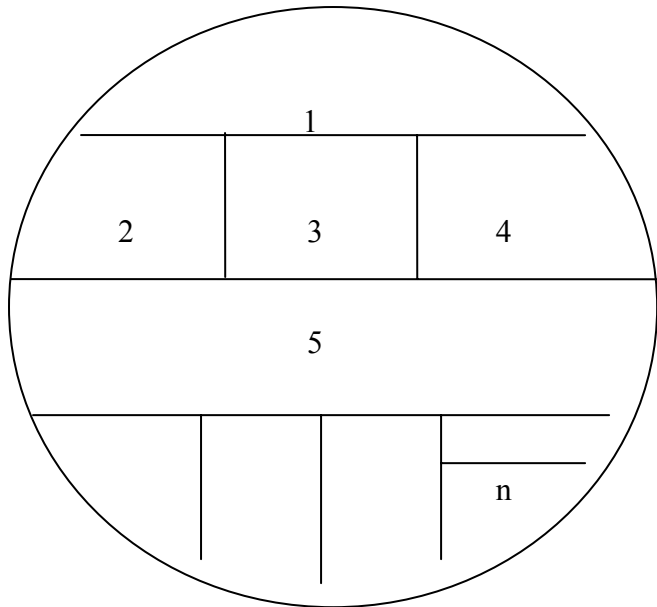
$$\begin{bmatrix} z_1(1) & z_2(1) & \cdots & z_k(1) & s(1) \\ z_1(2) & z_2(2) & \cdots & z_k(2) & s(2) \\ \vdots & \vdots & \vdots & \vdots & \vdots \\ z_1(n) & z_2(n) & \cdots & z_k(n) & s(n) \end{bmatrix} \begin{array}{l} \text{case1} \\ \text{case2} \\ \vdots \\ \text{casen} \end{array}$$

Matrisen kan forkortes til:

$$\{z_1(i), z_2(i), \dots, z_k(i)|s(i)\}_{i=1, \dots, n}$$

z og s viser til observerte data, men (i) viser til et spesielt tilfelle, $i = 1, \dots, n$. Tilknyttet tilfellet (i) finnes en lokalisering $s(i)$ som representerer lokaliseringen av det romlige objektet. $s(i)$ er en lokaliseringsvektor. Tid er implisitt i matrisen, fordi data skal kunne være sammenlignbar uavhengig av tid. I tillegg til informasjonen fra lokaliseringsvektoren $s(i)$ må vi også ha informasjon om tilgrensende områder. Dette kalles naboinformasjon. Det er flere kriterier for å definere hva som er et naboområde. Disse vil jeg ikke gå inn på her, da Norge allerede er inndelt i regioner, slik at det er mest hensiktsmessig å bruke de eksisterende grensene (ibid.).

Vi kvantifiserer naboinformasjonen med en $n \times n$ tilhørighetsmatrise \mathbf{C} , der hvert punkt eller område har en egen rad eller kolonne. Hvis i og j er lenket sammen, er naboer, så vil $w(i, j) = w(j, i) = 1$ hvor $w(i, j)$ angir plassering på rad i og kolonne j i \mathbf{C} . Områder som ikke er naboer vil være 0. Et område kan ikke være nabo med seg selv. Følgelig $w(i, i) = 0$ for alle i . Matrisen er symmetrisk rundt diagonalen. Figur 1 illustrerer kvantifisering av naboinformasjon ved å vise et stilisert kart med en tilhørende matrise:



$$C = \begin{matrix} 1 & \begin{bmatrix} 0 & 1 & 1 & 1 \dots 0 \end{bmatrix} \\ 2 & \begin{bmatrix} 1 & 0 & 1 & 0 \dots 0 \end{bmatrix} \\ \vdots & \vdots \quad \vdots \quad \vdots \dots 0 \\ n & \begin{bmatrix} 0 & 0 & 0 & 0 \dots 0 \end{bmatrix} \\ 12 & 3 \quad \dots \quad n \end{matrix}$$

Figur 1: Eksempel på romlig datamatrise (etter Haining 2003: 83).

Vi får numeriske mål på romlig avhengigheten ved å gjennomføre to operasjoner. Første steg er å kvadrere differansen mellom hver observasjon $(z(i) - z(j))^2$. Differansen vil være liten hvis dataene har verdier nær hverandre, og stor ellers. Uttrykket for romlig avhengighet, gitt tilhørighet, er

$$\hat{\gamma}(C^1) = (1/2 |N(C^1)|) \sum_i \sum_j w(i, j)(z(i) - z(j))^2 \quad (2.14)$$

der C^1 er bruken av tilhørighetsmatrisen \mathbf{C} , og $|N(C^1)|$ er antall par brukt i beregningen.

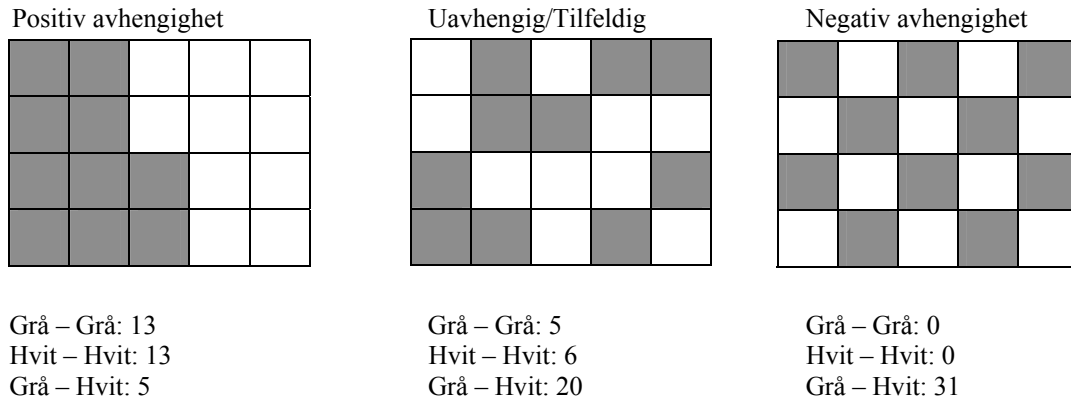
Det vanlige er å forvente noenlunde like verdier på nærliggende områder, som vi også ofte har i tidsseriedata.

Andre steg er å ta kryssproduktet av dataene $(z(i) - \bar{z}(i))(z(j) - \bar{z}(j))$ for å finne den romlige kovariansen. $\bar{z}(i)$ og $\bar{z}(j)$ er gjennomsnittet for alle observerte data i og j . Dette vil være

positivt om $z(i)$ og $z(j)$ er like, og negativt om de er svært forskjellige. Den romlige kovariansen er gitt ved:

$$\hat{C}(C^1) = (1/|N(C^1)|) \sum_i \sum_j w(i, j)(z(i) - \bar{z}(i))(z(j) - \bar{z}(j)) \quad (2.15)$$

Testing for romlig autokorrelasjon kan illustreres med denne figuren:



Figur: Naboinformasjon for forskjellige kartalternativ (Haining 2003: 80).

Hvis det er *positiv autokorrelasjon* har like verdier en tendens til å være nær hverandre. Da vil antallet naboskap med like farger være mange, det vil si (Grå – Grå) eller (Hvit – Hvit), mens antallet naboskap med motsatte farger vil være få; (Grå – Hvit). Hvis det er *negativ autokorrelasjon* er det en tendens til at ulike verdier finnes nær hverandre. Dette kan illustreres ved at naboskap mellom (Grå – Grå) eller (Hvit – Hvit) vil være få, og naboskap mellom (Grå – Hvit) vil være mange, relativt til antall mulige treff. For et tilfeldig mønster uten romlig autokorrelasjon vil antall naboskap ligge et sted mellom de to førstnevnte. Igjen må dette vurderes relativt til antall mulige naboskap (Haining 1990, 2003).

Å teste for Moran's I er en formell måte å teste for romlig autokorrelasjon på og er et globalt mål på romlig autokorrelasjon. Det vil si at man undersøker sammenfall av lignende vekstrater (eller rater for andre variabler) hvor som helst i studieområdet, uten å identifisere *hvor* de like verdiene befinner seg. Tenkte spørsmål som global Moran's I vil svare på er: Innenfor studieområdet, vil det være en eller flere statistisk signifikante cluster av den georefererte variabelen? Er det et romlig mønster som ikke ville kunne oppstå tilfeldig? Kovarierer vekstratene mellom nabofylker? (Longa 2007). Moran's I ligner for det første på Durbin –Watson (DW) som er en test for å oppdage seriekorrelasjon i feilreddene ved

regresjon av tidsseriedata (se f.eks Gujarati 2003, s. 467). For det andre ligner den rett og slett på Pearsons korrelasjon, men tar i tillegg hensyn til nabomatrisen, slik at vi kan si noe om naboområder er mer like enn andre (kilde). Moran's I finner man ved å dele den *romlige* kovariansen med den *totale* variansen. I sin originale form vil ikke Moran's I gi noen indeks eller mål på autokorrelasjon som kan forstås som for eksempel en ordinær korrelasjonskoeffisient, men vil gi positive og negative verdier (Haining 1990). Positiv *I* indikerer positiv romlig klyngedannelse, negativ *I* indikerer et mønster der det er ulike verdier mellom naboregioner (Shin 1999). Null indikerer ingen autokorrelasjon, altså uavhengighet. Moran's I er definert som:

$$I = \left(\frac{n}{S_0} \right) \left(\frac{\sum_{i=1}^n \sum_{j=1}^n w(i,j)(z(i) - \bar{z})(z(j) - \bar{z})}{\sum_{i=1}^n (z(i) - \bar{z})^2} \right) \quad (2.16)$$

La $w(i, j)$ være nabomatrisen der $w(i, j) = 1$ dersom i og j er naboer, og null ellers. S_0 er en standardiseringsfaktor, summen av elementene i nabomatrisen $w(i,j)$. Man kan radstandardisere nabomatrisen for å ta bort effekten av at noen regioner har mange naboer, mens andre har få. Dette gjør man ved å dele hver rad i nabomatrisen med summen av elementene på raden og som resultat vil summen av elementene i matrisen, S_0 , være lik n som er totalt antall regioner og første ledd i likningen vil være lik 1. Telleren i ligningen er positiv hvis observerte data $(z(i))$ og $(z(j))$ begge er større enn eller mindre enn gjennomsnittet av observerte data \bar{z} , dvs hvis kovariansen er positiv (Haining 2003, Cliff og Ord 1973). Nevneren i ligningen er variansen. *I* er normalfordelt når n øker (Cliff og Ord 1973).

Det globale målet for Moran's I gir oss et tall som indikerer graden av romlig autokorrelasjon i hele utvalget. I den senere empiriske analysen vil den dermed kun svare på om det er en samvariasjon mellom naboer blant alle fylkene. For å kartlegge klyngedannelser kan man supplere analysen med lokale indikatorer for romlig samvariasjon, LISA (local indicators of spatial association) (Shin 1999).

2.3.2 LISA - local indicators of spatial association

Luc Anselin dekomponerer i artikkelen ”Local indicators of spatial association – LISA” den globale indikatoren Moran’s I, slik at man kan vurdere hver observasjon sin korrelasjon med gjennomsnittet av naboenes, lokal Moran’s I (Anselin 1995).

Generelt må alle LISA oppfylle et kriterium om at hver observasjon må gi en indikasjon på i hvilken grad signifikant romlig klyngedannelse av like verdier samles rundt den observasjonen. Verdiene som brukes i beregningen kan enten være rådata eller en standardisering av disse for å unngå skalaavhengighet i de lokale indikatorene. Dette gjøres når vi måler for global avhengighet. For eksempel så vi i forrige delkapittel at for Moran’s I er observasjonene brukt for avvik fra sine gjennomsnitt. Nabolaget for hver observasjon er definert som normalt med en vektmatrise (nabomatrise). Den romlige vektmatrisen kan rad standardiseres slik at rad elementene summeres til 1 for å støtte forståelsen av statistikken, men trengs ikke(ibid.).

Den mest brukte indikatoren for lokal sammenheng er lokal Moran’s I som kan brukes for å identifisere relativt høye eller lave verdier av en variabel, og i tillegg oppdage atypiske lokaliseringer der høye verdier omringes av lave verdier på variabelen som undersøkes (Pattachini, 2007 s. 178). Lokaliseringen i kan defineres som:

$$I_i = z_i \sum w_{ij} z_j \quad (2.17)$$

merk forskjellen her fra forrige avsnitt er at z_i og z_j er avvik fra gjennomsnittet og at summasjonen over j inkluderer nabomatrisen som kan radstandardiseres.

Man ser at den lokale Moran’s I er proporsjonal med den globale, ved å først summere den lokale:

$$\sum_i I_i = \sum_i z_i \sum_j w_{ij} z_j \quad (2.18)$$

Vi vet at den globale er:

$$I = \left(\frac{n}{S_0} \right) \frac{\sum_i \sum_j w_{ij} z_i z_j}{\sum_i z_i^2}$$

vi erstatter telleren i den globale med det lokale målet og løser for inn første ledd:

$$I = \frac{\sum_i I_i}{S_0 \left(\frac{\sum_i z_i^2}{n} \right)} \quad (2.19)$$

hvor S_0 som før er summen av elementene i nabomatrisen $w(i,j)$: $S_0 = \sum_i \sum_j w_{ij}$. Man

definerer deretter nevnerens parentes for annen ordens momentet, variansen:

$$m_2 = \frac{\sum_i z_i^2}{n}$$

Dermed ser vi at den lokale Morans I er proporsjonal med den globale:

$$I_i = \left(\frac{z_i}{m_2} \right) \sum_j w_{ij} z_j \quad (2.20)$$

Under anvendelse formulerer man en nullhypotese om ingen romlig autokorrelasjon. Lokale klyngedannelser kan identifiseres som de stedene, eller sett av tilgrensende områder, som har signifikant LISA, her Morans I (Anselin 1995).

2.3.3 Avsluttende kommentarer til LISA

Henley (2004) identifiserer global romlig autokorrelasjon ved at høy-inntekts regioner er oftere lokalisert ved andre høy-inntekts regioner, og at denne utviklingen forsterkes over tid. Anselin undersøker den lokale Morans I med en empirisk undersøkelse av konfliktnivå i Afrika. Basert på normalfordelingen viser det seg at fire land har signifikant lokal klyngedannelse. Disse er Uganda, Kenya, Sudan og Egypt som er en del av et konfliktområde (shatterbelt) nord-øst i Afrika. Pattacchini og Zenou (2007) ser etter lokal klyngedannelse i arbeidsledighetsrater i Storbritannia og finner at det statistisk signifikante området øker i

geografisk utstrekning over tid. Det vil være interessant å se om vi vil se lignende tendenser i Norge i den empiriske delen av avhandlingen.

3. Empirisk analyse: Regioner i Norge

3.1 Om data

Jeg har valgt å bruke vekst i bruttoprodukt som analysevariabel. Årlig data for regionalt bruttoprodukt per næring er hentet fra Statistisk Sentralbyrå (SSB) fra alle fylkene for de to periodene 1995 – 1999 og 2000 – 2004. Det finnes ikke offentlig tilgjengelig fylkesfordelt regionalregnskap med bruttoprodukt etter næring før 1995. Slike data kan kjøpes, men det er et problem at sammenlignbarheten med senere tall ikke er god på grunn av omlegging av definisjoner og bruk av datakilder. På grunn av dette, har det ikke vært aktuelt å se på en lengre tidsperiode.¹ Dataene er justert for pris, slik at de er sammenlignbare i 2000 priser². Veksten i bruttoproduktet for regionene og sektorene er beregnet som vekstrater: $((y_{t+1}) - y_t)/y_t$.

Jeg skal nå benytte tilnærmingene fra Fatás og Chandra og supplere disse analysene med romlig dataanalyse. Regionene som analyses er landsdelsinndelingen hos SSB (Regin 2), EUs landsdelsinndelingen (Nuts 2) og forslagene fra Selstad på 7 og 9 regioner. Se regioninndeling i tabell ...

Når det gjelder analysen av Selstads hovedforslag med 7 regioner og alternative forslag med 9 regioner, er ikke disse inndelingene helt absolutte. Selstad angir nemlig også såkalte kampsoner, kommuner som kan flyttes til den ene eller andre regionen. Dette blir ikke tatt hensyn til her. Hans inndelinger går også i noen tilfeller på tvers av fylkesgrensene, der noen kommuner flyttes. For eksempel blir Nordland tilført Harstad i forslaget med 9 regioner. Dette blir ikke tatt hensyn til her på grunn av at jeg ikke har hatt data på kommunenivå. Av samme årsak måtte Selstads andre alternative forslag med 5 regioner utelates helt, da data mangler på kommunenivå, som ville vært nødvendig da denne inndelingen deler Nordland i to (mer om disse inndelingene i Selstad 2004, s. 15).

¹ Det ble ikke laget fylkesfordelt regionalt regnskap for 1996, dermed mangler en observasjon. Tabellene for 95 og 97 var på en annen inndeling enn de senere årene, men ble aggregert opp og tilpasset hverandre.

² SSB bruker finere inndeling når de justerer for pris enn jeg har gjort her. Dette fordi jeg ikke har tilgang til denne inndelingen.

	Regin 3/Nuts 3	Regin 2	Nuts 2
Nr.	Fylke	Nr. Landsdel	Nr. Landsdel (EU)
1	Østfold	1 Oslo og Akershus (2+3)	1 Østlandet (1+2+3)
2	Akershus	2 Hedmark og Oppland (4+5)	2 Agder og Rogaland (4)
3	Oslo	3 Sør-Østlandet (1+6+7+8)	3 Vestlandet (5)
4	Hedmark	4 Agder og Rogaland (9+10+11)	4 Trøndelag (6)
5	Oppland	5 Vestlandet (12+14+15)	5 Nord-Norge (7)
6	Buskerud	6 Trøndelag (16+17)	
7	Vestfold	7 Nord-Norge (18+19+20)	
8	Telemark		
9	Aust-Agder		
10	Vest-Agder		
11	Rogaland		
12	Hordaland		
14	Sogn og Fjordane		
15	Møre og Romsdal		
16	Sør-Trøndelag		
17	Nord-Trøndelag		
18	Nordland		
19	Troms		
20	Finnmark		

Tabell 3.1: Regional inndeling av Norge (SSB) (etter Østbye og Westerlund).

	7 regioner	9 regioner
Nr.	Fylke	Nr. Landsdel
1	Østviken (1+2+3)	1 Østviken (1+2+3)
2	Innlandet (4+5)	2 Innlandet (4+5)
3	Vestviken (6+7+8)	3 Vestviken (6+7+8)
4	Sørlandet (9+10)	4 Sørlandet (9+10)
5	Vestlandet (11+12+14+15)	5 Sør-Vestlandet (11+12)
6	Trøndelag (16+17)	6 Nord-Vestlandet (14+15)
7	Nord-Norge (18+19+20)	7 Trøndelag (16+17)
8		8 Nordland (18)
9		9 Troms og Finnmark (19+20)

Tabell 3.2: Forslag til regional inndeling av Norge (etter Selstad 2004)

3.2 Empirisk konvergens

3.2.1 Korrelasjon i vekst i regionene

Siden min analyse tar for seg regional inndeling i ett enkelt land, vil ikke forskjellige valutaer være et problem, slik det var for Fatás som brukte det som argument for å benytte sysselsettingsdata i stedet for produksjonsdata. Jeg skal her bruke vekstrater for bruttoregionalprodukt. Hvis data viser store negative korrelasjoner mellom regionene som består eller vokser over tid vil kostnadene ved å tilhøre samme region i tilfelle det gis anledning til å bedrive økonomisk politikk på regionalt nivå, sannsynligvis være store (analogt til Fatás argument om EMU). Nå er det her selvsagt ikke snakk om at en kan ha ulike regionale valutaer og føre regional pengepolitikk, da alle regionene fremdeles tilhører samme

valutaområde, men argumentet kan fremdeles brukes for andre typer økonomisk politikk i tråd med argumentet om at regioner som viser samme utvikling bør være under samme administrasjon. Det ble beregnet vekstrater for alle regionforslag og deretter beregnet korrelasjon mellom fylket og regionforslaget. Fylket som vurderes er tatt ut fra den regionen det sammenlignes med for å unngå misvisende skjevhett i korrelasjonen. Tabell 3.3 viser korrelasjon mellom de forskjellige regionene og alle fylker samlet.

Tabell 3.3 Korrelasjon mellom fylker og alle fylker samlet

	95-99	00-04
01 Østfold	-0,514	-0,485
02 Akershus	-0,669	-0,910
03 Oslo	-0,992	-0,599
04 Hedmark	-0,906	-0,542
05 Oppland	-0,330	-0,723
06 Buskerud	-0,491	-0,811
07 Vestfold	-0,045	-0,935
08 Telemark	-0,957	-0,625
09 Aust-Agder	0,989	-0,501
10 Vest-Agder	-0,985	-0,839
11 Rogaland	-1,000	-0,645
12 Hordaland	-0,068	-0,579
14 Sogn og Fjordane	0,538	-0,457
15 Møre og Romsdal	-0,500	-0,936
16 Sør-Trøndelag	0,985	-0,691
17 Nord-Trøndelag	0,589	-0,220
18 Nordland	0,801	-0,366
19 Troms Romsa	0,282	-0,673
20 Finnmark Finnmark	-0,837	-0,589
Gj. Snitt	-0,216	-0,638

Vi ser at det er en tendens til økende negativ korrelasjon mellom hvert enkelt fylke og de andre fylkene samlet i løpet av tidsperiodene. Dette blir et slags minstemål på korrelasjon, det vil si at fylkene i de enkelte regionene ihvertfall bør vise mer korrelasjon med de andre fylkene i samme region enn med alle fylker. Tankegangen er at en kunne vurdert Norge som én region (i tråd med Høyres forslag om å bare ha to forvaltningsnivåer). Hvis fylkene ikke viser mer korrelasjon med de andre fylkene i samme region enn med alle fylker, kan det sees på som en støtte til forslaget om bare to forvaltningsnivåer, dersom vi bare skulle basere oss på dette kriteriet.

Dernest ser jeg på fylkenes korrelasjon med regionen i landsdelsinndelingen Regin 2.

Tabell 3.4 Fylkenes korrelasjon med regionene i Regin 2		
Region 1	95-99	00-04
Oslo	0,600	-0,056
Akershus	0,600	-0,056
Gj. Snitt region 1	0,600	-0,056
Region 2	95-99	00-04
Hedmark	0,883	0,929
Oppland	0,883	0,929
Gj. Snitt region 2	0,883	0,929
Region 3	95-99	00-04
Østfold	0,896	0,727
Buskerud	0,960	0,989
Vestfold	0,813	0,994
Telemark	0,969	0,584
Gj. Snitt region 3	0,909	0,823
Region 4	95-99	00-04
Aust-Agder	1,000	0,953
Vest-Agder	0,998	0,477
Rogaland	0,998	0,067
Gj. Snitt region 4	0,998	0,499
Region 5	95-99	00-04
Hordaland	0,890	0,193
Sogn og Fjordane	1,000	0,207
Møre og Romsdal	0,759	0,996
Gj. Snitt region 5	0,883	0,465
Region 6	95-99	00-04
Sør Trøndelag	0,997	0,954
Nord Trøndelag	0,997	0,954
Gj. Snitt region 6	0,997	0,954
Region 7	95-99	00-04
Nordland	0,704	0,689
Troms	0,138	0,795
Finnmark	0,371	0,794
Gj. Snitt region 7	0,404	0,759

Under denne regioninndelingen ser vi med en gang at alle regionene har høyere korrelasjon innad i regionen enn det såkalte minstemålet. Dernest ser vi at mange av fylkene i de respektive regioninndelingene går ned i korrelasjonen i vekst med hverandre fra perioden 95-99 til perioden 00-04. Dette gjelder region 1, 3, 4, 5 og til en viss grad 6. Region 1 går til og med fra en høy positiv korrelasjon til en negativ i periode 2. Regioner som har økt positiv korrelasjon er 2 og 7.

Om vi ser på tilsvarende for regioner på NUTS 2 nivå, er den eneste endringen i inndeling fra REGIN 2 at østlandsregionene 1, 2 og 3 er slått sammen. Øvrig inndeling er som for REGIN 2 og jeg vil ikke gjenta resultatene for disse fra foregående tabell. For Østlandet får vi resultatene i tabellen under.

Tabell 3.5
Fylkenes korrelasjon med regionene i Nuts 2

Region 1	95-99	00-04
Østfold	0,882	0,924
Akershus	0,475	0,193
Oslo	1,000	-0,019
Hedmark	0,990	0,675
Oppland	0,780	0,848
Buskerud	0,987	0,978
Vestfold	0,888	0,949
Telemark	0,958	0,405
Gj. snitt	0,994	0,708

Region 2, 3, 4 og 5 er like som i regin 2

Alle fylkene korrelerer bedre med regionen enn minstemålet. Gjennomsnittlig går korrelasjonen i regionen ned fra første til andre periode. Dette ser i stor grad ut til å skyldes at Oslo går fra å være perfekt positivt korrelert med regionen, til negativ korrelasjon. Akershus, Telemark og Hedmark har klart en mindre positiv korrelasjon i periode 2, mens Østfold, Oppland, Buskerud og Vestfold har høy stabil positiv korrelasjon med regionen.

Vi skal nå se på inndelingen i 7 regioner foreslått av Selstad (Selstad 7).

Tabell 3.6 Fylkenes korrelasjon med regionene i Selstad 7			
Region 1	Østviken	95-99	00-04
	Østfold	0,616	0,665
	Akershus	0,423	0,637
	Oslo	0,957	-0,085
	Gj snitt	0,665	0,406
Region 2	Innlandet		
	Hedmark	0,883	0,929
	Oppland	0,883	0,929
	Gj snitt	0,883	0,929
Region 3	Vestviken		
	Buskerud	0,987	0,929
	Vestfold	0,864	0,941
	Telemark	0,872	0,691
	Gj snitt	0,908	0,853
Region 4	Sørlandet		
	Aust-Agder	0,999	0,888
	Vest-Agder	0,999	0,888
	Gj snitt	0,999	0,888
Region 5	Vestlandet		
	Rogaland	0,844	0,292
	Hordaland	0,792	0,497
	Sogn og Fjordane	0,972	0,002
	Møre og Romsdal	1,000	0,755
	Gj snitt	0,902	0,386
Trøndelag og Nord - Norge tilsvarer Regin 2			

For alle fylkene ser vi en sterkere korrelasjon med de andre fylkene i regionen enn med alle fylkene samlet. De oppfyller med andre ord det tidligere nevnte ”minstemålet”. Korrelasjonene i alle regioner bortsett fra region 2 går ned, men det er likevel relativt stabilt over tid. For region 1 er det tydelig at Oslo går fra en sterk positiv korrelasjon til en svak negativ korrelasjon fra periode 1 til 2.

Vi skal videre se på Selstads alternative forslag med 9 regioner. Også her er det overlappning med de andre inndelingsforslagene, så vi ser bare på endringene i forhold til Selstad 7.

Tabell 3.7

Fylkenes korrelasjon med regionene i Selstad 9

Tilsvarer Selstad 7		95-99	00-04
Region 5	Sør - Vestlandet		
	Rogaland	0,620	0,756
	Hordaland	0,620	0,756
Region 6	Nord- Vestlandet		
	Sogn og Fjordane	0,979	0,554
	Møre og Romsdal	0,979	0,554
Region 7	Tilsvarer de øvrige regioninndelingsforslagene		
Region 8	Nordland	1	1
Region 9	Troms og Finnmark		
	Troms	-0,067	0,783
	Finmark	-0,067	0,783

Korrelasjonene i region 6, Sør-Vestlandet og 9, Troms og Finnmark øker positivt, mens korrelasjonene i 7, Nord-Vestlandet går ned.

Med utgangspunkt i tabellene over går jeg nå over til å drøfte homogeniteten i de forskjellige regioninndelingsforslagene.

Østfold har en høy positiv korrelasjon uansett hvilken region fylket prøves sammen med. Best korrelasjon over tid ser det ut til at Østfold får som del av region 1 i NUTS 2 inndelingen med som består av Østfold, Akershus og Oslo. Også Akershus har best korrelasjon periodene sett under ett med Østfold og Oslo. Med andre ord framstår NUTS 2 regionløsningen for denne delen av Østlandet som den mest homogene.

Oslo er spesialtilfellet i denne korrelasjonstesten, da Oslo som eneste fylke har negativ korrelasjon under alle fire regioninndelinger i siste periode. Det er dermed vaskelig å trekke sikre sluttninger om Oslo i forhold til regioninndelingen ved hjelp av denne fremgangsmåten. Ut fra resultatene for Østviken i Selstad 7 og 9, kunne det være interessant å ta ut Oslo og bare se på Akershus og Østfold som en region.

Hedemark og Oppland ser begge ut til å ha høy positiv korrelasjon med fylkene i Region 1, Østfold, Akershus, Oslo, Hedmark, Oppland, Buskerud, Vestfold og Telemark i Nuts 2-inndelinga, men ser ut til å ha bedre korrelasjon over tid med hverandre. I både Regin 2-inndelinga, Selstad 7 og 9 utgjør disse to fylkene sammen en region.

Buskerud og Vestfold viser svært høy og økende korrelasjon med sin region gitt alle de aktuelle regioninndelingene. Mulighetene for dannelsen av en region med god homogenitet i denne delen av landet synes altså å være gode.

Telemark har en høy positiv korrelasjon med resten av regionen i første periode under både Regin 2- og Nuts 2-inndelingen, Østfold, Buskerud, Vestfold og Telemark. Korrelasjonen synker imidlertid betraktelig til andre periode. Gitt Selstad 7- og Selstad 9-inndelingene, samme inndeling, men uten Østfold, endrer ikke korrelasjonen seg like mye fra første til andre periode. Hvis vi kombinerer Buskeruds og Vestfolds korrelasjoner med Telemarks, fremstår Selstads forslag om en region *Vestviken* bestående av disse tre fylkene, som en stabilt homogen region.

Aust-Agder er i første periode perfekt positivt korrelert og i andre periode sterkt positivt korrelert med Vest-Agder og Rogaland, som er regioninndelingen i Regin 2 og Nuts 2. Det samme mønsteret gjør seg gjeldende om Aust-Agder betraktes som egen region sammen med Vest-Agder (Selstad 7), men med noe lavere korrelasjoner.

Region 6, Sør-Vestlandet og region 7, Nord-Vestlandet har hver for seg høyere korrelasjon enn den store vestlandsregionen i Selstads forslag med 7 regioner bestående av hele Vestlandet. Med andre ord fremstår vestlandsregionene som mer homogene hver for seg enn samlet i en stor region.

Om vi betrakter Rogalands korrelasjoner, tegner det seg et interessant bilde. Fylket har ikke stabil korrelasjon med Agder-fylkene (Regin 2 og Nuts 2). Korrelasjonen med Agder-fylkene er høy positiv i første periode, men nesten fraværende i andre periode. Rogaland målt som del av en stor vestlandsregion, Rogaland, Hordaland, Sogn og Fjordane og Møre og Romsdal (Selstad 7) viser samme tendens. Anerledes fortøner fylket seg som del av en mindre vestlandsregion bestående av Rogaland og Hordaland alene (Selstad 9). Her viser tallene positiv og økende korrelasjon fra første til andre periode. Hordaland, på sin side, viser

motstående egenskaper, idet fylket går ned i korrelasjon i Regin 2/Nuts 2 og Selstad 7, men øker i Selstad 9. Dersom vi kombinerer resultatene for Rogaland og Hordaland, framstår disse to fylkene sammen som en stabilt homogen region.

Sogn og Fjordane går ned i korrelasjon fra første til andre periode uansett regioninndeling. Nedgangen er stor med regioninndelingen i Regin 2/Nuts 2, der fylket utgjør en region sammen med Hordaland og Møre og Romsdal, og svært stor med Selstad 7 (Som Regin 2 pluss Rogaland). Vi ser at nedgangen er minst når fylket får selskap av Møre og Romsdal alene (Selstad 9).

Møre og Romsdal øker i korrelasjon med Regin 2/Nuts 2, der fylket utgjør en region sammen med Sogn og Fjordane og Hordaland, mens fylket går ned i korrelasjon med en stor vestlandsregion der også Rogaland er med (Selstad 7). Fylket går også ned i korrelasjon med en inndeling der det utgjør en region sammen med Sogn og Fjordane alene (Selstad 9).

Sør- og Nord-Trøndelag utgjør sammen en region i alle de aktuelle regioninndelingsforslagene. Fylkene går nesten ikke ned i korrelasjon fra periode en til periode to, og korrelasjonen er positiv og høy. Denne regionen framstår altså som homogen.

Nordland går noe ned fra en relativt svak korrelasjon med de andre nordnorske fylkene med Regin 2/Nuts 2/Selstad 7, mens fylket utgjør en egen region i Selstad 9.

Troms og Finnmark har begge økende korrelasjon fra periode en til to når de betraktes som en region sammen med Nordland (Regin 2/Nuts 2/Selstad 7). Vi merker oss også at Troms og Finnmark betraktet som en region alene i første periode viser en negativ korrelasjon, mens denne trenden er snudd i andre periode.

Kort oppsummert virker det, så langt i analysen, som god match er: Hedmark + Oppland, Buskerud + Vestfold + Telemark (Vestviken)(på grunn av Telemarks korrelasjon), Aust-Agder + Vest-Agder, Rogaland + Hordaland (Sør-Vestlandet), Sogn og Fjordane + Møre og Romsdal (Nord-Vestlandet), Sør-Trøndelag + Nord-Trøndelag.

Mer usikkert ser det ut til å være, etter de analysene vi nå har foretatt, hva en god løsning vil være for Oslos vedkommende. Minst nedgang i korrelasjon fra første til andre periode har Oslo sammen med Akershus og Østfold (Østviken).

Likeledes kan vi ikke lese ut av dette tallmaterialet noen klar tendens for de nordnorske fylkene. Generelt viser disse fylkene lavere korrelasjon med hverandre enn de andre fylkene gjør med hverandre. Kanskje de er bedre stilt på egenhånd? Selv om analysen så langt har gitt interessante resultater, ser vi et behov for å utvide analysen.

3.2.2 Utvidelse med global og lokal Moran's I

Global Morans I har jeg beregnet med programvaren Stata.

Nå spør vi, analogt til Henley (2005): Er regioner med høyt bruttoregionalprodukt omgitt av regioner med høyt bruttoregionalprodukt, og er disse geografiske naboyer?

Moran's I 95-99

Variables	I	E(I)	sd(I)	z	p-value*
+					
tot	0.026	-0.056	0.167	0.489	0.625

*2-tail test

Moran's I 00-04

Variables	I	E(I)	sd(I)	z	p-value*
+					
tot	-0.110	-0.056	0.176	-0.312	0.755

*2-tail test

Tabell 3.8: Global Morans I 1995-1999 og 2000-2004 for vekst i alle fylker

Verdiene vi ser i tabellene for Morans I er lave, og vi ser at vi ikke finner noen signifikant romlig korrelasjon i verken periode 1 eller 2. Om vi ser bort fra signifikansnivået, ser vi at vi ikke har noen indikasjon på romlig autokorrelasjon. Tvert imot ser vi en omvendt tendens over tid. Tyder dette på at fylkene er omgitt av naboyer med ulik vekst? P-verdien er svært høy, noe som indikerer at I ikke er statistisk signifikant. Dermed er det vanskelig å trekke noen sluttning.

Det er dermed svært interessant å følge Anselin (1995) for å se om vi finner noen andre resultater med lokal Morans I.

Moran's Ii (Tot)

Location	Ii	E(Ii)	sd(Ii)	z	p-value*
+					
1 -0.337	-0.056	0.910	-0.309	0.757	
2 0.099	-0.056	0.367	0.420	0.674	
3 0.156	-0.056	0.500	0.423	0.672	
4 -0.058	-0.056	0.500	-0.004	0.997	
5 -0.059	-0.056	0.292	-0.013	0.990	
6 -0.003	-0.056	0.292	0.182	0.856	
7 -0.057	-0.056	0.628	-0.003	0.998	
8 -0.478	-0.056	0.367	-1.153	0.249	
9 0.071	-0.056	0.500	0.253	0.800	
10 0.701	-0.056	0.628	1.205	0.228	
11 0.149	-0.056	0.422	0.484	0.628	
12 -0.219	-0.056	0.422	-0.387	0.698	
13 -0.131	-0.056	0.422	-0.180	0.857	
14 -0.011	-0.056	0.500	0.090	0.929	
15 -0.282	-0.056	0.422	-0.537	0.591	
16 -0.165	-0.056	0.628	-0.174	0.862	
17 0.386	-0.056	0.628	0.703	0.482	
18 0.308	-0.056	0.628	0.580	0.562	
19 0.429	-0.056	0.910	0.533	0.594	

*2-tail test

Tabell 3.9: Lokal Morans I 1995-1999 vekst i alle fylker.

Lokal periode 00-04:

Moran's Ii (Tot)

Location	Ii	E(Ii)	sd(Ii)	z	p-value*
+					
1 0.477	-0.056	0.951	0.560	0.575	
2 0.279	-0.056	0.378	0.887	0.375	
3 -0.882	-0.056	0.519	-1.592	0.111	
4 0.677	-0.056	0.519	1.411	0.158	
5 0.088	-0.056	0.297	0.482	0.630	
6 0.056	-0.056	0.297	0.375	0.708	
7 -0.113	-0.056	0.654	-0.088	0.930	
8 -0.102	-0.056	0.378	-0.123	0.902	
9 -0.449	-0.056	0.519	-0.757	0.449	
10 -0.009	-0.056	0.654	0.071	0.943	
11 -0.425	-0.056	0.436	-0.848	0.396	
12 -0.073	-0.056	0.436	-0.041	0.968	
13 -0.354	-0.056	0.436	-0.684	0.494	
14 -0.020	-0.056	0.519	0.068	0.946	
15 -0.081	-0.056	0.436	-0.059	0.953	
16 -0.155	-0.056	0.654	-0.152	0.879	
17 0.119	-0.056	0.654	0.266	0.790	
18 -0.450	-0.056	0.654	-0.603	0.547	
19 -0.680	-0.056	0.951	-0.657	0.511	

*2-tail test

Tabell 3.10: Lokal Morans I 2000-2004 vekst i alle fylker.

Oslo peker seg ut som interessant, da p-verdien bedrer seg kraftig (vel og merke uten å komme under 5%). Den lokale indikatoren er svært negativ, noe som tyder på at Oslo har ulik vekst fra sine nabøer, noe som forsterker usikkerheten om Oslos regiontilhørighet fra forrige

avsnitt. Det samme er tilfelle for Troms og Finnmark, da de går fra positiv til negativ lokal Morans I. Dette er vel og merke ikke statistisk signifikant, men vi må huske på at dette er et svært lite utvalg.

Østfold går fra negativ til positiv. Akershus øker positivt. Hedmark, Oppland og Buskerud går fra negativ til positiv. Vestfold øker sin negative i forhold til naboen. Telemark går fra negativ til mindre negativ. Aust-Agder, Vest-Agder og Rogaland går fra positiv til negativ. Hordaland går fra negativ til mindre negativ. Sogn og Fjordane og Møre og Romsdal øker i negativ. Sør- og Nord-Trøndelag er negativ i begge perioder. Nordlands I synker. Mest interessant er at en region har positive verdier i begge perioder, det viser seg å være fylke 2, Akershus.

Vi ser at den romlige analysen kan være et godt redskap til å si noe om homogeniteten i regionene, men inntrykket er samtidig at den har sin mest aktuelle anvendelse som et supplement til den mer manuelle metoden for konvergenstilnærming vi benyttet i forrige avsnitt.

3.3 Porteføljeteoretisk tilnærming

3.3.1 Porteføljeteoretisk tilnærming

Første steg i den porteføljeteoretiske tilnærmingen er å beregne sektorandeler og deretter gjennomsnitt av årlige sektorandeler for hver periode 95-99 og 00-04. Jeg bruker en sektorinndeling på 19 sektorer i hver region (se appendiks for oversikt over sektorinndeling). Deretter blir avvik fra regional vekstrate for sektorene og korrelasjonene mellom sektorene beregnet fra samme datasett som tidligere. Herfindahlindeksen defineres som summen av gjennomsnittlige sektorandeler kvadrert over årene i en periode for en region. Herfindahlindeksen og likhetskomponenten har jeg beregnet hver for seg, og deretter summert for å få den aggregerte homogenitetsindeksen, P_n . Tabell 3.11 nedenfor viser P_n og komponentene for alle fylkene.

Fylke/REGIN 3	Pn		Hn		Rn	
	1995 - 1999	2000 - 2004	1995 - 1999	2000 – 2004	1995 - 1999	2000 – 2004
01 Østfold	0,317	0,128	0,114	0,108	0,203	0,020
02 Akershus	0,063	0,099	0,096	0,094	-0,033	0,005
03 Oslo	0,098	0,092	0,093	0,103	0,005	-0,011
04 Hedmark	0,118	0,128	0,091	0,087	0,027	0,041
05 Oppland	0,058	0,195	0,089	0,085	-0,031	0,111
06 Buskerud	0,052	0,260	0,112	0,102	-0,061	0,157
07 Vestfold	0,153	0,262	0,100	0,096	0,053	0,166
08 Telemark	0,220	0,147	0,110	0,096	0,110	0,051
09 Aust-Agder	0,100	0,051	0,092	0,087	0,009	-0,036
10 Vest-Agder	0,031	0,249	0,105	0,093	-0,074	0,156
11 Rogaland	0,085	0,140	0,089	0,086	-0,004	0,054
12 Hordaland	0,072	0,119	0,082	0,079	-0,009	0,040
14 Sogn og Fjordane	0,076	0,091	0,096	0,098	-0,019	-0,007
15 Møre og Romsdal	0,084	0,162	0,106	0,109	-0,022	0,053
16 Sør-Trøndelag	0,103	0,083	0,086	0,086	0,017	-0,003
17 Nord-Trøndelag	0,024	0,095	0,090	0,088	-0,066	0,006
18 Nordland	0,130	0,189	0,083	0,083	0,048	0,106
19 Troms Romsa	0,092	0,096	0,085	0,086	0,007	0,009
20 Finnmark Finnmark	0,204	0,172	0,083	0,085	0,121	0,087
gj snitt	0,110	0,145	0,095	0,092	0,015	0,053
Standardavvik	0,072	0,062	0,010	0,009	0,069	0,062
Median	0,092	0,128	0,092	0,088	0,005	0,041
	Troms	Hedmark	Aust-Agder	Nord-Trøndelag	Oslo	Hedmark
Minimum	0,024	0,051	0,082	0,079	-0,074	-0,036
	Nord Trøndelag	Aust-Agder	Hordaland	Hordaland	Vest-Agder	Aust-Agder
Maksimum	0,317	0,262	0,114	0,109	0,203	0,166
	Østfold	Vestfold	Østfold	Møre og Romsdal	Østfold	Vestfold

Tabell 3.11: P_n, H_n og R_n med nøkkeltall for alle fylker.

Pearson Correlations		
95-99	Pn	Hn
	1,000	0,297
Pn		0,216
		1,000
Hn		0,157
Rn		0,520
		1,000
Pearson Correlations		
00-04	Pn	Hn
	1,000	0,161
Pn		0,510
		1,000
Hn		0,925
Rn		1,000
P-verdi for nullhypotesen om 0- korrelasjon i kursiv		

Tabell 3.12: Pearsons korrelasjoner mellom P_n, H_n og R_n i alle fylker .

Vi ser fra nøkkeltallene at gjennomsnittet for P_n til en viss grad øker og at standardavviket går ned. Dette utgjør en forskjell fra Chandras resultater for amerikanske delstater, der alle målene er mer stabile over tidsperioden enn det kan skiltes med her. Chandra ser at der det er variasjon, drives dette stort sett av R_n . Dette gjelder også her, da standardavviket for H_n er svært lite.

I tabell 3.12 ser vi korrelasjonsmatrisene for de to periodene. For det første ser vi her, helt analogt til Chandras resultater, at R_n er høyt og positivt korrelert med P_n . For det andre ser vi at det ikke går an å trekke noen slutning om korrelasjonen mellom P_n og H_n , R_n og H_n , fordi den ikke er statistisk signifikant ($p>0,05$). Dette er ikke analogt til Chandras resultater, fordi han ser en statistisk signifikant svak negativ korrelasjon i begge ovennevnte tilfeller, men vi må her huske at vi har relativt få observasjoner. Dette vil si at det er endringer i R_n som driver endringa i det overordnede homogenitetsmålet.

R_n er positiv i de fleste fylker, noe som kan komme av at sektorene som ligner på hverandre har størst markedsandel i økonomien. Østfold, Telemark og Finnmark har en positiv likhetsindeks, men synkende fra periode 1 til 2. Østfold synker voldsomt, fra 0,203 til 0,020. Oslo, Aust-Agder og Sør-Trøndelag går fra å ha relativt svak R_n i periode 1 til en negativ i periode 2. Resten av fylkene har en økning i likhetsindeksen. Vest-Agder har en voldsom økning fra -0,74 til 0,156.

Vi ser i hvert fall at sammenlignet med likhetsindeksen i statene i USA, som i gjennomsnitt er negativ for begge perioder, så er indeksen i gjennomsnitt positiv for norske fylker. Dette kan på den ene siden komme av at regionene er delt opp i mindre sektorer. På den andre siden kan det komme av at regionene i Norge er mer like når det gjelder vekstprosesser, og at det ikke er store dominerende sektorer.

Vil homogenitetsmålet endre seg når vi setter sammen fylkene til regioner? Disse tallene er fremstilt i tabell 3.13.

Regin 2	Pn		Hn		Rn	
	1995 – 1999	2000 - 2004	1995 - 1999	2000 - 2004	1995 - 1999	2000 - 2004
1 Oslo og Akershus	0,022	0,148	0,092	0,097	-0,070	0,051
2 Hedmark og Oppland	0,112	0,244	0,089	0,085	0,023	0,159
3 Sør-Østlandet	0,253	0,277	0,109	0,100	0,145	0,177
4 Agder og Rogaland	0,119	0,154	0,089	0,084	0,030	0,070
5 Vestlandet	0,164	0,180	0,088	0,086	0,076	0,094
6 Trøndelag	0,063	0,099	0,085	0,084	-0,022	0,015
7 Nord-Norge	0,130	0,216	0,082	0,082	0,048	0,134
gj snitt	0,123	0,188	0,091	0,088	0,033	0,100
Standardavvik	0,074	0,061	0,009	0,007	0,069	0,059
Median	0,119	0,180	0,089	0,085	0,030	0,094
	Agder og Rogaland	Vestlandet	Hedmark og Oppland, Agder og Rogaland	Hedmark og Oppland	Agder og Rogaland	Vestlandet
Minimum	0,022	0,099	0,082	0,082	-0,070	0,015
	Oslo og Akershus	Trøndelag	Nord - Norge	Nord - Norge	Oslo og Akershus	Akershus
Maksimum	0,253	0,277	0,109	0,100	0,145	0,177
	Sør – Østlandet	Sør - Østlandet	Sør - Østlandet	Sør - Østlandet	Sør - Østlandet	Sør - Østlandet

Tabell 3.13: P_n, H_n og R_n med nøkkeltall for Regin 2.

Pearson Correlations REGIN 2 95-99						
	Pn	Hn	Rn			
Pn		1,000	0,648	0,995		
			0,126	0,000		
Hn			1,000	0,572		
				0,180		
Rn				1,000		
Pearson Correlations REGIN 2 00-04						
	Pn	Hn	Rn			
Pn		1,000	0,364	0,994		
			0,423	0,000		
Hn			1,000	0,259		
				0,576		
Rn				1,000		
P-verdi for nullhypotesen i kursiv						

Tabell 3.14: Pearsons korrelasjoner mellom P_n, H_n og R_n i Regin 2.

Vi ser her at det ikke er noen signifikant korrelasjon mellom P_n og H_n, R_n og H_n, men at R_n og P_n er statistisk signifikant høyt og positivt korrelert.

Det overordnede homogenitetsmålet øker i alle regioner fra periode 1 til periode 2. Alle regioner har økende R_n fra periode 1 til periode 2. H_n går ned for alle regioner, bortsett fra region 1, Oslo og Akershus og region 7, Nordland, Troms og Finnmark. I likhet med hos

Chandra, så er det ikke så veldig mye variasjon i H_n mellom periodene. Jeg tar en rask titt på bakgrunnstallene for å illustrere hvorfor disse utviklingstrekkene gjør seg gjeldende.

I region 1 øker både H_n og R_n . Dette ser ut til å komme av at regionens største sektor øker, mens korrelasjonen med de andre sektorene i regionen samtidig øker positivt. Den nest største sektoren går ned i markedsandel, men øker også korrelasjonen positivt med de andre sektorene i regionen, noe som bidrar til å styrke R_n .

I region 2, Hedmark og Oppland, går H_n ned, noe som delvis ser ut til å skyldes at den største sektoren (s 5, industri) mister markedsandeler. R_n går imidlertid opp, noe som blant annet ser ut til å skyldes at de to største sektorene (s 5, industri og s 18, helse og sosialtjenester) går fra å være negativt korrelert til å være sterkt positivt korrelert. Dette ser ut til å være et eksempel på at en negativ endring i H_n gir en positiv endring i R_n , og driver det overordnede homogenitetsmålet opp. Det er imidlertid problematisk å si at det ene driver det andre opp, fordi s 5 er industri mens s 18 er helse og sosialtjenester. Det er ingen umiddelbar intuitiv kobling til hvorfor det skal være slik, men effekter fra de andre sektorene spiller sannsynligvis også inn i bildet.

I region 3, Østfold, Buskerud, Vestfold og Telemark og region 4, Aust-Agder, Vest-Agder og Rogaland, går den største regionen i begge perioder s 5, industri, ned i markedsandel. Nest største sektor i periode 1, s 8, varehandel, reparasjon mv. går for begge noe ned. Sektor 18, helse og sosialtjenester vokser fra periode 1 til 2, og er i siste periode nest største sektor for begge regioner. H_n går ned. R_n øker, og vi ser at små sektorer som for eksempel s 1, jordbruk og skogbruk øker i korrelasjon med nesten alle sektorer i periode 2 (region 3), samtidig som utjevningen av de største sektorene bidrar til økningen i R_n .

I region 5, Hordaland, Møre og Romsdal og Sogn og Fjordane, går H_n noe ned, samtidig som R_n går opp og driver det overordnede homogenitetsmålet opp. For region 5 kan dette både skyldes at begge de to største sektorene går ned i markedsandel og at flere småsektorer øker i markedsandel samtidig som de bedrer korrelasjonen med de andre sektorene i økonomien. For eksempel går s 7, Bygge- og anleggsvirksomheten, fra å være negativt korrelert med s 5, industri til å være svært positivt og høyt korrelert med s 5. Den tredje største sektoren, s 18, helse- og sosialtjenester, vokser, og bedrer også korrelasjonen med de fleste andre sektorene i økonomien.

For region 6, Trøndelag, er det interessant at R_n går fra å være negativ til positiv. Dette kan skyldes at de største sektorenes markedsandel går ned, noe som støttes av at H_n går noe ned. Det kan skyldes at s 5 og s 16, offentlig administrasjon og forsvar, bedrer sine korrelasjoner med resten av økonomien betraktelig.

I Region 7, Nordland, Troms og Finnmark, utgjør s 16 en stor andel av økonomien. Denne andelen går ned fra periode 1 til periode 2. Sektor 5, industri, går ned, mens s 18 helse- og sosialtjenester øker. H_n er uendret mellom de to periodene.

NUTS 2	Pn		Hn		Rn	
	1995 - 1999	2000 - 2004	1995 - 1999	2000 - 2004	1995 – 1999	2000 – 2004
1 Østlandet	0,217	0,913	0,092	0,097	0,125	0,816
2 Agder og Rogaland	0,119	0,154	0,089	0,084	0,030	0,070
3 Vestlandet	0,164	0,180	0,088	0,086	0,076	0,094
4 Trøndelag	0,063	0,099	0,085	0,084	-0,022	0,015
5 Nord-Norge	0,130	0,216	0,082	0,082	0,048	0,134
gj snitt	0,139	0,312	0,087	0,087	0,051	0,226
Standardavvik	0,057	0,338	0,004	0,006	0,055	0,333
Median	0,130	0,180	0,088	0,084	0,048	0,094
	Agder og Rogaland	Vestlandet	Hedmark og Oppland	Hedmark og Oppland	Agder og Rogaland	Vestlandet
Minimum	0,063	0,099	0,082	0,082	-0,022	0,015
	Oslo og Akershus	Trøndelag	Nord - Norge	Nord - Norge	Oslo og Akershus	Oslo og Akershus
Maksimum	0,217	0,913	0,092	0,097	0,125	0,816
	Sør - Østlandet	Østlandet	Sør - Østlandet	Sør - Østlandet	Sør - Østlandet	Sør - Østlandet

Tabell 3.15: P_n , H_n og R_n med nøkkeltall for Nuts 2.

Pearson Correlations NUTS 2 95-99						
	Pn	Hn	Rn			
Pn		1,000	0,676	0,999		
			0,211	0,000		
Hn				1,000	0,638	
					0,246	
Rn						1,000
Pearson Correlations 00-04						
	Pn	Hn	Rn			
Pn		1,000	0,959	1,000		
			0,010	0,000		
Hn				1,000	0,957	
					0,010	
Rn						1,000
P-verdi for nullhypotesen i kursiv						

Tabell 3.16: Pearson korrelasjoner mellom P_n , H_n og R_n i Nuts 2.

Vi ser her at det ikke er noen signifikant korrelasjon mellom P_n og H_n , R_n og H_n , men at R_n og P_n er statistisk signifikant perfekt positivt korrelert.

Regionene unntatt region 1 er lik som under Regin 2 inndelingen. Unntaket i tabellen er akkurat region 1, Oslo og Akershus, der både H_n og R_n øker. R_n vokser voldsomt fra periode 1 til 2. Dette fører til at det overordnede homogenitetsmålet øker i alle regioner fra periode 1 til periode 2. Det overordnede homogenitetsnivået øker voldsomt. Det er en moderat økning i H_n , mens R_n vokser fra 0,125 til 0,816. Hva kan dette skyldes? En medvirkende årsak kan være at, S 15, forretningsmessig tjenesteyting, går fra å være nest største region i periode 1 til å være den største i periode 2, samtidig som korrelasjonen med de andre sektorene øker.

Selstad 7 regioner Fylke	P_n		H_n		R_n	
	1995 - 1999	2000 - 2004	1995 - 1999	2000 - 2004	1995 - 1999	2000 - 2004
1 Østviken	0,042	0,131	0,091	0,094	-0,049	0,038
2 Innlandet	0,112	0,244	0,089	0,085	0,023	0,159
3 Vestviken	0,222	0,281	0,107	0,097	0,116	0,184
4 Sørlandet	0,146	0,162	0,099	0,090	0,046	0,072
5 Vestlandet	0,178	0,144	0,085	0,083	0,093	0,061
6 Trøndelag	0,063	0,099	0,085	0,084	-0,022	0,015
7 Nord-Norge	0,130	0,216	0,082	0,082	0,048	0,134
gj snitt	0,127	0,183	0,091	0,088	0,036	0,095
Standardavvik	0,063	0,066	0,009	0,006	0,059	0,064
Median	0,130	0,162	0,089	0,085	0,046	0,072
	7 Nord-Norge	4 Sørlandet	2 Innlandet	2 Innlandet	4 Sørlandet	4 Sørlandet
Minimum	0,042	0,099	0,082	0,082	-0,049	0,015
	1 Østviken	Trøndelag	Nord - Norge	Nord - Norge	1 Østviken	Trøndelag
Maksimum	0,222	0,281	0,107	0,097	0,116	0,184
	3 Vestviken	3 Vestviken	3 Vestviken	3 Vestviken	3 Vestviken	3 Vestviken

Tabell 3.17: P_n , H_n og R_n med nøkkeltall for Selstad 7.

Pearson Correlations Selstad 7 95-99		
	P_n	H_n
P_n	1,000	0,524
	0,237	0,000
	1,000	0,411
H_n		0,360
R_n		1,000

Pearson Correlations Selstad 7 00-04		
	P_n	H_n
P_n	1,000	0,330
		0,469
H_n		1,000
		0,248
		0,591
R_n		1,000

P-verdi for nullhypotesen
i kursiv

Tabell 3.18: Pearsons korrelasjoner mellom P_n , H_n og R_n i Selstad 7.

Også her ser vi at det ikke er noen signifikant korrelasjon mellom P_n og H_n , R_n og H_n , men at R_n og P_n er statistisk signifikant høyt og positivt korrelert.

Innlandet, Trøndelag og Nord-Norge har samme regioninndeling som under Regin 2.

I region 1, bestående av Østfold, Akershus og Oslo, går P_n opp. R_n øker betraktelig fra periode 1 til 2. Vi ser også her at det er en stor økning i s 15, forretningsmessig tjenesteyting, som øker korrelasjon med de fleste tertiær-sektorene i økonomien over periodene, samt en nedgang i s 8, varehandel og reparasjon av kjøretøyer og s 5, industri, som ser ut til å ha forverret korrelasjonen med de andre sektorene i økonomien.

I Region 3, Vestviken går P_n opp, H_n ned og R_n opp. Samme bilde tegner seg for region 4, Sørlandet. For region 5, Vestlandet går R_n og H_n ned, og dermed går P_n ned.

Selstad 9 regioner Fylke	P_n		H_n		R_n	
	1995 - 1999	2000 – 2004	1995 - 1999	2000 - 2004	1995 - 1999	2000 - 2004
1 Østviken	0,042	0,131	0,091	0,094	-0,049	0,038
2 Innlandet	0,112	0,244	0,089	0,085	0,023	0,159
3 Vestviken	0,222	0,281	0,107	0,097	0,116	0,184
4 Sørlandet	0,146	0,162	0,099	0,090	0,046	0,072
5 Sør-Vestlandet	0,165	0,147	0,082	0,080	0,083	0,067
6 Nord-Vestlandet	0,064	0,136	0,102	0,104	-0,037	0,033
7 Trøndelag	0,063	0,099	0,085	0,084	-0,022	0,015
8 Nordland	0,130	0,189	0,083	0,083	0,048	0,106
9 Troms og Finnmark	0,178	0,138	0,084	0,085	0,094	0,053
gj snitt	0,125	0,170	0,091	0,089	0,033	0,081
Standardavvik	0,060	0,059	0,009	0,008	0,060	0,058
Median	0,130	0,147	0,089	0,085	0,046	0,067
6 Nord-Vestlandet	5 Sør-Vestlandet	2 Innlandet	2 Innlandet	2 Innl. og 9 T. F.	5 Sør-Vestlandet	
Minimum	0,042	0,099	0,082	0,080	-0,049	0,015
5 Sør-Vestlandet	Trøndelag	5 Sør-Vestlandet	5 Sør-Vestlandet	5 Sør-Vestlandet	7 Trøndelag	
Maksimum	0,222	0,281	0,107	0,104	0,116	0,184
3 Vestviken	3 Vestviken	3 Vestviken	6 Nord-Vestlandet	3 Vestviken	3 Vestviken	

Tabell 3.19: P_n , H_n og R_n med nøkkeltall for Selstad 9.

Pearson Correlations Selstad 9 95-99			
	Pn	Hn	Rn
Pn	1,000	0,143 0,713	0,993 0,000
Hn		1,000 0,979	-0,010
Rn			1,000

Pearson Correlations Selstad 9 00-04			
	Pn	Hn	Rn
Pn	1,000	0,156 0,689	0,991 0,000
Hn		1,000 0,954	0,023
Rn			1,000

P-verdi for nullhypotesen
i kursiv

Tabell 3.20: Pearsons korrelasjoner mellom P_n, H_n og R_n i Selstad 9.

Vi ser igjen at det ikke er noen signifikant korrelasjon mellom P_n og H_n, R_n og H_n, men at R_n og P_n er statistisk signifikant høyt og positivt korrelert.

Hva skjer når vi deler opp Vestlandet? P_n går ned for Sør-Vestlandet, men går opp for Nord-Vestlandet. Når Troms og Finnmark sammen betraktes som en egen region, går R_n ned. H_n øker, men ikke på langt nær nok til at P_n øker. Vi ser faktisk en bedre overordnet P_n sammen med Nordland.

Så en oppsummering av regionanalysen: Hvilke regioner ser ut til å være homogene? Høyest P_n i gjennomsnitt i regioninndelingen er i Nuts 2, med et gjennomsnitt på 0,139 i første periode som øker til 0,312 i andre periode. Ingen andre regioninndelinger har så høy økning, eller så høy P_n i indeksverdi som Nuts 2 har i andre periode. Hvis ikke dette er ønskelig inndeling, ser vi i Regin 2 at Sør-Østlandet har stabil homogenitetsindeks over de to periodene. Det samme gjelder Vest-Viken. Det kan derfor tenkes at Østfold kan tilhøre hver av disse. Kombinerer vi dette med resultatet fra konvergenstilnærmingen, ser vi at Vestviken har også en høy korrelasjon der.

Bortsett fra Nuts 2 inndelingen, så er standardavviket for P_n stabilt relativt likt for alle regioninndelinger.

I alle fire forslag til regioninndelinger er Hedmark og Oppland en region: Vi ser at fylkene hver for seg øker det overordnede homogenitetsmålet, dette gjør de også når de er slått sammen.

I Regin- og Nuts 2-inndelingene ser vi at Vestlandet øker i R_n og dermed P_n . I denne inndelingen består Vestlandet av Hordaland., Sogn og Fjordane og Møre og Romsdal. I Vestlandsinndelingen fra Selstad 7, som består av Rogaland, Hordaland., Sogn og Fjordane og Møre og Romsdal gir en nedgang i homogenitetsmålet, som kommer fra R_n . Ved en todeling av Vestlandet hos Selstad (Selstad 9) gir en økende homogenitetsindeks for Nord-Vestlandet, mens den gir en synkende for Sør-Vestlandet. Dette kan tyde på at Nord-Vestlandet er en homogen region. Dette tyder på at den porteføljeteoretiske tilnærmingen her støtter konvergenstilnærmingen.

Trøndelag øker sin P_n over periodene, mens fylkene hver for seg viser motsatt utvikling av hverandre. I Sør-Trøndelag går P_n ned på grunn av at likhetsindeksen blir negativ, mens P_n øker i Nord-Trøndelag fordi R_n øker fra negativ til positiv over periodene. Nord-Norge har høyest homogenitetsindeks når Nordland, Troms og Finnmark er sammen i en region. Dette er spennende, da vi under konvergenstilnærmingen fant at det ikke var grunnlag for å trekke en så entydig slutning om fylkenes regiontilhørighet i Nord-Norge.

3.3.2 Utvidelse med global og lokal Moran's I

Jeg kjører global Moran's I på alle fylker for å supplere Chandras porteføljeteoretiske mål på homogenitet. Ser vi at homogene regioner har en tendens til å være nær hverandre?

Global Moran's I periode 1 alle fylker

Variables	I	E(I)	sd(I)	z	p-value*
+					
pn	-0.106	-0.056	0.162	-0.309	0.757
hn	0.148	-0.056	0.179	1.136	0.256
rn	-0.110	-0.056	0.167	-0.326	0.744

*2-tail test

Global Moran's I periode 2 alle fylker

Variables	I	E(I)	sd(I)	z	p-value*
+					
pn	-0.166	-0.056	0.177	-0.623	0.533
hn	0.120	-0.056	0.179	0.984	0.325
rn	-0.181	-0.056	0.179	-0.704	0.481

*2-tail test

Tabell 3.21: Global Morans I for alle fylker og begge perioder.

Jeg får ikke statistisk signifikante resultater her. I fravær av global autokorrelasjon supplerer jeg også her analysen med lokal Morans I. Først ser jeg på det overordnede homogenitetsmålet, P_n .

Lokal Moran's I_i (P_n) alle fylker periode 1

Location	I_i	$E(I_i)$	$sd(I_i)$	z	p-value*
1	-1.971	-0.056	0.883	-2.169	0.030
2	-0.181	-0.056	0.360	-0.348	0.728
3	0.119	-0.056	0.488	0.357	0.721
4	-0.061	-0.056	0.488	-0.012	0.991
5	0.263	-0.056	0.288	1.104	0.270
6	0.045	-0.056	0.288	0.349	0.727
7	0.233	-0.056	0.611	0.472	0.637
8	-0.387	-0.056	0.360	-0.920	0.358
9	-0.005	-0.056	0.488	0.104	0.917
10	0.272	-0.056	0.611	0.536	0.592
11	0.019	-0.056	0.412	0.180	0.857
12	0.011	-0.056	0.412	0.162	0.871
13	0.297	-0.056	0.412	0.854	0.393
14	0.159	-0.056	0.488	0.440	0.660
15	0.054	-0.056	0.412	0.266	0.790
16	-0.121	-0.056	0.611	-0.107	0.915
17	-0.217	-0.056	0.611	-0.265	0.791
18	-0.203	-0.056	0.611	-0.242	0.809
19	-0.334	-0.056	0.883	-0.315	0.753

*2-tail test

Tabell 3.22: Lokal Morans I for P_n i alle fylker periode 1

Lokal Moran's I_i (P_n) alle fylker periode 2

Location	I_i	$E(I_i)$	$sd(I_i)$	z	p-value*
1	0.216	-0.056	0.959	0.283	0.777
2	-0.196	-0.056	0.380	-0.371	0.711
3	-0.568	-0.056	0.523	-0.981	0.327
4	0.090	-0.056	0.523	0.278	0.781
5	-0.197	-0.056	0.298	-0.473	0.636
6	-0.044	-0.056	0.298	0.040	0.968
7	1.851	-0.056	0.660	2.891	0.004
8	0.009	-0.056	0.380	0.171	0.865
9	-0.855	-0.056	0.523	-1.529	0.126
10	-1.402	-0.056	0.660	-2.042	0.041
11	0.005	-0.056	0.439	0.139	0.890
12	-0.101	-0.056	0.439	-0.103	0.918
13	-0.567	-0.056	0.439	-1.165	0.244
14	-0.100	-0.056	0.523	-0.085	0.933
15	0.001	-0.056	0.439	0.128	0.898
16	0.128	-0.056	0.660	0.279	0.781
17	-0.589	-0.056	0.660	-0.809	0.418
18	-0.474	-0.056	0.660	-0.634	0.526
19	-0.363	-0.056	0.959	-0.321	0.748

Tabell 3.23: Lokal Morans I for P_n i alle fylker periode 2

Nå begynner vi å se resultater. Oslo går fra å være i klynge med naboyer i første periode til ikke å ha signifikant klynge i 2. periode. Vestfold og Vest-Agder går fra å ikke ha signifikant klynge i det overordnede homogenitetsmålet til å ha det i andre periode. Hva skjer med konsentrasjonsindeksen, H_n ?

Lokal Moran's Ii (H_n) alle fylker periode 1

Location	Ii	E(Ii)	sd(Ii)	z	p-value*
+					
1 0.303	-0.056	0.968	0.371	0.711	
2 0.078	-0.056	0.382	0.349	0.727	
3 -0.071	-0.056	0.527	-0.029	0.977	
4 0.182	-0.056	0.527	0.450	0.653	
5 -0.135	-0.056	0.299	-0.265	0.791	
6 0.048	-0.056	0.299	0.345	0.730	
7 0.851	-0.056	0.666	1.362	0.173	
8 0.018	-0.056	0.382	0.192	0.847	
9 -0.194	-0.056	0.527	-0.262	0.793	
10 -0.451	-0.056	0.666	-0.593	0.553	
11 -0.130	-0.056	0.442	-0.169	0.866	
12 -0.869	-0.056	0.442	-1.839	0.066	
13 0.018	-0.056	0.442	0.167	0.867	
14 -0.543	-0.056	0.527	-0.924	0.356	
15 0.070	-0.056	0.442	0.285	0.776	
16 0.489	-0.056	0.666	0.819	0.413	
17 0.865	-0.056	0.666	1.382	0.167	
18 1.153	-0.056	0.666	1.816	0.069	
19 1.135	-0.056	0.968	1.229	0.219	

Tabell 3.24: Lokal Morans I for H_n i alle fylker periode 1

Lokal Moran's Ii (H_n) periode 2

Location	Ii	E(Ii)	sd(Ii)	z	p-value*
+					
1 0.389	-0.056	0.964	0.461	0.645	
2 0.119	-0.056	0.381	0.457	0.648	
3 0.219	-0.056	0.525	0.522	0.602	
4 0.266	-0.056	0.525	0.612	0.541	
5 -0.514	-0.056	0.299	-1.535	0.125	
6 0.103	-0.056	0.299	0.531	0.595	
7 0.371	-0.056	0.663	0.643	0.520	
8 -0.117	-0.056	0.381	-0.161	0.872	
9 0.034	-0.056	0.525	0.171	0.865	
10 -0.055	-0.056	0.663	0.000	1.000	
11 0.295	-0.056	0.441	0.794	0.427	
12 -0.664	-0.056	0.441	-1.380	0.168	
13 0.124	-0.056	0.441	0.407	0.684	
14 -0.576	-0.056	0.525	-0.991	0.322	
15 -0.009	-0.056	0.441	0.105	0.917	
16 0.402	-0.056	0.663	0.690	0.490	
17 0.641	-0.056	0.663	1.050	0.294	
18 0.681	-0.056	0.663	1.112	0.266	
19 0.577	-0.056	0.964	0.656	0.512	

*2-tail test

Tabell 3.25: Lokal Morans I for H_n i alle fylker periode 2

Når vi kommer til Herfindahlindeksen, ser vi at det bare er en signifikant observasjon, som er Hordaland i første periode. Hva med likhetsindeksen R_n ?

Lokal Moran's Ii (Rn) periode 1

Location	Ii	E(Ii)	sd(Ii)	z	p-value*
+					
1	-1.974	-0.056	0.908	-2.113	0.035
2	-0.147	-0.056	0.366	-0.249	0.803
3	0.117	-0.056	0.499	0.345	0.730
4	-0.085	-0.056	0.499	-0.058	0.953
5	0.272	-0.056	0.291	1.125	0.260
6	0.067	-0.056	0.291	0.421	0.674
7	0.083	-0.056	0.627	0.221	0.825
8	-0.360	-0.056	0.366	-0.830	0.406
9	0.006	-0.056	0.499	0.122	0.903
10	0.241	-0.056	0.627	0.474	0.636
11	0.024	-0.056	0.421	0.190	0.849
12	0.044	-0.056	0.421	0.236	0.813
13	0.343	-0.056	0.421	0.946	0.344
14	0.210	-0.056	0.499	0.532	0.595
15	-0.020	-0.056	0.421	0.085	0.932
16	-0.312	-0.056	0.627	-0.409	0.683
17	-0.318	-0.056	0.627	-0.418	0.676
18	-0.112	-0.056	0.627	-0.090	0.928
19	-0.172	-0.056	0.908	-0.128	0.898

Tabell 3.26: Lokal Morans I for Rn i alle fylker periode 1

Lokal Moran's Ii (Rn) periode 2

Location	Ii	E(Ii)	sd(Ii)	z	p-value*
+					
1	0.442	-0.056	0.965	0.515	0.606
2	-0.144	-0.056	0.381	-0.233	0.816
3	-0.672	-0.056	0.526	-1.172	0.241
4	0.053	-0.056	0.526	0.206	0.837
5	-0.310	-0.056	0.299	-0.850	0.395
6	-0.062	-0.056	0.299	-0.021	0.984
7	1.618	-0.056	0.663	2.522	0.012
8	-0.015	-0.056	0.381	0.107	0.915
9	-0.838	-0.056	0.526	-1.489	0.137
10	-1.268	-0.056	0.663	-1.827	0.068
11	-0.000	-0.056	0.441	0.126	0.900
12	-0.038	-0.056	0.441	0.039	0.969
13	-0.622	-0.056	0.441	-1.285	0.199
14	-0.002	-0.056	0.526	0.101	0.919
15	0.002	-0.056	0.441	0.131	0.896
16	0.022	-0.056	0.663	0.116	0.907
17	-0.667	-0.056	0.663	-0.921	0.357
18	-0.530	-0.056	0.663	-0.715	0.475
19	-0.414	-0.056	0.965	-0.371	0.710

Tabell 3.27: Lokal Morans I for Rn i alle fylker periode 1

For R_n ser vi også noen spennende mønster: Østfold går fra signifikant til ikke, Vestfold og Vest-Agder går fra ikke signifikant til signifikante.

Hvis vi kombinerer disse resultatene med det vi oppnådde under regioninndelingene, så ser vi at det virker som Vestfold er i en klynge. I Regin 2 er Vestfold i region med Sør-Østlandet. Det overordnede homogenitetsmålet er stabilt høyt i regionen over begge periodene. Sektorkonsentrasjonen H_n går noe ned, mens likhetsindeksen øker veldig. I Nuts 2 er Vestfold i region med Østlandet, her drives P_n voldsomt opp av R_n, kanskje på grunn av at økonomien blir så diversifisert. I Selstad 7 og 9 ser vi at homogenitetsmålet er relativt stabilt over periodene i forhold til Nuts 2 økningen. I Selstad 7/9 så kommer økningen fra økt likhetsindeks, sektorkonsentrasjonsindeksen går ned.

Når det gjelder Vest-Agder I Regin 2 og Nuts 2, så er fylket delt inn i region med Aust-Agder og Rogaland, homogenitetsmålet øker over periodene. I Selstad 7 og 9 ser vi også at homogenitetsmålet øker, og har høyere verdi enn for de andre inndelingene i begge perioder.

4. Avslutning

I denne avhandlingen har vi sett på to tilnærminger som kan bidra til å definere grensene for økonomisk homogene regioner, og deretter har vi sett en illustrasjon av tilnærmingene med tall for Norske fylker og forskjellige forslag til regioninndeling. Deretter ble teorien og empirien forsøkt supplert med romlig statistikk.

Rent teoretisk så vi for det første at dersom en konvergenstilnærming anvendes, vil vi kunne si noe om regionene vokser i samme tempo over tid. Vi så empirisk at betydningen av å etablere regioner er reelle, da alle inndelinger viste at fylkene innenfor hver region hadde høyere korrelasjon med de andre fylkene i regionen enn med alle fylker samlet. Vi har sett at regionene i noen regionforslag peker seg ut som mer homogene enn andre.

For det andre har vi sett at man gjennom en porteføljeteoretisk tilnærming fremhever sektorenes gjensidige avhengighet av hverandre. Man gjør en forskjell mellom strukturell eller komposisjonell homogenitet og likhetshomogenitet. Det er i likhetsindeksen at vi får sett sektorenes avhengighet til hverandre. Dersom de dominerende sektorene i regionen er høyt korrelerte mht avvik fra regional vekstrate (dvs at avvik fra regional vekstrate er liten), så vil likhetsindeksen være høy. Vi så at for de fleste regioner drives homogeniteten opp fra den ene til den andre perioden via likhetsindeksen. Noen regioner utpekte seg som homogene, og vi så at noen regioner framsto som homogene både under konvergenstilnærmingen og porteføljetilnærmingen, mens andre ikke ga så entydig bilde.

Ingen av de to tilnærmingene tok spesielt hensyn til romligheten i datamaterialet. Derfor supplerte jeg teoriene med teori om romlig autokorrelasjon. Den vanligste indikatoren for romlig autokorrelasjon er global Morans I, som er positiv dersom like verdier har en tendens til å finnes sammen (enten positive eller negative), og er negativ dersom ulike verdier er nabover. Anselin (1995) har dekomponert det den globale indikatoren til lokale indikatorer, ser vi kan vurdere hvert enkelt tilfelle.

Ved å supplere Fatás(1997) med det globale målet for Morans I, så vi at vi ikke fikk noen entydig signifikant indikator. Dette kan imidlertid være fordi det er så få observasjoner. Det lokale målet for Morans I ga heller ikke noen entydig signifikante resultater. Det er imidlertid

verdt å merke seg at den lokale indikatoren for Oslo er svært negativ, noe som kan tyde på at vi ikke har klyngedannelse rundt fylket.

Ved å supplere porteføljeteoretisk tilnærming med det globale målet for romlig autokorrelasjon, Morans I, så vi at vi heller ikke har ser noen klyngedannelse over datasettet. Da jeg analyserte ved hjelp av det lokale målet, så det ut til at Oslo heller ikke her later til å inngå i en homogen region med sine naboer. Vi så også at Vestfold og Vest-Agder så ut til å være homogen med sine naboer i andre periode.

Av muligheter for videre forskning innenfor dette temaet, ser jeg at med et bedre datagrunnlag kan være spennende å ta hensyn til pendlerområder og andre økonomisk *funksjonelle* regioner. Bedre rådata vil også kunne gi mer nøyaktige vekstrater og flere observasjoner. En studie over en lengre tidsperiode vil kunne gi et bedre bilde av trenden i økonomien. En grovere sektorinndeling vil kunne tydeliggjøre effekten av komposisjon og likhet i en porteføljeteoretisk tilnærming.

Når det gjelde romlig autokorrelasjon kan metodiske forbedringer gjøres ved å justere Moran's I for befolkningsstørrelse. Man kan også anta noe annet enn normalfordeling.

I juni 2007 vil regjeringens forslag om ny regioninndeling gå ut på høring til de berørte parter. Debatten er het, og synspunktene mange. Vi har her sett at man også kan gjøre en økonomisk teoretisk tilnærming til temaet om å dele opp en økonomi i regioner.

Litteraturliste

- Andresen, A. K. (2002): Are commuting areas relevant for the delimitation of administrative regions in Denmark, *Regional studies*, 36(8): 833–844.
- Anselin, L. (1995): Local indicators of spatial association – LISA, *Geographical analysis*, 27(2): 93-115
- Baldwin, R. and C. Wyplosz (2006): *The economics of European integration*. Mc Graw Hill, Berkshire.
- Bredesen, I. (2001): *Investering og finansiering*. Gyldendal Norsk Forlag. Oslo.
- Brown, L. A. and J. Holmes: The delimitationf of functional regions, nodal regions, and hierarchies by functional distance approaches, i Hansen et al (1996): *Regional Policy and Regional Integration*. Edward Elgar, sted, sidetall.
- Chandra, S. (2005): Composition, similarity, and the measurement og economic homogeneity, *Journal of Regional Science*, 45(3): 591-616.
- Cliff, A. D and J. K. Ord (1973): Spatial autocorrelation. Pion, London.
- Conroy, M. E. (1974): Regional industrial diversification strategies, *Journal of Regional Science*, 14(1).
- Conroy, M. E. (1975): The concept of regional industrial diversification, *Southern Economic Journal*, 41(3): pp 492-505.
- Fatàs, A. (1997): EMU: Countries or regions? Lessons from the EMS experience, *European Economic Review*, 41: 743-751.
- Haining, R. (1990): *Spatial Data Analysis in the Social and Environmental Sciences*. Cambridge University Press, Cambridge.
- Haining, R. (1993): *Spatial Data Analysis. Theory and Practice*. Cambridge University Press, Cambridge.
- Henley, A. (2005): On Regional Growth Convergence in Great Britain. *Regional Studies*, Vol. 39.9, pp. 1245-1260.
- Hervik, A. og J. Rattsø (2004): Vil vi virkelig ha landsdelsregioner? *Økonomisk Forum*, nr. 9. s. 22-27.
- Liczynski, J., J. Wilson and J. Goddard (2005): *Industrial Organisation*. Pearson, Essex.
- Long, A. (12.04.07): <http://zappa.nku.edu/~longa/geomod/stats/MoranI/MoranI.html>

Mundell, R. A. (1961): A theory of optimum currency areasI, *American Economic Review*, 51(4): pp. 657-665.

NOU 2004: 19, Livskraftige distrikter og regioner.

OECD rapport (2002): Redefining territories: functional regions. *Working party on territorial indicators*. Territorial development service.

Pattachini, E. og Y. Zenou (2007): Spatial dependence in local unemployment rates, *Journal of Economic Geography*, 7: 169-191.

Richardson, H. W. (1973): *Regional Growth Theory*. MacMillan, London.

Selstad, T. (2004): *Sterke regioner. Forslag til ny regionalinndeling av Norge*. Kommuneforlaget. Oslo.

Selstad, T. (2005): *Grensen er nådd!! Ny regionalinndeling for Norge*. Foredrag kommuneplankonferansen FKP, Harstad 14. februar 2005. Web: file:///C:/Documents%20and%20Settings/trbal/Lokale%20innstillinger/Temporary%20Interne t%20Files/Content.IE5/8JDV62JD/256,1,Grensen er nådd !! Ny regioninndeling for Norge

Shin, M. (1999): Lost in Space: Political Geography and the Defense-Growth Trade-Off. *Journal of Conflict Resolution* 1999; 43; 793.

Stortingsmelding 14 (2006 – 2007): *Regionale fortrinn – Regional framtid*.

Teigen, H. (1999): *Regionaløkonomi og Politikk*. Universitetsforlaget. Oslo.

Østbye, S. og O. Westerlund: Produktivity convergence across industries and regions in Norway and Sweden. ITPS Working Paper R 2004:006.

Appendiks

Sektorinndeling

S1 = Jordbruk og skogbruk
S2 = Fiske, fangst og fiskeoppdrett
S3 = Utvinning av råolje og naturgass, inkl. tjenester
S4 = Bergverksdrift
S5 = Industri
S6 = Kraft og vannforsyning
S7 = Bygge- og anleggsvirksomhet
S8 = Varehandel, reparasjon av kjøretøyer mv.
S9 = Hotell- og restaurantvirksomhet
S10 = Utenriks sjøfart
S11 = Transport ellers
S12 = Post og telekommunikasjon
S13 = Finansiell tjenesteyting
S14 = Boligtjenester (husholdninger)
S15 = Forretningsmessig tjenesteyting
S16 = Offentlig administrasjon og forsvar
S17 = Undervisning
S18 = Helse- og sosialtjenester
S19 = Andre sosiale og personlige tjenester

Pearson Correlations
region 1 i Nuts 2 95-99

	s1	s2	s3	s4	s5	s6	s7	s8	s9	s10	s11	s12	s13	s14	s15	s16	s17	s18	s19
s1	1,000	0,995	0,743	-0,979	0,875	-0,897	-0,976	0,931	-0,864	0,971	-0,982	0,991	0,758	-0,671	0,986	-0,075	-0,477	-0,563	0,998
s2		1,000	0,673	-0,994	0,919	-0,936	-0,993	0,963	-0,909	0,943	-0,959	0,999	0,819	-0,594	0,965	0,024	-0,388	-0,478	0,999
s3			1,000	-0,590	0,327	-0,371	-0,581	0,449	-0,305	0,881	-0,856	0,648	0,128	-0,995	0,843	-0,723	-0,943	-0,971	0,698
s4				1,000	-0,956	0,969	1,000	-0,986	0,949	-0,902	0,922	-0,997	-0,876	0,504	-0,932	-0,131	0,287	0,381	-0,990
s5					1,000	-0,999	-0,959	0,991	-1,000	0,736	-0,769	0,932	0,979	-0,229	0,784	0,416	0,007	-0,093	0,905
s6						1,000	0,971	-0,996	0,998	-0,767	0,798	-0,948	-0,968	0,274	-0,812	-0,373	0,040	0,139	-0,924
s7							1,000	-0,988	0,952	-0,897	0,918	-0,996	-0,881	0,495	-0,928	-0,142	0,276	0,370	-0,988
s8								1,000	-0,988	0,819	-0,846	0,971	0,944	-0,355	0,859	0,293	-0,125	-0,223	0,953
s9									1,000	-0,719	0,753	-0,923	-0,984	0,206	-0,769	-0,438	-0,031	0,069	-0,895
s10										1,000	-0,999	0,932	0,582	-0,828	0,997	-0,310	-0,672	-0,743	0,954
s11											1,000	-0,949	-0,622	0,799	-1,000	0,262	0,634	0,708	-0,968
s12												1,000	0,838	-0,567	0,956	0,057	-0,357	-0,449	0,998
s13													1,000	-0,026	0,641	0,593	0,211	0,112	0,800
s14														1,000	-0,784	0,790	0,972	0,991	-0,621
s15															1,000	-0,238	-0,615	-0,691	0,974
s16																1,000	0,912	0,867	-0,010
s17																	1,000	0,995	-0,418
s18																		1,000	-0,507
s19																			1,000

Pearson Correlations
region 1 i Nuts 2 95-99

	s1	s2	s3	s4	s5	s6	s7	s8	s9	s10	s11	s12	s13	s14	s15	s16	s17	s18	s19
s1	1,000	-0,881	-0,571	0,189	0,957	0,980	0,974	0,974	0,943	0,953	0,841	0,991	0,991	0,995	0,987	0,979	0,941	0,992	0,986
s2		1,000	0,889	0,185	-0,969	-0,957	-0,919	-0,754	-0,950	-0,864	-0,983	-0,918	-0,830	-0,869	-0,945	-0,944	-0,799	-0,917	-0,927
s3			1,000	0,562	-0,775	-0,719	-0,681	-0,372	-0,766	-0,557	-0,915	-0,653	-0,481	-0,546	-0,695	-0,689	-0,520	-0,650	-0,652
s4				1,000	-0,090	0,052	-0,033	0,378	-0,148	0,333	-0,334	0,055	0,319	0,260	0,067	0,128	0,010	0,062	0,167
s5					1,000	0,988	0,988	0,868	0,995	0,892	0,961	0,985	0,913	0,938	0,988	0,970	0,922	0,984	0,964
s6						1,000	0,976	0,912	0,969	0,951	0,922	0,988	0,955	0,974	0,999	0,996	0,902	0,988	0,993
s7							1,000	0,911	0,992	0,878	0,918	0,995	0,934	0,949	0,982	0,955	0,970	0,994	0,955
s8								1,000	0,853	0,931	0,698	0,940	0,990	0,978	0,926	0,921	0,915	0,942	0,939
s9									1,000	0,847	0,960	0,979	0,890	0,914	0,972	0,943	0,943	0,978	0,937
s10										1,000	0,775	0,920	0,969	0,976	0,949	0,975	0,793	0,923	0,980
s11											1,000	0,899	0,769	0,812	0,912	0,892	0,817	0,896	0,872
s12												1,000	0,964	0,976	0,993	0,975	0,958	1,000	0,978
s13													1,000	0,997	0,963	0,965	0,905	0,966	0,977
s14														1,000	0,980	0,982	0,906	0,977	0,990
s15															1,000	0,994	0,919	0,994	0,993
s16																1,000	0,873	0,976	0,999
s17																	1,000	0,957	0,882
s18																		1,000	0,979
s19																			1,000

Pearson Correlations
 region 2 i NUTS 2 og
 region 4 i REGIN 2, 95-99

	s1	s2	s3	s4	s5	s6	s7	s8	s9	s10	s11	s12	s13	s14	s15	s16	s17	s18	s19
s1	1,000	-0,656	-0,662	0,085	0,318	0,667	-0,049	-0,313	-0,492	0,205	0,499	-0,381	1,000	0,618	-0,388	0,560	0,943	0,874	0,956
s2		1,000	-0,131	0,696	0,507	0,125	-0,721	0,922	-0,335	-0,873	0,326	0,948	-0,636	0,187	-0,441	-0,993	-0,366	-0,206	-0,849
s3			1,000	-0,803	-0,921	-1,000	0,781	-0,504	0,978	0,598	-0,980	-0,440	-0,682	-0,998	0,948	0,249	-0,875	-0,943	-0,413
s4				1,000	0,972	0,799	-0,999	0,920	-0,909	-0,958	0,906	0,889	0,111	0,835	-0,951	-0,778	0,413	0,559	-0,212
s5					1,000	0,919	-0,963	0,801	-0,982	-0,863	0,980	0,755	0,343	0,942	-0,997	-0,607	0,617	0,739	0,025
s6						1,000	-0,777	0,499	-0,977	-0,593	0,979	0,435	0,686	0,998	-0,946	-0,244	0,877	0,945	0,418
s7							1,000	-0,933	0,894	0,968	-0,890	-0,905	-0,075	-0,815	0,940	0,800	-0,380	-0,529	0,247
s8								1,000	-0,673	-0,994	0,667	0,997	-0,288	0,553	-0,754	-0,962	0,022	0,189	-0,579
s9									1,000	0,752	-1,000	-0,618	-0,514	-0,988	0,993	0,446	-0,754	-0,853	-0,213
s10										1,000	-0,746	-0,983	0,179	-0,643	0,823	0,925	-0,134	-0,298	0,484
s11											1,000	0,611	0,521	0,990	-0,992	-0,438	0,760	0,858	0,222
s12												1,000	-0,357	0,491	-0,704	-0,979	-0,050	0,117	-0,636
s13													1,000	0,639	-0,412	0,539	0,951	0,886	0,948
s14														1,000	-0,964	-0,304	0,845	0,923	0,360
s15															1,000	0,546	-0,674	-0,788	-0,100
s16																1,000	0,251	0,086	0,779
s17																	1,000	0,986	0,802
s18																		1,000	0,692
s19																			1,000

Pearson Correlations
 region 2 i NUTS 2 og
 region 4 i REGIN 2, 00-04

	s1	s2	s3	s4	s5	s6	s7	s8	s9	s10	s11	s12	s13	s14	s15	s16	s17	s18	s19
s1	1,000	-0,021	-0,082	0,073	0,968	-0,014	0,952	-0,613	0,988	0,484	0,994	-0,894	-0,153	-0,998	0,460	0,695	0,839	0,580	0,624
s2		1,000	0,633	-0,785	0,185	0,227	-0,155	-0,520	-0,177	-0,181	0,054	-0,391	-0,972	-0,012	-0,718	-0,426	-0,487	0,146	0,767
s3			1,000	-0,977	-0,063	-0,606	0,049	0,163	-0,194	0,514	0,024	-0,048	-0,726	0,014	-0,898	0,137	-0,578	-0,564	0,471
s4				1,000	0,000	0,422	0,005	0,013	0,206	-0,360	-0,033	0,146	0,851	-0,009	0,919	0,009	0,599	0,411	-0,590
s5					1,000	0,176	0,853	-0,788	0,926	0,307	0,966	-0,976	-0,325	-0,963	0,378	0,501	0,756	0,711	0,758
s6						1,000	-0,313	-0,680	-0,031	-0,881	-0,070	-0,254	-0,064	0,066	0,354	-0,677	0,150	0,806	0,131
s7							1,000	-0,351	0,956	0,721	0,957	-0,747	-0,058	-0,962	0,385	0,880	0,786	0,310	0,499
s8								1,000	-0,533	0,295	-0,606	0,871	0,521	0,593	-0,216	0,137	-0,425	-0,906	-0,776
s9									1,000	0,489	0,969	-0,823	0,005	-0,979	0,575	0,740	0,907	0,563	0,493
s10										1,000	0,533	-0,210	-0,044	-0,530	-0,116	0,913	0,250	-0,432	0,201
s11											1,000	-0,907	-0,237	-0,999	0,364	0,705	0,778	0,529	0,682
s12												1,000	0,508	0,895	-0,216	-0,348	-0,607	-0,726	-0,871
s13													1,000	0,194	0,706	0,202	0,374	-0,116	-0,863
s14														1,000	-0,402	-0,716	-0,805	-0,535	-0,650
s15															1,000	0,296	0,866	0,582	-0,287
s16																1,000	0,614	-0,133	0,135
s17																	1,000	0,633	0,146
s18																		1,000	0,455
s19																			1,000

Pearson Correlations
region 3 i nuts2 og region
5 i REGIN2, 95-99

	s1	s2	s3	s4	s5	s6	s7	s8	s9	s10	s11	s12	s13	s14	s15	s16	s17	s18	s19
s1	1,000	0,525	-0,999	0,818	0,983	0,346	-0,334	-0,578	0,512	0,162	0,910	-0,398	0,767	0,212	0,212	0,613	0,588	0,733	-0,633
s2		1,000	-0,494	-0,060	0,671	-0,617	0,627	-0,998	1,000	-0,755	0,831	-0,990	-0,143	-0,721	0,943	0,994	0,997	-0,194	-0,991
s3			1,000	-0,838	-0,976	-0,379	0,368	0,548	-0,481	-0,197	-0,894	0,365	-0,790	-0,246	-0,177	-0,585	-0,558	-0,757	0,605
s4				1,000	0,700	0,822	-0,815	-0,004	-0,075	0,700	0,506	0,201	0,996	0,735	-0,388	0,048	0,016	0,991	-0,074
s5					1,000	0,169	-0,157	-0,717	0,660	-0,021	0,970	-0,559	0,637	0,030	0,386	0,747	0,725	0,597	-0,764
s6						1,000	-1,000	0,566	-0,629	0,982	-0,075	0,723	0,867	0,990	-0,844	-0,529	-0,556	0,892	0,507
s7							1,000	-0,576	0,639	-0,984	0,087	-0,731	-0,861	-0,992	0,850	0,539	0,566	-0,886	-0,518
s8								1,000	-0,997	0,712	-0,864	0,979	0,080	0,675	-0,920	-0,999	-1,000	0,131	0,998
s9									1,000	-0,765	0,822	-0,992	-0,158	-0,731	0,948	0,992	0,996	-0,208	-0,989
s10										1,000	-0,262	0,841	0,757	0,999	-0,930	-0,680	-0,703	0,790	0,661
s11											1,000	-0,743	0,432	-0,213	0,598	0,886	0,870	0,385	-0,897
s12												1,000	0,283	0,812	-0,981	-0,969	-0,976	0,331	0,962
s13													1,000	0,789	-0,464	-0,036	-0,068	0,999	0,010
s14														1,000	-0,910	-0,642	-0,666	0,820	0,622
s15															1,000	0,902	0,915	-0,509	-0,890
s16																1,000	0,999	-0,087	-1,000
s17																	1,000	-0,119	-0,998
s18																		1,000	0,061
s19																			1,000

Pearson Correlations
region 3 i nuts2 og region
5 i REGIN200-04

	s1	s2	s3	s4	s5	s6	s7	s8	s9	s10	s11	s12	s13	s14	s15	s16	s17	s18	s19
s1	1,000	0,705	-0,766	-0,419	0,973	-0,162	0,926	-0,422	0,951	0,078	0,870	0,228	-0,009	-0,841	0,295	0,649	0,665	0,610	0,319
s2		1,000	-0,317	-0,056	0,545	0,374	0,408	-0,786	0,878	0,333	0,962	-0,103	0,305	-0,969	0,642	0,787	0,049	0,874	-0,112
s3			1,000	-0,044	-0,742	-0,054	-0,906	0,437	-0,692	-0,449	-0,527	0,211	0,648	0,418	0,377	-0,688	-0,440	0,002	-0,853
s4				1,000	-0,574	0,897	-0,371	-0,553	-0,217	0,873	-0,175	-0,980	-0,605	0,264	-0,536	0,394	-0,863	-0,454	0,397
s5					1,000	-0,378	0,950	-0,205	0,856	-0,111	0,746	0,402	0,010	-0,727	0,253	0,468	0,818	0,527	0,308
s6						1,000	-0,275	-0,822	0,116	0,906	0,217	-0,929	-0,331	-0,152	-0,146	0,641	-0,838	-0,012	0,202
s7							1	-0,2470	0,7951	0,0815	0,6403	0,197	-0,302	-0,58	-0,053	0,5356	0,7467	0,2727	0,5883
s8								1	-0,661	-0,844	-0,7220	0,6904	0,2316	0,6559	-0,112	-0,9490	0,3955	-0,401	-0,292
s9									1	0,2782	0,9744	0,0203	0,0319	-0,9450	0,3881	0,8119	0,4147	0,7158	0,2449
s10										1	0,2857	-0,953	-0,652	-0,174	-0,41	0,7851	-0,599	-0,153	0,5903
s11											1	-0,009	0,1834	-0,99	0,5377	0,8096	0,2751	0,8252	0,0667
s12												1	0,6427	-0,092	0,5006	-0,567	0,7824	0,3446	-0,489
s13													1	-0,322	0,9253	-0,343	0,1442	0,7061	-0,948
s14														1	-0,652	-0,727	-0,296	-0,897	0,0713
s15															1	0,0333	0,1701	0,9197	-0,798
s16																1	-0,119	0,3931	0,4808
s17																	1	0,2582	0,1182
s18																		1	-0,501
s19																			1

Pearson Correlations
region 4 i nuts2, region 6 i
REGIN 2, region 6 i
Selstad 7 og region 7 i
Selstad 9, 95-99

	s1	s2	s3	s4	s5	s6	s7	s8	s9	s10	s11	s12	s13	s14	s15	s16	s17	s18	s19
s1	1,000	0,635	0,554	0,935	-0,131	-0,057	-0,606	0,497	0,865	0,562	0,146	0,459	0,872	0,936	-0,939	-0,681	0,448	0,944	0,486
s2		1,000	-0,291	0,868	0,683	0,735	-0,999	-0,355	0,162	-0,283	-0,671	-0,395	0,932	0,324	-0,330	0,133	0,975	0,344	-0,366
s3			1,000	0,222	-0,898	-0,862	0,326	0,998	0,897	1,000	0,905	0,994	0,075	0,811	-0,807	-0,987	-0,496	0,798	0,997
s4				1,000	0,230	0,302	-0,849	0,156	0,631	0,231	-0,214	0,114	0,989	0,751	-0,755	-0,377	0,736	0,765	0,144
s5					1,000	0,997	-0,709	-0,925	-0,610	-0,894	-1,000	-0,941	0,372	-0,470	0,464	0,815	0,828	-0,451	-0,930
s6						1,000	-0,760	-0,895	-0,549	-0,858	-0,996	-0,913	0,440	-0,403	0,397	0,770	0,867	-0,383	-0,900
s7							1,000	0,389	-0,126	0,318	0,698	0,428	-0,918	-0,289	0,295	-0,170	-0,983	-0,309	0,400
s8								1,000	0,865	0,997	0,931	0,999	0,008	0,770	-0,765	-0,974	-0,554	0,756	1,000
s9									1,000	0,901	0,622	0,843	0,509	0,986	-0,985	-0,956	-0,061	0,982	0,859
s10										1,000	0,901	0,993	0,085	0,816	-0,812	-0,988	-0,489	0,804	0,996
s11											1,000	0,946	-0,357	0,484	-0,478	-0,824	-0,819	0,465	0,936
s12												1,000	-0,035	0,742	-0,737	-0,963	-0,589	0,727	1,000
s13													1,000	0,645	-0,650	-0,235	0,828	0,661	-0,004
s14														1,000	-1,000	-0,895	0,106	1,000	0,762
s15															1,000	0,892	-0,112	-1,000	-0,757
s16																1,000	0,350	-0,885	-0,971
s17																	1,000	0,127	-0,564
s18																		1,000	0,748
s19																			1,000

Pearson Correlations
region 4 i nuts2, region 6 i
REGIN 2, region 6 i
Selstad 7 og region 7 i
Selstad 9, 00-04

	s1	s2	s3	s4	s5	s6	s7	s8	s9	s10	s11	s12	s13	s14	s15	s16	s17	s18	s19
s1	1,000	0,737	-0,160	0,925	0,795	0,204	0,880	-0,668	0,920	0,091	0,943	-0,968	-0,611	-0,996	0,730	0,892	0,343	0,495	0,231
s2		1,000	0,466	0,438	0,210	-0,313	0,940	-0,521	0,423	0,059	0,477	-0,589	-0,498	-0,783	0,398	0,956	0,608	-0,024	0,334
s3			1,000	-0,407	-0,499	-0,293	0,327	0,424	-0,424	-0,498	-0,393	0,233	0,412	0,122	-0,606	0,194	0,770	-0,887	-0,276
s4				1,000	0,965	0,516	0,681	-0,518	1,000	-0,026	0,999	-0,982	-0,450	-0,889	0,676	0,655	0,217	0,591	0,019
s5					1,000	0,709	0,506	-0,334	0,968	-0,156	0,949	-0,913	-0,262	-0,740	0,543	0,441	0,163	0,562	-0,173
s6						1,000	0,024	0,412	0,520	-0,670	0,469	-0,444	0,474	-0,117	-0,165	-0,187	0,254	0,040	-0,778
s7							1,000	-0,456	0,667	-0,125	0,706	-0,806	-0,409	-0,897	0,422	0,956	0,685	0,056	0,118
s8								1,000	-0,520	-0,800	-0,557	0,511	0,997	0,707	-0,963	-0,685	0,327	-0,791	-0,865
s9									1,000	-0,017	0,998	-0,978	-0,453	-0,883	0,681	0,643	0,199	0,604	0,022
s10										1,000	0,010	0,082	-0,840	-0,142	0,717	0,170	-0,750	0,700	0,957
s11											1,000	-0,986	-0,491	-0,911	0,704	0,691	0,215	0,601	0,065
s12												1,000	0,443	0,941	-0,632	-0,765	-0,370	-0,472	-0,016
s13													1,000	0,655	-0,945	-0,651	0,367	-0,776	-0,901
s14														1,000	-0,746	-0,926	-0,339	-0,485	-0,297
s15															1,000	0,621	-0,365	0,905	0,733
s16																1,000	0,465	0,249	0,402
s17																	1,000	-0,639	-0,527
s18																		1,000	0,589
s19																			1,000

Pearson Correlations i
region 5 nuts2, region 7
REGIN2 og region 7 i
Selstad 7, 95-99

	s1	s2	s3	s4	s5	s6	s7	s8	s9	s10	s11	s12	s13	s14	s15	s16	s17	s18	s19
s1	1,000	0,371	0,624	0,786	-0,566	-0,531	-0,792	0,976	-0,944	0,185	0,792	0,999	0,569	0,986	-0,979	0,103	-0,572	0,996	-0,734
s2		1,000	0,957	-0,282	-0,976	-0,984	0,273	0,563	-0,657	0,981	-0,273	0,327	-0,552	0,212	-0,554	-0,885	-0,974	0,452	-0,903
s3			1,000	0,008	-0,997	-0,993	-0,018	0,778	-0,847	0,883	0,017	0,587	-0,287	0,486	-0,771	-0,712	-0,998	0,691	-0,989
s4				1,000	0,064	0,106	-1,000	0,634	-0,539	-0,462	1,000	0,814	0,956	0,878	-0,643	0,696	0,057	0,728	-0,158
s5					1,000	0,999	-0,055	-0,731	0,806	-0,915	0,055	-0,527	0,355	-0,422	0,723	0,761	1,000	-0,637	0,975
s6						1,000	-0,097	-0,701	0,780	-0,931	0,097	-0,491	0,394	-0,383	0,693	0,788	0,999	-0,604	0,965
s7							1,000	-0,642	0,547	0,453	-1,000	-0,820	-0,953	-0,882	0,650	-0,689	-0,048	-0,735	0,167
s8								1,000	-0,993	0,393	0,641	0,965	0,379	0,927	-1,000	-0,114	-0,736	0,992	-0,863
s9									1,000	-0,499	-0,546	-0,928	-0,267	-0,877	0,992	0,230	0,810	-0,970	0,917
s10										1,000	-0,454	0,139	-0,702	0,020	-0,382	-0,958	-0,912	0,272	-0,803
s11											1,000	0,819	0,953	0,882	-0,650	0,689	0,048	0,734	-0,167
s12												1,000	0,607	0,993	-0,968	0,150	-0,533	0,991	-0,702
s13													1,000	0,698	-0,389	0,876	0,348	0,494	0,140
s14														1,000	-0,931	0,267	-0,428	0,968	-0,612
s15															1,000	0,103	0,728	-0,993	0,858
s16																1,000	0,757	0,014	0,599
s17																	1,000	-0,643	0,977
s18																		1,000	-0,792
s19																			1,000

Pearson Correlations i
region 5 nuts2, region 7
REGIN2 og region 7 i
Selstad 7, 00-04

	s1	s2	s3	s4	s5	s6	s7	s8	s9	s10	s11	s12	s13	s14	s15	s16	s17	s18	s19
s1	1,000	-0,033	-0,454	0,298	0,836	-0,149	0,095	0,024	0,997	0,761	0,992	0,366	-0,316	-0,982	-0,012	0,718	0,863	0,286	-0,576
s2		1,000	-0,174	-0,500	-0,513	-0,950	0,239	-0,950	-0,031	-0,087	0,086	-0,269	-0,835	0,128	-0,995	0,025	-0,495	-0,747	0,831
s3			1,000	-0,755	-0,066	0,027	0,751	-0,104	-0,391	0,228	-0,429	-0,896	-0,069	0,286	0,272	0,270	-0,134	0,543	0,184
s4				1,000	0,279	0,633	-0,881	0,729	0,237	-0,271	0,196	0,968	0,671	-0,206	0,411	-0,379	0,326	-0,054	-0,642
s5					1,000	0,274	0,208	0,401	0,851	0,831	0,784	0,203	0,037	-0,909	0,496	0,753	0,998	0,753	-0,854
s6						1,000	-0,492	0,983	-0,170	-0,219	-0,274	0,419	0,965	0,097	0,930	-0,332	0,267	0,506	-0,713
s7							1,000	-0,530	0,165	0,681	0,171	-0,891	-0,649	-0,228	-0,156	0,751	0,157	0,439	0,227
s8								1,000	-0,001	-0,125	-0,105	0,533	0,930	-0,063	0,917	-0,247	0,402	0,516	-0,813
s9									1,000	0,805	0,993	0,300	-0,348	-0,991	-0,008	0,766	0,874	0,327	-0,566
s10										1,000	0,780	-0,283	-0,465	-0,859	0,110	0,992	0,812	0,658	-0,432
s11											1,000	0,287	-0,436	-0,971	-0,126	0,752	0,810	0,226	-0,471
s12												1,000	0,485	-0,238	0,171	-0,372	0,261	-0,253	-0,498
s13													1,000	0,300	0,808	-0,566	0,038	0,272	-0,543
s14														1,000	-0,098	-0,813	-0,924	-0,451	0,629
s15															1,000	0,004	0,471	0,786	-0,794
s16																1,000	0,732	0,593	-0,312
s17																	1,000	0,709	-0,859
s18																		1,000	-0,710
s19																			1,000

Pearson Correlations
Regin 2: region 1 95-99

	s1	s2	s3	s4	s5	s6	s7	s8	s9	s10	s11	s12	s13	s14	s15	s16	s17	s18	s19
s1	1	0,9882	0,7448	-0,9610	0,8282	-0,871	-0,946	-0,93	-0,8650	0,3692	-0,9990	0,9884	0,6497	-0,8320	0,9114	-0,689	-0,84	-0,9190	0,9965
s2		1	0,6336	-0,9920	0,9044	-0,936	-0,984	-0,975	-0,9320	0,2224	-0,98		10,7586	-0,7360	0,8376	-0,57	-0,747	-0,8480	0,9975
s3			1	-0,5310	0,2428	-0,322	-0,488	-0,447	-0,31	0,8952	-0,776	0,635	-0,023	-0,990,9534	-0,997	-0,988	-0,9480	0,6867	
s4				1	-0,9510	0,9731	0,99870	0,99530	0,9702	-0,0980	0,9466	-0,992	-0,8350	0,6456	-0,7620	0,46190	0,65720	0,7742	-0,981
s5					1	-0,997	-0,965	-0,976	-0,998	-0,215	-0,80	0,90360	0,9641	-0,3770	0,5243	-0,165	-0,392	-0,54	0,8719
s6						1	0,98340	0,99080	0,99990	0,13410	0,8468	-0,936	-0,9390	0,4521	-0,592	0,2450	0,46580	0,6074	-0,909
s7							1	0,99890	0,9812	-0,0480	0,9292	-0,984	-0,8610	0,6063	-0,7290	0,41670	0,61850	0,7414	-0,97
s8								1	0,9891	-0,0010	0,9111	-0,975	-0,8840	0,5688	-0,6960	0,37410	0,58140	0,7094	-0,957
s9									1	0,1460	0,8404	-0,931	-0,9430	0,4413	-0,5830	0,23330	0,45510	0,5978	-0,904
s10										1	-0,414	0,224	-0,467	-0,8230	0,7189	-0,928	-0,814	-0,7060	0,2907
s11											1	-0,98	-0,6120	0,8573	-0,930	0,72310	0,86510	0,9369	-0,991
s12												1	0,7575	-0,7380	0,8385	-0,571	-0,748	-0,8490	0,9976
s13													1	-0,1180	0,27940	0,1032	-0,133	-0,2970	0,7106
s14														1	-0,9860	0,97550	0,99990	0,9832	-0,782
s15															1	-0,926	-0,989	-10,8741	
s16																1	0,972	0,919	-0,626
s17																	1	0,9859	-0,792
s18																		1	-0,883
s19																			1

Pearson Correlations
Regin 2: region 1 00-04

	s1	s2	s3	s4	s5	s6	s7	s8	s9	s10	s11	s12	s13	s14	s15	s16	s17	s18	s19
s1	1	-0,741	-0,503	-0,666	-0,2690	0,6833	-0,3420	0,8751	-0,8170	0,8546	-0,6270	0,7138	0,9160	0,92630	0,1049	-0,573	-0,2920	0,7182	-0,132
s2		1	0,93610	0,9886	-0,311	-0,884	-0,356	-0,4170	0,2476	-0,5540	0,0988	-0,999	-0,41	-0,489	-0,1190	0,83630	0,1295	-0,9970	0,5124
s3			1	0,9306	-0,625	-0,912	-0,541	-0,08	-0,082	-0,435	-0,257	-0,945	-0,129	-0,268	-0,3090	0,69060	0,2332	-0,9570	0,4252
s4				1	-0,316	-0,817	-0,469	-0,3660	0,1749	-0,4250	0,0777	-0,993	-0,312	-0,373	-0,0030	0,8951	-0,0082	-0,979	0,631
s5					1	0,51880	0,6422	-0,6990	0,7548	-0,0220	0,91210	0,3359	-0,537	-0,3340	0,60430	0,0082	-0,3810	0,37880	0,0222
s6						1	0,1654	0,246	-0,1570	0,75290	0,13670	0,8778	0,4120	0,57760	0,5684	-0,484	-0,5680	0,9159	-0,077
s7							1	-0,5320	0,7123	-0,5210	0,57730	0,3937	-0,683	-0,641	-0,218	-0,4910	0,44570	0,3635	-0,702
s8								1	-0,9730	0,6172	-0,9260	0,38580	0,93160	0,8319	-0,266	-0,4740	0,02040	0,3635	-0,165
s9									1	-0,6510	0,9249	-0,211	-0,957	-0,8620	0,16340	0,25940	0,1021	-0,201	-0,053
s10										1	-0,320	0,52310	0,84240	0,94570	0,5842	-0,142	-0,7440	0,57150	0,3523
s11											1	-0,07	-0,78	-0,610	0,51920	0,3268	-0,272	-0,030	0,1758
s12												1	0,37330	0,45350	0,1098	-0,843	-0,110	0,9962	-0,533
s13													1	0,97180	0,0955	-0,266	-0,3430	0,38290	0,1457
s14														1	0,3134	-0,222	-0,5330	0,48050	0,2426
s15															1	0,4416	-0,9630	0,19520	0,7172
s16																1	-0,427	-0,7930	0,8759
s17																	1	-0,194	-0,776
s18																		1	-0,462
s19																			1

Pearson Correlations for
region 2 i Regin 2,Selstad
7 og 9, 95-99

	s1	s2	s3	s4	s5	s6	s7	s8	s9	s10	s11	s12	s13	s14	s15	s16	s17	s18	s19
s1	1,000	0,616	-0,169	0,045	0,526	0,660	-0,614	-0,973	0,870	-0,962	-0,870	-0,981	-0,615	-0,947	0,985	-0,950	-0,985	-0,999	0,964
s2		1,000	-0,880	0,814	0,994	0,998	-1,000	-0,782	0,925	-0,378	-0,148	-0,757	0,242	-0,329	0,743	-0,832	-0,470	-0,582	0,385
s3			1,000	-0,992	-0,927	-0,852	0,882	0,393	-0,634	-0,106	-0,339	0,357	-0,673	-0,158	-0,337	0,469	-0,004	0,127	0,099
s4				1,000	0,873	0,780	-0,816	-0,275	0,532	0,229	0,453	-0,238	0,760	0,280	0,217	-0,355	0,129	-0,002	-0,222
s5					1,000	0,986	-0,994	-0,709	0,877	-0,274	-0,038	-0,681	0,347	-0,224	0,665	-0,766	-0,371	-0,489	0,281
s6						1,000	-0,998	-0,816	0,945	-0,430	-0,203	-0,793	0,187	-0,382	0,780	-0,862	-0,519	-0,627	0,436
s7							1,000	0,780	-0,924	0,376	0,145	0,755	-0,245	0,327	-0,741	0,830	0,468	0,580	-0,382
s8								1,000	-0,960	0,873	0,732	0,999	0,416	0,846	-0,998	0,996	0,918	0,962	-0,876
s9									1,000	-0,702	-0,513	-0,949	-0,146	-0,664	0,942	-0,980	-0,771	-0,848	0,707
s10										1,000	0,971	0,891	0,807	0,999	-0,900	0,828	0,995	0,973	-1,000
s11											1,000	0,758	0,924	0,983	-0,772	0,672	0,942	0,890	-0,970
s12												1,000	0,451	0,866	-1,000	0,992	0,933	0,972	-0,894
s13													1,000	0,837	-0,469	0,337	0,742	0,648	-0,802
s14														1,000	-0,876	0,798	0,988	0,960	-0,998
s15															1,000	-0,990	-0,940	-0,977	0,904
s16																1,000	0,881	0,935	-0,832
s17																	1,000	0,991	-0,996
s18																		1,000	-0,975
s19																			1,000

Pearson Correlations for
region 2 i Regin 2,Selstad
7 og 9, 00-04

	s1	s2	s3	s4	s5	s6	s7	s8	s9	s10	s11	s12	s13	s14	s15	s16	s17	s18	s19
s1	1,000	0,987	0,630	0,528	0,316	-0,265	0,890	-0,475	0,906	0,987	0,999	-0,503	-0,487	-0,929	0,936	0,858	0,432	0,676	0,841
s2		1,000	0,544	0,414	0,465	-0,142	0,874	-0,405	0,830	1,000	0,986	-0,377	-0,364	-0,962	0,918	0,878	0,556	0,768	0,747
s3			1,000	0,315	-0,267	-0,899	0,293	-0,006	0,666	0,544	0,603	-0,947	-0,955	-0,304	0,390	0,738	0,147	0,374	0,885
s4				1,000	-0,443	-0,291	0,732	-0,934	0,820	0,414	0,552	-0,499	-0,455	-0,437	0,705	0,068	-0,521	-0,264	0,678
s5					1,000	0,631	0,267	0,207	-0,086	0,465	0,316	0,547	0,536	-0,565	0,273	0,446	0,885	0,793	-0,221
s6						1,000	0,028	-0,069	-0,438	-0,142	-0,238	0,959	0,968	-0,110	-0,055	-0,377	0,217	0,032	-0,713
s7							1,000	-0,791	0,885	0,874	0,909	-0,257	-0,222	-0,930	0,993	0,542	0,174	0,405	0,677
s8								1,000	-0,706	-0,405	-0,510	0,168	0,119	0,521	-0,733	0,043	0,439	0,236	-0,456
s9									1,000	0,830	0,912	-0,676	-0,647	-0,767	0,914	0,627	0,012	0,307	0,935
s10										1,000	0,986	-0,377	-0,364	-0,962	0,918	0,878	0,556	0,768	0,747
s11											1,000	-0,482	-0,464	-0,939	0,951	0,836	0,413	0,657	0,832
s12												1,000	0,999	0,151	-0,334	-0,505	0,177	-0,068	-0,880
s13													1,000	0,130	-0,302	-0,516	0,151	-0,086	-0,865
s14														1,000	-0,945	-0,737	-0,525	-0,706	-0,594
s15															1,000	0,630	0,232	0,473	0,739
s16																1,000	0,726	0,891	0,709
s17																	1,000	0,954	0,034
s18																		1,000	0,327
s19																			1,000

Pearson Correlations
Regin 2, region 3 sør-østlandet, 95-99

	s1	s2	s3	s4	s5	s6	s7	s8	s9	s10	s11	s12	s13	s14	s15	s16	s17	s18	s19
s1	1	0,971	-0,132	-0,993	-0,962	0,9998	0,6254	-0,923	0,2687	-1	-0,987	-0,98	-0,36	-0,916	0,9172	-0,614	-0,899	-0,837	0,9999
s2		1	0,1085	-0,992	-0,999	0,9663	0,7939	-0,805	0,4913	-0,971	-0,997	-0,905	-0,572	-0,985	0,9859	-0,785	-0,978	-0,943	0,9682
s3			1	0,015	-0,143	-0,151	0,6906	0,5028	0,9191	0,1323	-0,031	0,3251	-0,877	-0,276	0,2733	-0,701	-0,315	-0,432	-0,144
s4				1	0,9874	-0,991	-0,7130	0,8719	-0,38	0,9931	0,999	0,9505	0,4669	0,9569	-0,958	0,7022	0,9444	0,8953	-0,992
s5					1	-0,957	-0,815	0,7835	-0,521	0,9621	0,9936	0,8894	0,6008	0,9908	-0,991	0,8059	0,9845	0,9544	-0,959
s6						1	0,6105	-0,931	0,2504	-1	-0,983	-0,984	-0,342	-0,908	0,9095	-0,599	-0,891	-0,826	1
s7							1	-0,278	0,9197	-0,626	-0,744	-0,459	-0,953	-0,886	0,8845	-1	-0,904	-0,951	0,6166
s8								1	0,1216	0,9233	0,8486	0,9809	-0,026	0,6922	-0,694	0,2636	0,6623	0,5624	-0,928
s9									1	-0,269	-0,422	-0,074	-0,995	-0,632	0,6302	-0,925	-0,663	-0,752	0,2578
s10										1	0,9867	0,9804	0,3599	0,9163	-0,917	0,6139	0,8993	0,8368	-1
s11											1	0,9352	0,5069	0,9692	-0,97	0,7341	0,9584	0,9147	-0,985
s12												1	0,1689	0,8193	-0,821	0,4461	0,7954	0,7124	-0,983
s13													1	0,7035	-0,702	0,9575	0,7317	0,812	-0,349
s14														1	-1	0,8787	0,9992	0,9861	-0,912
s15															1	-0,877	-0,999	-0,986	0,9127
s16																1	0,8973	0,9459	-0,605
s17																	1	0,992	-0,894
s18																		1	-0,83
s19																			1

Pearson Correlations
Regin 2, region 3 sør-østlandet 00-04

	s1	s2	s3	s4	s5	s6	s7	s8	s9	s10	s11	s12	s13	s14	s15	s16	s17	s18	s19
s1	1	-0,957	0,816	0,4433	0,8161	-0,364	0,0835	0,7902	0,8864	-0,476	0,8216	0,0353	-0,845	-0,587	-0,034	0,8562	0,776	0,2498	0,8557
s2		1	-0,9	-0,339	-0,755	0,6067	0,1966	-0,922	-0,734	0,365	-0,643	0,1905	0,9502	0,3533	0,3213	-0,778	-0,604	-0,061	-0,945
s3			1	0,5861	0,3961	-0,554	-0,21	0,9689	0,6583	0,075	0,5829	-0,546	-0,978	-0,335	-0,465	0,437	0,2698	-0,353	0,7628
s4				1	-0,095	0,3277	0,5557	0,368	0,7121	0,3932	0,7496	-0,29	-0,415	-0,786	0,2201	0,0023	0,1408	-0,339	0,0144
s5					1	-0,369	-0,004	0,4673	0,623	-0,886	0,5541	0,4592	-0,521	-0,333	0,102	0,995	0,9097	0,6859	0,8183
s6						1	0,8976	-0,739	0,0947	0,1144	0,2179	0,5103	0,6853	-0,528	0,8836	-0,315	0,0378	0,26	-0,775
s7							1	-0,42	0,5201	-0,108	0,6211	0,568	0,3356	-0,841	0,9314	0,0713	0,4111	0,4021	-0,423
s8								1	0,5262	-0,016	0,4283	-0,554	-0,995	-0,133	-0,613	0,4845	0,2482	-0,32	0,8637
s9									1	-0,349	0,9921	0,1879	-0,608	-0,894	0,3483	0,6978	0,7812	0,2876	0,519
s10										1	-0,313	-0,777	0,0707	0,1994	-0,352	-0,86	-0,855	-0,925	-0,501
s11											1	0,2343	-0,514	-0,943	0,4456	0,6348	0,7605	0,2994	0,4085
s12												1	0,4859	-0,345	0,8153	0,4553	0,6575	0,9578	-0,131
s13													1	0,2247	0,5309	-0,545	-0,332	0,2525	-0,875
s14														1	-0,672	-0,423	-0,651	-0,314	-0,085
s15															1	0,1492	0,4813	0,658	-0,444
s16																1	0,9363	0,6734	0,8082
s17																	1	0,795	0,5684
s18																		1	0,1537
s19																			1

Pearson Correlations reg 1
i selstad 7 og 9 95-99

	s1	s2	s3	s4	s5	s6	s7	s8	s9	s10	s11	s12	s13	s14	s15	s16	s17	s18	s19														
s1		1 0,9848 0,7789 -0,944 0,7602 -0,805 -0,883 -0,984 -0,7890 0,2083	-1 0,9770 0,5702 -0,872 0,9123 -0,691 -0,904 -0,911 0,9944																														
s2			1 0,658 -0,987 0,8616 -0,896 -0,951	-1 -0,884 0,0351 -0,986 0,9992 0,7043 -0,773 0,8272 -0,555 -0,816 -0,825 0,9976																													
s3				1 -0,528 0,1847 -0,255 -0,394 -0,654	-0,23 0,7757 -0,773 0,6273 -0,071 -0,986 0,9674 -0,992 -0,972 -0,968 0,7081																												
s4					1 -0,932 0,9558 0,9886 0,9877 0,9478 0,1263 0,9471 -0,993 -0,809 0,6612 -0,726 0,4138 0,7118 0,7236 -0,974																												
s5						1 -0,997 -0,976 -0,864 -0,999 -0,477 -0,766 0,8813 0,9672 -0,345 0,4276 -0,056 -0,409 -0,424 0,8248																											
s6							1 0,9891 0,898 0,9997 0,4125 0,8107 -0,913 -0,946 0,4113 -0,492 0,1277 0,4738 0,4886 -0,863																										
s7								1 0,9529 0,985 0,2741 0,888 -0,963 -0,889 0,5408 -0,614 0,2721 0,598 0,6115 -0,928																									
s8									1 0,8863 -0,03 0,9856 -0,999 -0,708 0,7704 -0,825 0,5511 0,8129 0,8227 -0,997																								
s9										1 0,4359 0,7953 -0,902 -0,954 0,3876 -0,469 0,102 0,4508 0,4658 -0,85																							
s10											1 -0,199 -0,005 -0,685 -0,661 0,5905 -0,851 -0,607 -0,593 0,1035																						
s11												1 -0,979 -0,578 0,8671 -0,908 0,6842 0,8996 0,9069 -0,995																					
s12													1 0,7322 -0,747 0,8041 -0,521 -0,792 -0,802 0,9941																				
s13														1 -0,095 0,1838 0,1996 -0,164 -0,18 0,654																			
s14															1 -0,996 0,9566 0,9976 0,9963 -0,815																		
s15																1 -0,926 -1 -10,8638																	
s16																	1 0,934 0,9278 -0,611																
s17																		1 0,9999 -0,853															
s18																			1 -0,862														
s19																				1													

Pearson Correlations reg 1
i selstad 7 og 9 00-04

	s1	s2	s3	s4	s5	s6	s7	s8	s9	s10	s11	s12	s13	s14	s15	s16	s17	s18	s19																		
s1		1 0,9734 0,8936 0,9725 0,7647 0,2344 0,6516 -0,477 -0,334 -0,486 -0,055 -0,962 -0,497 -0,109 -0,530 0,9379 0,4106 0,2634 0,7899																																			
s2			1 0,8746 0,9905 0,846 0,0993 0,8075 -0,624 -0,197 -0,667 0,0652 -0,996 -0,675 -0,333 -0,638 0,8877 0,5412 0,1495 0,6749																																		
s3				1 0,9323 0,483 -0,158 0,6268 -0,199 -0,626 -0,545 -0,421 -0,904 -0,353 -0,152 -0,781 0,6883 0,6803 -0,153 0,4929																																	
s4					1 0,7669 0,0154 0,787 -0,526 -0,318 -0,662 -0,067 -0,997 -0,611 -0,306 -0,705 0,8475 0,6063 0,0552 0,6294																																
s5						1 0,3006 0,8034 -0,925 0,3472 -0,651 0,5867 -0,81 -0,862 -0,488 -0,332 0,8222 0,2744 0,3892 0,6355																															
s6							1 -0,323 -0,15 0,2059 0,5283 0,374 -0,01 0,162 0,5918 0,6984 0,5427 -0,783 0,9937 0,7773																														
s7								1 -0,8 0,1581 -0,972 0,3001 -0,829 -0,939 -0,825 -0,789 0,5067 0,7776 -0,235 0,1756																													
s8									1 -0,638 0,7083 -0,793 0,5924 0,945 0,6982 0,2644 -0,549 -0,262 -0,258 -0,339																												
s9										1 -0,158 0,9552 0,2413 -0,484 -0,463 0,3791 -0,126 -0,298 0,2887 -0,149																											
s10											1 -0,235 0,7063 0,8995 0,9103 0,8457 -0,294 -0,863 0,4436 0,0592																										
s11												1 -0,007 -0,609 -0,442 0,3191 0,1728 -0,276 0,4656 0,1344																									
s12													1 0,6738 0,3696 0,7061 -0,844 -0,614 -0,058 -0,613																								
s13														1 0,8626 0,5475 -0,453 -0,558 0,0555 -0,16																							
s14															1 0,6342 0,0318 -0,708 0,4978 0,3547																						
s15																1 -0,221 -0,989 0,6661 0,1001																					
s16																	1 0,0963 0,5763 0,936																				
s17																		1 -0,746 -0,235																			
s18																			1 0,7844																		
s19																				1																	

Pearson Correlations for
region 3 i Selstad 7 og 9,
95-99

	s1	s2	s3	s4	s5	s6	s7	s8	s9	s10	s11	s12	s13	s14	s15	s16	s17	s18	s19	
s1	1	0,8671	-0,209	-0,983	-0,826		10,6996	-0,918	0,564	-0,997	-0,951	-0,993	-0,299	-0,860	0,8741	-0,776	-0,533	-0,825	0,9946	
s2		1	0,3059	-0,944	-0,997	0,8668	0,9626	-0,598	0,9004	-0,824	-0,979	-0,804	-0,735		-1,09999	-0,987	-0,884	-0,997	0,8105	
s3			10,0264	-0,379	-0,21	0,5525	0,5797	0,6896	0,2881	-0,103	0,3203	-0,871	-0,319	0,2923	-0,454	-0,716	-0,38	-0,31		
s4				10,9152	-0,983	-0,819	0,8299	-0,706	0,9649	0,9916	0,9554	0,4689	0,939	-0,948	0,8785	0,6787	0,9147	-0,959		
s5					1	-0,826	-0,981	0,5347	-0,931	0,7773	0,9597	0,7555	0,7851	0,998	-0,996	0,9965	0,9171		1	-0,763
s6						10,6992	-0,918	0,5636	-0,997	-0,951	-0,993	-0,299	-0,860	0,8738	-0,776	-0,532	-0,825	0,9946		
s7							1	-0,359	0,9846	-0,639	-0,886	-0,613	-0,891	-0,966	0,9586	-0,994	-0,977	-0,981	0,6213	
s8								1	-0,19	0,9473	0,7505	0,9576	-0,104	0,5874	-0,610	0,4625	0,1535	0,5337	-0,954	
s9									1	-0,495	-0,792	-0,465	-0,957	-0,906	0,8941	-0,958	-0,999	-0,932	0,4749	
s10										1	0,9227	0,9994	0,2205	0,8157	-0,832	0,7222	0,462	0,7765		-1
s11											1	0,9091	0,5795	0,9757	-0,981	0,9331	0,7682	0,9594	-0,914	
s12												10,1874	0,7957	-0,8120	0,6984	0,4317	0,7547		-1	
s13													10,7441	-0,725	0,8339	0,9669	0,7858	-0,198		
s14														1	-1,09892	0,8899	0,9979	-0,802		
s15															1	-0,985	-0,877	-0,996	0,8187	
s16																10,9471	0,9966	-0,706		
s17																	10,9176	-0,442		
s18																		1	-0,762	
s19																			1	

Pearson Correlations for
region 3 i Selstad 7 og 9,
00-04-99

	s1	s2	s3	s4	s5	s6	s7	s8	s9	s10	s11	s12	s13	s14	s15	s16	s17	s18	s19	
s1	1	0,0942	0,7896	-0,222	0,5519	-0,268	0,5108	0,802	0,9142	-0,781	0,8597	0,0018	-0,792	-0,745	0,1751	0,6787	0,7118	0,5488	0,6998	
s2		1	0,2775	-0,989	0,1974	-0,973	-0,799	0,5235	-0,309	-0,544	-0,427	-0,623	-0,468	0,5943	-0,913	0,3738	0,0165	-0,055	0,7551	
s3			1	-0,336	-0,01	-0,321	0,1605	0,9524	0,6883	-0,477	0,5869	-0,578	-0,975	-0,461	-0,233	0,2145	0,1462	-0,068	0,7957	
s4				1	-0,319	0,9955	0,7067	-0,59	0,1883	0,6601	0,3066	0,5566	0,5302	-0,485	0,8483	-0,497	-0,155	-0,073	-0,817	
s5					1	-0,407	0,2556	0,1857	0,3792	-0,835	0,3827	0,5503	-0,113	-0,301	0,2176	0,9662	0,9606	0,968	0,3428	
s6						10,6564	-0,586	0,1453	0,719	0,2588	0,4804	0,5203	-0,438	0,7958	-0,576	-0,245	-0,167	-0,821		
s7							1	-0,02	0,7951	-0,046	0,8711	0,6266	-0,012	-0,947	0,9215	0,1612	0,4904	0,4702	-0,253	
s8								10,5867	-0,679	0,4681	-0,587	-0,996	-0,303	-0,403	0,423	0,2728	0,0663	0,9419		
s9									1	-0,493	0,9902	0,186	-0,605	-0,947	0,5049	0,4424	0,6134	0,4761	0,3794	
s10										1	-0,422	-0,024	0,6159	0,2602	0,1763	-0,949	-0,818	-0,717	-0,802	
s11											10,3043	-0,489	-0,981	0,6203	0,4107	0,6231	0,5088	0,2521		
s12												10,6088	-0,407	0,8286	0,3256	0,5797	0,7147	-0,569		
s13													10,3328	0,3762	-0,351	-0,218	-0,007	-0,91		
s14														1	-0,749	-0,288	-0,553	-0,467	-0,062	
s15															10,0368	0,3915	0,4555	-0,579		
s16																10,9333	0,8908	0,5734		
s17																	10,9769	0,3397		
s18																		10,1642		
s19																			1	

Pearson Correlations for
reg 4 i Selstad 7 og 9, 95-
99

	s1	s2	s3	s4	s5	s6	s7	s8	s9	s10	s11	s12	s13	s14	s15	s16	s17	s18	s19									
s1	1 -0,424 -0,045 0,993 2 0,314 3 -0,974 0,449 1 -0,988 0,968 6 0,985 3 -0,908 -0,71 -0,314 -0,709 -0,321 0,921 2 -0,012 -0,616 -0,23																											
s2		1 -0,886 -0,315 -0,993 0,618 2 0,619 1 0,560 4 -0,185 -0,262 0,005 5 0,938 6 -0,727 -0,338 0,993 8 -0,743 -0,901 -0,453 -0,784																										
s3			1 -0,161 0,934 2 -0,183 -0,913 -0,112 -0,292 -0,215 0,459 2 -0,671 0,962 5 0,736 -0,932 0,347 3 0,999 4 0,814 7 0,982 5																									
s4				1 0,201 6 -0,941 0,550 2 -0,963 0,991 0,998 5 -0,951 -0,623 -0,423 -0,787 -0,208 0,869 5 -0,128 -0,704 -0,342																								
s5					1 -0,522 -0,707 -0,459 0,068 6 0,147 4 0,112 -0,892 0,802 4 0,446 -1 0,659 0,945 5 0,554 1 0,851 3																							
s6						1 -0,235 0,997 4 -0,887 -0,921 0,789 4 0,851 4 0,090 7 0,531 0,527 3 -0,985 -0,215 0,421 2 0,003 6																						
s7							1 -0,304 0,657 1 0,595 3 -0,782 0,31 -0,989 -0,948 0,702 3 0,066 -0,899 -0,98 -0,973																					
s8								1 -0,918 -0,946 0,831 3 0,811 8 0,161 6 0,590 2 0,465 2 -0,971 -0,145 0,484 9 0,075																				
s9									1 0,996 9 -0,984 -0,513 -0,54 -0,862 -0,075 0,795 6 -0,26 -0,792 -0,465																			
s10										1 -0,966 -0,579 -0,472 -0,82 -0,154 0,841 -0,183 -0,742 -0,393																		
s11											1 0,350 2 0,682 9 0,939 3 -0,105 -0,674 0,429 3 0,889 2 0,616 7																	
s12												1 -0,445 0,007 7 0,894 6 -0,928 -0,696 -0,117 -0,521																
s13													1 0,892 -0,798 0,079 9 0,953 0,941 4 0,996 2															
s14														1 -0,44 -0,379 0,713 0,992 2 0,849 3														
s15															1 -0,664 -0,943 -0,549 -0,848													
s16																1 0,378 3 -0,261 0,166 4												
s17																	1 0,794 9 0,975 7											
s18																		1 0,908 5										
s19																			1									

Pearson Correlations for
reg 4 i Selstad 7 og 9, 00-
04

	s1	s2	s3	s4	s5	s6	s7	s8	s9	s10	s11	s12	s13	s14	s15	s16	s17	s18	s19															
s1	1 0,029 3 -0,936 0,497 2 0,933 5 -0,623 0,803 2 0,439 9 0,856 7 0,335 6 0,723 9 0,307 -0,177 -0,438 0,905 4 0,659 7 0,749 6 -0,502 -0,69																																	
s2		1 -0,086 0,487 2 -0,235 -0,098 0,569 3 -0,353 0,209 5 0,270 1 0,324 4 -0,586 -0,913 -0,683 0,450 5 -0,609 -0,616 -0,089 -0,471																																
s3			1 -0,24 -0,773 0,858 2 -0,701 -0,675 -0,645 -0,015 -0,911 -0,51 0,086 5 0,241 3 -0,865 -0,437 -0,603 0,773 5 0,475 5																															
s4				1 0,517 6 0,218 8 0,830 9 -0,551 0,863 6 0,948 6 0,052 6 -0,669 -0,793 -0,97 0,664 9 0,330 6 0,199 6 0,342 2 -0,968																														
s5					1 -0,37 0,664 5 0,306 7 0,868 9 0,465 9 0,444 8 0,261 6 -0,019 -0,379 0,738 5 0,881 6 0,910 5 -0,238 -0,664																													
s6						1 -0,358 -0,883 -0,173 0,474 8 -0,957 -0,722 -0,113 -0,139 -0,582 -0,04 -0,279 0,989 1 0,025 4																												
s7							1 -0,042 0,903 6 0,627 4 0,599 4 -0,255 -0,728 -0,861 0,963 4 0,284 9 0,295 9 -0,238 -0,935																											
s8								1 -0,086 -0,69 0,715 3 0,962 0,566 5 0,543 7 0,226 8 0,182 8 0,418 8 -0,9 0,325 7																										
s9									1 0,771 6 0,377 7 -0,204 -0,502 -0,787 0,863 3 0,647 7 0,609 6 -0,028 -0,947																									
s10										1 -0,239 -0,724 -0,639 -0,863 0,432 0,430 7 0,245 3 0,592 4 -0,861																								
s11											1 0,501 8 -0,168 -0,15 0,772 0,031 7 0,239 8 -0,92 -0,286																							
s12												1 0,768 4 0,709 2 0,010 9 0,270 7 0,478 7 -0,749 0,476 8																						
s13													1 0,913 7 -0,552 0,297 8 0,379 9 -0,171 0,746 3																					
s14														1 -0,693 -0,114 -0,006 -0,246 0,943 5																				
s15															1 0,338 8 0,411 6 -0,469 -0,827																			
s16																1 0,968 2 0,071 2 -0,405																		
s17																	1 -0,176 -0,33																	
s18																		1 -0,108																
s19																			1															

Pearson Correlations for
region 5 i Selstad 7, 95-99

	s1	s2	s3	s4	s5	s6	s7	s8	s9	s10	s11	s12	s13	s14	s15	s16	s17	s18	s19									
s1	1 -0,977 -0,725 0,3639 0,9661 0,7967 -0,599 -0,146 -0,395 0,5998 0,9469 0,1289 0,9943 0,6361 -0,247 0,2437 0,8938 0,9449 -0,004																											
s2		1 0,562 -0,157 -0,999 -0,649 0,414 0,3533 0,1898 -0,757 -0,857 0,0855 -0,949 -0,457 0,0351 -0,445 -0,969 -0,853 0,2167																										
s3			1 -0,905 -0,523 -0,994 0,9856 -0,575 0,9188 0,1157 -0,908 -0,776 -0,795 -0,993 0,8463 0,4907 -0,34 -0,911 -0,686																									
s4				1 0,1111 0,8529 -0,964 0,8684 -0,999 -0,527 0,644 0,9706 0,4614 0,9502 -0,993 -0,815 -0,092 0,6488 0,9301																								
s5					1 0,6136 -0,371 -0,396 -0,144 0,7861 0,8318 -0,132 0,933 0,4153 0,0113 0,4859 0,9793 0,8283 -0,262																							
s6						1 -0,961 0,4818 -0,87 -0,006 0,9487 0,7021 0,8567 0,9731 -0,783 -0,392 0,441 0,9507 0,6015																						
s7							1 -0,705 0,9723 0,282 -0,824 -0,872 -0,681 -0,999 0,9243 0,6311 -0,176 -0,828 -0,799																					
s8								1 -0,851 -0,879 0,18 0,9623 -0,039 0,6706 -0,923 -0,995 -0,574 0,1862 0,9898																				
s9									1 0,4984 -0,669 -0,962 -0,491 -0,96 0,9879 0,7948 0,0592 -0,674 -0,917																			
s10										1 0,3107 -0,716 0,5108 -0,236 0,627 0,9222 0,8949 0,3047 -0,802																		
s11											1 0,4408 0,9759 0,8504 -0,546 -0,081 0,7022 1 0,318																	
s12												1 0,2341 0,8472 -0,993 -0,93 -0,329 0,4465 0,9912																
s13													1 0,7149 -0,349 0,1387 0,8408 0,9745 0,1033															
s14														1 -0,905 -0,593 0,2225 0,8537 0,7693														
s15															1 0,8794 0,2135 -0,551 -0,968													
s16																1 0,6528 -0,087 -0,971												
s17																	1 0,6977 -0,452											
s18																		1 0,324										
s19																			1									

Pearson Correlations for
region 5 i Selstad 7, 00-04

	s1	s2	s3	s4	s5	s6	s7	s8	s9	s10	s11	s12	s13	s14	s15	s16	s17	s18	s19														
s1	1 0,1875 0,1997 0,1875 0,0973 -0,255 0,1522 -0,061 0,3748 -0,285 0,3461 0,2149 0,9897 -0,875 0,5795 0,1085 0,1187 0,2065 -0,288																																
s2		1 -0,908 -0,808 0,963 0,7284 0,8868 -0,911 0,9758 0,8363 0,9854 -0,916 0,2492 -0,636 -0,603 0,9889 0,7191 0,9978 0,8774																															
s3			1 0,9511 -0,953 -0,71 -0,895 0,7979 -0,831 -0,872 -0,825 0,9667 0,112 0,2995 0,8811 -0,951 -0,786 -0,91 -0,995																														
s4				1 -0,93 -0,461 -0,942 0,5867 -0,768 -0,682 -0,719 0,8407 0,069 0,2799 0,9088 -0,887 -0,918 -0,83 -0,932																													
s5					1 0,5926 0,9734 -0,786 0,9483 0,7633 0,9237 -0,896 0,1913 -0,564 -0,736 0,9913 0,8717 0,9755 0,918																												
s6						1 0,3941 -0,929 0,5781 0,9631 0,6771 -0,866 -0,272 -0,12 -0,512 0,6809 0,1431 0,6832 0,7485																											
s7							1 -0,627 0,908 0,6032 0,851 -0,783 0,2663 -0,583 -0,717 0,9365 0,9589 0,9141 0,8461																										
s8								1 -0,828 -0,937 -0,897 0,9089 -0,069 0,4667 0,4806 -0,86 -0,382 -0,882 -0,799																									
s9									1 0,6974 0,9893 -0,81 0,4433 -0,777 -0,487 0,9621 0,7668 0,9837 0,7792																								
s10										1 0,7642 -0,967 -0,263 -0,165 -0,704 0,8225 0,391 0,8055 0,8993																							
s11											1 -0,841 0,3976 -0,75 -0,462 0,956 0,6751 0,9836 0,783																						
s12												1 0,1592 0,2745 0,8017 -0,927 -0,613 -0,902 -0,975																					
s13													1 -0,905 0,4789 0,1875 0,2522 0,2758 -0,207																				
s14														1 -0,135 -0,577 -0,49 -0,654 -0,212																			
s15															1 -0,699 -0,705 -0,611 -0,904																		
s16																1 0,8003 0,9932 0,9205																	
s17																	1 0,7617 0,731																
s18																		1 0,8748															
s19																			1														

Pearson Correlations for
region 5 i Selstad 9, 95-99

	s1	s2	s3	s4	s5	s6	s7	s8	s9	s10	s11	s12	s13	s14	s15	s16	s17	s18	s19										
s1	1 -0,49 -0,652 0,178 0,929 0,424 0,647 0,459 -0,461 0,422 0,989 0,024 0,974 0,527 0,128 0,294 0,994 0,996 -0,637																												
s2		1 -0,341 0,770 0,134 0,581 0,982 0,999 -0,548 -0,997 -0,356 0,859 0,283 0,482 0,802 -0,977 -0,395 -0,465 -0,361																											
s3			1 -0,862 -0,886 -0,963 0,155 0,374 0,973 0,411 0,757 -0,774 -0,805 -0,988 0,834 0,532 0,729 -0,674 0,999																										
s4				1 0,528 0,966 0,634 0,792 -0,956 -0,817 0,321 0,988 0,393 0,93 -0,999 -0,888 0,281 0,206 0,872																									
s5					1 0,727 0,321 0,279 0,321 0,755 0,058 0,973 0,391 0,988 0,803 0,484 -0,078 0,963 0,939 0,876																								
s6						1 -0,416 0,609 0,999 -0,642 0,552 0,915 0,615 0,993 0,952 -0,741 0,517 0,449 0,968																							
s7							1 -0,974 0,378 0,964 0,528 0,746 0,461 0,306 0,673 0,919 0,563 0,625 0,175																						
s8								1 -0,577 -0,999 -0,324 0,876 0,25 0,512 0,822 -0,984 -0,362 -0,434 -0,393																					
s9									1 0,610 0,586 -0,899 -0,647 -0,997 0,939 0,712 0,552 -0,486 0,977																				
s10										1 0,284 0,896 0,209 0,547 0,845 0,990 0,70,323 0,396 0,430																			
s11											1 0,171 0,997 0,646 0,272 0,150 0,999 0,992 0,743																		
s12												1 0,246 0,862 0,995 -0,948 0,130 0,053 0,787																	
s13													1 0,703 0,345 0,074 0,993 0,980 0,792																
s14														1 -0,91 -0,656 0,614 0,551 0,991															
s15															1 0,910 0,232 -0,156 0,846														
s16																1 0,191 0,267 0,549													
s17																	1 0,997 -0,715												
s18																		1 -0,658											
s19																			1										

Pearson Correlations for
region 5 i Selstad 9, 00-04

	s1	s2	s3	s4	s5	s6	s7	s8	s9	s10	s11	s12	s13	s14	s15	s16	s17	s18	s19															
s1	1 0,759 0,436 -0,522 0,982 -0,141 0,811 0,677 0,691 0,755 0,141 0,279 -0,9 -0,155 -0,921 -0,136 0,757 0,791 0,317 0,915																																	
s2		1 -0,245 0,058 0,702 0,047 0,731 -0,798 0,991 0,996 0,747 -0,768 0,461 0,894 0,531 0,692 0,741 0,664 0,612																																
s3			1 -0,925 0,459 0,426 0,286 0,186 -0,32 -0,26 -0,828 -0,209 -0,786 -0,177 -0,951 0,272 0,245 0,328 0,451																															
s4				1 -0,474 0,710 0,573 -0,241 0,097 0,098 0,669 0,174 0,491 0,393 0,837 0,577 -0,542 -0,048 -0,381																														
s5					1 0,014 0,687 0,740 0,615 0,711 0,092 0,948 -0,287 -0,84 -0,169 0,622 0,662 0,70,146 0,974																													
s6						1 -0,608 -0,578 -0,01 0,123 0,325 0,304 -0,180 0,298 0,417 0,667 -0,61 -0,552 0,206																												
s7							1 -0,296 0,735 0,683 0,223 0,521 0,271 0,939 -0,034 0,996 0,998 0,756 0,508																											
s8								1 -0,73 -0,841 -0,593 0,913 0,028 0,605 0,436 -0,219 -0,291 -0,089 -0,79																										
s9									1 0,982 0,792 -0,68 0,567 0,873 0,590 0,706 0,751 0,745 0,508																									
s10										1 0,755 0,797 0,428 -0,871 0,545 0,639 0,693 0,609 0,638																								
s11											1 -0,304 0,802 0,395 0,959 0,210 0,257 0,605 0,047																							
s12												1 0,201 0,763 0,078 -0,444 -0,503 -0,084 -0,966																						
s13													1 -0,231 0,814 0,312 0,315 0,826 0,419																					
s14														1 -0,123 -0,908 -0,936 -0,659 -0,71																				
s15															1 -0,037 0,003 0,472 0,183																			
s16																1 0,997 0,789 0,432																		
s17																	1 0,785 0,479																	
s18																		1 -0,056																
s19																			1															

Pearson Correlations for
region 6 i Selstad 9, 95-99

	s1	s2	s3	s4	s5	s6	s7	s8	s9	s10	s11	s12	s13	s14	s15	s16	s17	s18	s19									
s1	1 -0,931 -0,841 0,5743 -0,342 0,6468 -0,972 0,3902 -0,159 0,7219 0,741 0,2372 0,9806 0,8548 -0,558 0,1358 0,6023 0,8602 0,3523																											
s2		1 0,9806 -0,834 0,6615 -0,323 0,9904 -0,70,5089 -0,419 -0,935 -0,576 -0,841 -0,985 0,8225 0,2356 -0,269 -0,987 -0,67																										
s3			1 -0,926 0,7956 -0,132 0,9441 -0,826 0,6677 -0,233 -0,986 -0,725 -0,719 -1 0,918 0,4215 -0,075 -0,999 -0,802																									
s4				1 -0,966 -0,253 -0,749 0,9778 -0,9 -0,152 0,9753 0,9315 0,4025 0,9157 -1 -0,733 -0,308 0,9115 0,9685																								
s5					1 0,4958 0,5513 -0,999 0,9822 0,4036 -0,884 -0,994 -0,151 -0,78 0,9706 0,8847 0,5444 -0,773 -1																							
s6						1 -0,451 -0,45 0,65 0,9947 -0,033 -0,587 0,7838 0,1571 0,2723 0,8435 0,9984 0,1673 -0,486																						
s7							1 -0,594 0,3849 -0,541 -0,877 -0,457 -0,908 -0,952 0,7358 0,0989 -0,4 -0,955 -0,561																					
s8								1 -0,971 -0,355 0,9074 0,987 0,2019 0,8113 -0,982 -0,859 -0,50,8052 0,9992																				
s9									1 0,5682 -0,781 -0,997 0,0376 -0,648 0,9082 0,9565 0,6922 -0,64 -0,98																			
s10										1 0,0703 -0,501 0,8437 0,2581 0,1717 0,7836 0,9872 0,2681 -0,393																		
s11											1 0,8281 0,5949 0,9819 -0,971 -0,565 -0,09 0,9799 0,8895																	
s12												1 0,0421 0,7069 -0,939 -0,93 -0,633 0,6995 0,9927																
s13													1 0,7364 -0,384 0,3275 0,7472 0,7434 0,1618															
s14														1 -0,907 -0,398 0,1006 0,9999 0,7868														
s15															1 0,7466 0,3266 -0,903 -0,973													
s16																1 0,8727 -0,388 -0,879												
s17																	1 0,111 -0,535											
s18																		1 0,7804										
s19																			1									

Pearson Correlations for
region 6 i Selstad 9, 00-04

	s1	s2	s3	s4	s5	s6	s7	s8	s9	s10	s11	s12	s13	s14	s15	s16	s17	s18	s19																		
s1	1 0,6597 -0,034 -0,538 0,8287 0,161 0,894 -0,228 0,9439 -0,941 0,9316 0,3318 -0,617 -0,853 0,3122 0,373 0,3909 0,477 -0,467																																				
s2		1 -0,725 -0,952 0,695 0,5807 0,2592 -0,641 0,5495 -0,65 0,7591 0,5531 -0,369 -0,955 0,4268 0,5138 -0,19 0,6967 -0,652																																			
s3			1 0,6614 -0,027 -0,864 0,35 0,8737 -0,053 -0,051 -0,321 -0,132 0,2518 0,5134 0,0352 -0,649 0,792 -0,745 0,1753																																		
s4				1 -0,75 -0,375 -0,107 0,4386 -0,341 0,6313 -0,567 -0,766 0,0711 0,8756 -0,655 -0,243 0,0659 -0,459 0,8275																																	
s5					1 -0,139 0,6086 0,0604 0,5976 -0,983 0,6484 0,7985 -0,09 -0,814 0,7899 -0,069 0,5742 0,1201 -0,873																																
s6						1 -0,068 -0,997 0,33 0,0779 0,5054 -0,297 -0,663 -0,461 -0,45 0,9349 -0,845 0,9416 0,2099																															
s7							1 0,0202 0,9139 -0,795 0,775 0,029 -0,642 -0,533 0,0717 0,2511 0,5504 0,2651 -0,15																														
s8								1 -0,38 -0,002 -0,561 0,2351 0,675 0,5295 0,3896 -0,937 0,8064 -0,959 -0,141																													
s9									1 -0,779 0,958 0,0072 -0,836 -0,752 -0,019 0,5879 0,2053 0,6271 -0,157																												
s10										1 -0,781 -0,608 0,3163 0,8262 -0,608 -0,078 -0,58 -0,229 0,7107																											
s11											1 0,138 -0,808 -0,893 0,0688 0,6802 0,0332 0,7633 -0,289																										
s12												1 0,4708 -0,522 0,9859 -0,431 0,449 -0,212 -0,988																									
s13													1 0,4941 0,5313 -0,885 0,2795 -0,832 -0,329																								
s14														1 -0,427 -0,497 -0,029 -0,666 0,6429																							
s15															1 -0,553 0,5813 -0,349 -0,964																						
s16																1 -0,668 0,9733 0,3112																					
s17																	1 -0,619 -0,441																				
s18																		1 0,0873																			
s19																			1																		

Pearson Correlations for
region 9 i Selstad 9, 95-99

	s1	s2	s3	s4	s5	s6	s7	s8	s9	s10	s11	s12	s13	s14	s15	s16	s17	s18	s19										
s1		1 0,7083 -0,998 0,9848 -0,624 -0,863 -0,774 0,9998 -0,982 -0,612 0,4591 0,9867 0,4509 0,9981 -0,998 0,0563 0,9841 0,9988 -0,389																											
s2			1 -0,755 0,8202 -0,994 -0,968 -0,101 0,7229 -0,828 0,1247 -0,302 0,8135 -0,311 0,6639 -0,756 -0,665 0,571 0,6731 -0,926																										
s3				1 -0,994 0,6755 0,8951 0,7289 -0,999 0,9928 0,5571 -0,398 -0,995 -0,389 -0,992 1 0,0114 -0,97 -0,993 0,4508																									
s4					1 -0,75 -0,938 -0,652 0,9882 -1 -0,465 0,2978 0,9999 0,289 0,9723 -0,995 -0,118 0,9383 0,9752 -0,544																								
s5						1 0,9334 -0,012 -0,64 0,7588 -0,236 0,4076 -0,743 0,416 -0,575 0,6777 0,745 -0,475 -0,585 0,9627																							
s6							1 0,3473 -0,873 0,942 0,1284 0,0528 -0,933 0,062 -0,83 0,8964 0,456 -0,759 -0,837 0,8015																						
s7								1 -0,76 0,641 0,9746 -0,918 -0,661 -0,914 -0,811 0,7269 -0,676 -0,874 -0,804 -0,282																					
s8									1 -0,986 -0,595 0,4405 0,9899 0,4322 0,9966 -0,999 0,0354 0,9802 0,9976 -0,409																				
s9										1 0,4538 -0,285 -1 -0,277 -0,969 0,9932 0,1309 -0,934 -0,972 0,5543																			
s10											1 -0,984 -0,476 -0,982 -0,659 0,5546 -0,824 -0,743 -0,65 -0,49																		
s11												1 0,3089 1 0,5126 -0,395 0,9128 0,6097 0,5018 0,6395																	
s12													1 0,3001 0,975 -0,996 -0,106 0,9422 0,9777 -0,534																
s13														1 0,5046 -0,387 0,9165 0,6023 0,4938 0,6466															
s14															1 -0,991 0,1172 0,9931 0,9999 -0,332														
s15																1 0,0144 -0,969 -0,993 0,4535													
s16																	1 0,2328 0,1049 0,8977												
s17																		1 0,9916 -0,22											
s18																			1 -0,344										
s19																				1									

Pearson Correlations for
region 9 i Selstad 9, 00-04

	s1	s2	s3	s4	s5	s6	s7	s8	s9	s10	s11	s12	s13	s14	s15	s16	s17	s18	s19										
s1	-	0,4989 0,0431 0,1112 0,571 0,3373 0,4369 0,0133 0,1194 0,5807 0,6963 0,1038 0,7022 0,0389 0,045 0,9641 0,1137 0,031 0,7454																											
s2		-	0,4558 0,3877 0,0721 0,1616 0,9358 0,4856 0,3795 0,9204 0,8048 0,3951 0,7989 0,5378 0,4539 0,537 0,6126 0,5299 0,2465																										
s3			-	0,068 0,5278 0,2942 0,48 0,0298 0,0763 0,6239 0,7395 0,0607 0,7453 0,0821 0,0019 0,9927 0,1568 0,0741 0,7022																									
s4				-	0,4598 0,2261 0,5481 0,0979 0,0082 0,6919 0,8075 0,0074 0,8134 0,1501 0,0662 0,9247 0,2249 0,1422 0,6342																								
s5					-	0,2337 0,9921 0,5577 0,4515 0,8483 0,7327 0,4672 0,7268 0,6099 0,526 0,4649 0,6847 0,602 0,1744																							
s6						-	0,7742 0,324 0,2179 0,918 0,9664 0,2335 0,9605 0,3762 0,2923 0,6986 0,451 0,3683 0,4081																						
s7							-	0,4502 0,5563 0,1438 0,2594 0,5407 0,2653 0,398 0,4819 0,5272 0,3232 0,4059 0,8177																					
s8								-	0,1061 0,594 0,7096 0,0905 0,7155 0,0522 0,0317 0,9774 0,127 0,0443 0,7321																				
s9									-	0,7002 0,8157 0,0156 0,8216 0,1584 0,0744 0,9164 0,2331 0,1504 0,6259																			
s10										-	0,1156 0,6845 0,1215 0,5418 0,6257 0,3834 0,467 0,5497 0,6739																		
s11											-	0,8001 0,0059 0,6574 0,7413 0,2678 0,5826 0,6653 0,5583																	
s12												-	0,806 0,1427 0,0588 0,9321 0,2175 0,1348 0,6416																
s13													-	0,6633 0,7472 0,2619 0,5885 0,6712 0,5524															
s14														-	0,0839 0,9252 0,0748 0,0079 0,7843														
s15															-	0,9909 0,1587 0,076 0,7004													
s16																-	0,8504 0,9331 0,2905												
s17																	-	0,0827 0,8591											
s18																		-	0,7764										
s19																			-										

Pearson Correlations

	s1	s2	s3	s4	s5	s6	s7	s8	s9	s10	s11	s12	s13	s14	s15	s16	s17	s18	s19
s1	1	0,0056	-0,396	-0,560	0,6939	0,3344	-0,1720	0,7628	0,9877	0,4696	0,9818	-0,293	-0,075	-0,994	-0,4670	0,7871	0,7489	0,0384	-0,999
s2		1	-0,066	-0,829	-0,6120	0,2744	0,3805	-0,482	-0,1110	0,0997	-0,181	-0,28	-0,9130	0,0839	-0,6540	0,1817	-0,595	-0,567	-5E-04
s3			1	0,3392	0,1066	-0,9760	0,8757	-0,662	-0,2890	0,6115	-0,411	-0,704	-0,2810	0,4447	0,7750	0,2179	-0,5180	0,7747	0,3643
s4				1	0,1458	-0,476	-0,154	-0,056	-0,449	-0,281	-0,399	0,330	0,7665	0,4874	0,8408	-0,546	0,0550	0,5046	0,5532
s5					1	-0,273	-0,0150	0,6692	0,7960	0,5938	0,7821	-0,3730	0,3597	-0,7220	0,3006	0,6576	0,7827	0,6831	-0,709
s6						1	-0,7730	0,5073	0,2051	-0,6080	0,3107	0,6510	0,0896	-0,364	-0,874	-0,2210	0,3427	-0,884	-0,302
s7							1	-0,704	-0,121	0,753	-0,274	-0,886	-0,7010	0,2616	0,3759	0,4685	-0,6150	0,5241	0,1432
s8								1	0,7662	-0,0630	0,8551	0,3019	0,5584	-0,828	-0,2950	0,2622	0,9833	-0,046	-0,75
s9									1	0,5432	0,9878	-0,352	-0,009	-0,986	-0,3230	0,8178	0,7805	0,1892	-0,991
s10										1	0,4107	-0,967	-0,477	-0,4040	0,2431	0,9053	0,0449	0,6849	-0,499
s11											1	-0,2020	0,1115	-0,995	-0,3590	0,7181	0,8572	0,113	-0,981
s12												1	0,6443	0,2101	-0,229	-0,8210	0,2064	-0,605	0,323
s13													1	-0,0320	0,3876	-0,4580	0,6048	0,1835	0,0836
s14														1	0,4427	-0,73	-0,816	-0,0380	0,9918
s15															1	-0,1290	-0,1290	0,8439	0,4426
s16																1	0,3159	0,4157	-0,806
s17																	1	0,1355	-0,742
s18																		1	-0,069
s19																			1

Pearson Correlations Østfold 00-04

	s1	s2	s3	s4	s5	s6	s7	s8	s9	s10	s11	s12	s13	s14	s15	s16	s17	s18	s19
s1	1	-0,705	-0,037	-0,314	0,801	0,171	-0,348	0,4280	0,8555	0,8074	0,8756	0,5288	-0,732	-0,676	-0,0460	0,7548	0,3077	0,3528	-0,135
s2		1	-0,6810	0,1638	-0,9020	0,3928	0,9101	-0,893	-0,269	-0,542	-0,399	-0,2160	0,9674	0,0822	0,6493	-0,080	0,4563	0,0249	0,4506
s3			1	0,0474	0,4274	-0,697	-0,9220	0,7997	-0,513	-0,097	-0,358	-0,201	-0,5960	0,6035	-0,843	-0,658	-0,957	-0,358	-0,455
s4				1	0,1314	-0,7440	0,0209	0,2632	-0,1060	0,3004	0,0518	-0,959	-0,052	-0,201	-0,521	-0,432	-0,227	-0,948	-0,807
s5					1	-0,45	-0,7290	0,8661	0,5380	0,8424	0,6899	0,0203	-0,977	-0,453	-0,6290	0,2461	-0,226	-0,211	-0,657
s6						1	0,6279	-0,7640	0,3463	-0,2270	0,1248	0,7979	0,4985	-0,1950	0,9501	0,6924	0,7784	0,9094	0,9112
s7							1	-0,935	0,142	-0,252	-0,0210	0,0335	0,8546	-0,280	0,8378	0,3374	0,7838	0,2501	0,5282
s8								1	0,0465	0,5184	0,2472	-0,244	-0,9290	0,0059	-0,916	-0,262	-0,68	-0,468	-0,774
s9									1	0,8342	0,9737	0,3825	-0,377	-0,9430	0,2669	0,9150	0,6997	0,3031	-0,06
s10										1	0,9378	-0,047	-0,71	-0,852	-0,2930	0,5452	0,252	-0,202	-0,592
s11											1	0,2265	-0,535	-0,9430	0,0454	0,8016	0,5413	0,1113	-0,281
s12												1	-0,047	-0,0830	0,5701	0,6641	0,4190	0,9703	0,7399
s13													1	0,2583	0,7071	-0,1090	0,3931	0,1951	0,6259
s14														1	-0,215	-0,792	-0,709	-0,0410	0,2254
s15															1	0,5946	0,8399	0,7381	0,8623
s16																1	0,8471	0,6417	0,3479
s17																	1	0,5237	0,4836
s18																		1	0,8745
s19																			1

Pearson Correlations
Østfold 95-99

	s1	s2	s3	s4	s5	s6	s7	s8	s9	s10	s11	s12	s13	s14	s15	s16	s17	s18	s19
s1	1	0,6799	0,8425	-0,995	-0,194	0,5788	0,9353	-0,291	0,9079	-0,998	-0,427	-0,151	-0,99	-0,669	0,6118	-1	-0,102	-0,919	0,7651
s2		1	0,1778	-0,602	-0,851	0,9915	0,3764	-0,899	0,31	-0,721	-0,953	-0,827	-0,57	-1	0,996	-0,672	-0,799	-0,913	0,9924
s3			1	-0,893	0,3654	0,0484	0,9786	0,2702	0,9907	-0,81	0,1276	0,4056	-0,91	-0,163	0,0892	-0,848	0,45	-0,563	0,2977
s4				1	0,0932	-0,493	-0,966	0,1926	-0,946	0,9873	0,333	0,0498	0,9992	0,5903	-0,528	0,9959	0,0007	0,8749	-0,696
s5					1	-0,912	0,1662	0,9949	0,2355	0,2501	0,9698	0,9991	0,0531	0,8587	-0,895	0,1832	0,9957	0,5637	-0,78
s6						1	0,2528	-0,949	0,1838	-0,625	-0,985	-0,893	-0,458	-0,993	0,9992	-0,57	-0,87	-0,853	0,9679
s7							1	0,0664	0,9975	-0,913	-0,079	0,2089	-0,976	-0,363	0,2922	-0,939	0,2567	-0,721	0,4877
s8								1	0,1367	0,346	0,9894	0,9896	0,153	0,9058	-0,935	0,281	0,9814	0,6438	-0,839
s9									1	-0,882	-0,009	0,2775	-0,958	-0,296	0,2239	-0,912	0,3243	-0,670	0,4248
s10										1	0,4785	0,2077	0,9801	0,711	-0,657	0,9977	0,1594	0,9407	-0,801
s11											1	0,9583	0,2948	0,9577	-0,976	0,4173	0,9431	0,748	-0,909
s12												1	0,0096	0,8356	-0,874	0,1403	0,9988	0,5273	-0,752
s13													1	0,5574	-0,494	0,9914	-0,04	0,8547	-0,667
s14														1	-0,997	0,6612	0,8076	0,9074	-0,99
s15															1	-0,603	-0,849	-0,874	0,9774
s16																1	0,0915	0,9153	-0,758
s17																	1	0,4849	-0,719
s18																		1	-0,957
s19																			1

Pearson Correlations
Akershus 00-04

	s1	s2	s3	s4	s5	s6	s7	s8	s9	s10	s11	s12	s13	s14	s15	s16	s17	s18	s19
s1	1	0,227	0,7394	0,0219	0,3156	0,4537	0,2856	0,1915	0,0789	0,6407	-0,027	-0,87	0,8001	0,8488	0,8656	0,7166	-0,809	-0,323	0,3478
s2		1	-0,273	0,2162	-0,57	0,3913	-0,836	0,262	-0,498	-0,095	-0,976	-0,039	0,7451	0,6717	0,1783	-0,313	0,3499	0,1516	-0,347
s3			1	-0,568	0,191	-0,217	0,5059	0,5162	-0,123	0,2234	0,386	-0,485	0,2507	0,5015	0,399	0,5032	-0,74	-0,801	0,0418
s4				1	0,5309	0,8944	0,0488	-0,88	0,7112	0,6698	-0,129	-0,438	0,2976	-0,064	0,5033	0,3953	-0,107	0,9388	0,7222
s5					1	0,5225	0,8698	-0,74	0,9506	0,8616	0,7079	-0,7	-0,02	-0,189	0,6273	0,8879	-0,762	0,3731	0,9643
s6						1	0,0651	-0,65	0,589	0,8285	-0,232	-0,738	0,6675	0,3678	0,8079	0,5987	-0,384	0,6934	0,7255
s7							1	-0,391	0,7223	0,5929	0,9357	-0,515	-0,267	-0,261	0,3892	0,781	-0,791	-0,077	0,7107
s8								1	-0,911	-0,627	-0,314	0,3148	0,1316	0,4582	-0,317	-0,448	0,1716	-0,887	-0,824
s9									1	0,7954	0,6004	-0,548	-0,109	-0,357	0,5008	0,7356	-0,534	0,6275	0,9595
s10										1	0,2933	-0,936	0,4848	0,2813	0,923	0,9416	-0,809	0,4033	0,9338
s11											1	-0,18	-0,584	-0,53	0,0394	0,5113	-0,542	-0,139	0,4998
s12												1	-0,676	-0,568	-0,989	-0,935	0,8922	-0,109	-0,76
s13													1	0,933	0,7611	0,3695	-0,364	0,0208	0,1567
s14														1	0,6285	0,2714	-0,376	-0,338	-0,081
s15															1	0,8784	-0,817	0,1756	0,7242
s16																1	-0,954	0,1125	0,8756
s17																	1	0,192	-0,698
s18																		1	0,548
s19																			1

Pearson Correlations
Akershus 95-99

	s1	s2	s3	s4	s5	s6	s7	s8	s9	s10	s11	s12	s13	s14	s15	s16	s17	s18	s19									
s1	1 0,9933 0,8723 -0,948 0,7208 0,9009 0,7774 -0,825 -0,485 -0,899 -0,979 -0,888 0,2351 -0,702 -0,976 0,9956 -0,373 0,589 0,9207																											
s2		1 0,8097 -0,979 0,7963 0,9451 0,6993 -0,885 -0,381 -0,944 -0,996 -0,936 0,3462 -0,615 -0,944 0,9998 -0,262 0,6787 0,9598																										
s3			1 -0,671 0,2898 0,5736 0,9857 -0,443 -0,851 -0,57 -0,754 -0,551 -0,27 -0,961 -0,958 0,8226 -0,779 0,1186 0,6123																									
s4				1 -0,904 -0,992 -0,537 0,9619 0,182 0,9916 0,9931 0,9883 -0,532 0,4389 0,8556 -0,974 0,0581 -0,815 -0,997																								
s5					1 0,9502 0,1244 -0,986 0,2563 -0,952 -0,848 -0,959 0,8432 -0,012 -0,552 0,7826 0,3747 0,9847 0,9341																							
s6						1 0,4274 -0,989 -0,058 -1 -0,971 -1 0,6336 -0,323 -0,784 0,9376 0,0671 0,8814 0,9988																						
s7							1 -0,286 -0,927 -0,423 -0,632 -0,402 -0,429 -0,994 -0,896 0,7151 -0,873 -0,05 0,4704																					
s8								1 -0,094 0,9892 0,9233 0,9924 -0,743 0,1765 0,6814 -0,874 -0,217 -0,943 -0,98																				
s9									1 0,0533 0,2958 0,0298 0,7358 0,9634 0,6647 -0,401 0,9922 0,4208 -0,106																			
s10										1 0,9697 0,9997 -0,637 0,319 0,7815 -0,936 -0,072 -0,883 -0,999																		
s11											1 0,9636 -0,429 0,541 0,9103 -0,994 0,1745 -0,742 -0,981																	
s12												1 -0,655 0,2966 0,7665 -0,928 -0,095 -0,894 -0,997																
s13													1 0,5274 -0,017 0,3252 0,8144 0,924 0,5957															
s14														1 0,8406 -0,632 0,9225 0,1623 -0,368														
s15															1 -0,951 0,5665 -0,398 -0,813													
s16																1 -0,284 0,6621 0,9533												
s17																	1 0,5306 0,0191											
s18																		1 0,8576										
s19																			1									

Pearson Correlations Oslo
00-04

	s1	s2	s3	s4	s5	s6	s7	s8	s9	s10	s11	s12	s13	s14	s15	s16	s17	s18	s19																	
s1	1 -0,95 -0,048 0,4198 0,2585 0,7443 0,9672 0,2123 0,173 -0,343 -0,53 -0,903 0,1644 0,2063 -0,484 -0,505 -0,66 -0,163 -0,764																																			
s2		1 0,1682 -0,422 -0,504 -0,856 -0,998 0,0646 -0,454 0,4508 0,3044 0,944 0,0457 -0,475 0,2081 0,5572 0,3981 0,0679 0,9183																																		
s3			1 0,7815 -0,795 -0,653 -0,137 -0,115 -0,065 -0,606 0,288 -0,151 -0,438 0,0062 -0,608 0,8803 -0,411 -0,971 0,4555																																	
s4				1 -0,281 -0,077 0,4334 -0,407 0,4438 -0,942 0,3305 -0,697 -0,653 0,5145 -0,454 0,5176 -0,375 -0,904 -0,192																																
s5					1 0,8195 0,4555 -0,412 0,645 0,0024 0,1121 -0,298 -0,121 0,5934 0,7119 -0,747 0,519 0,6599 -0,803																															
s6						1 0,8361 -0,022 0,412 -0,047 -0,354 -0,649 0,1652 0,3902 0,1831 -0,881 -0,065 0,455 -0,952																														
s7							1 -0,015 0,4056 -0,441 -0,346 -0,947 -0,012 0,43 -0,267 -0,544 -0,454 -0,096 -0,894																													
s8								1 -0,913 0,6756 -0,923 0,2015 0,9421 -0,908 -0,625 -0,293 -0,684 0,1807 0,2699																												
s9									1 -0,715 0,6858 -0,522 -0,819 0,9967 0,5476 -0,039 0,508 -0,086 -0,638																											
s10										1 -0,549 0,7 0,836 -0,769 0,134 -0,43 0,0751 0,748 0,345																										
s11											1 0,1182 -0,916 0,6835 0,5782 0,5732 0,7227 -0,265 0,1205																									
s12												1 0,2756 -0,565 0,3274 0,252 0,4489 0,3821 0,7966																								
s13													1 -0,841 -0,344 -0,54 -0,457 0,4983 0,1283																							
s14														1 0,4821 0,0063 0,4505 -0,163 -0,63																						
s15															1 -0,237 0,9666 0,6279 -0,192																					
s16																1 0,0143 -0,769 0,6973																				
s17																	1 0,4709 0,0214																			
s18																		1 -0,229																		
s19																			1																	

Pearson Correlations Oslo
95-99

	s1	s2	s3	s4	s5	s6	s7	s8	s9	s10	s11	s12	s13	s14	s15	s16	s17	s18	s19		
s1		1,07626 -0,913 -0,754 0,8583 -0,839 -0,984 0,8599 -0,774 0,8109								-1,0,98370,5937 -0,897 0,9491 -0,813 -0,942 -0,996 0,9989											
s2			1 -0,96 -0,15 0,9865 -0,992 -0,865 0,986					-1,0,2399 -0,766 0,8666 0,9733 -0,398 0,52 -0,244 -0,501 -0,705 0,7921													
s3				1,04211 -0,993 0,9878 0,9708 -0,993 0,9647 -0,502 0,9158 -0,972 -0,87 0,6395 -0,739 0,5063 0,7238 0,8754 -0,931																	
s4					1 -0,31 0,2749 0,6266 -0,313 0,1673 -0,996 0,75 -0,623 0,0811 0,9666 -0,922 0,9954 0,9307 0,8071 -0,722																
s5						1 -0,999 -0,935 1 -0,989 0,3958 -0,861 0,9366 0,9225 -0,543 0,653 -0,4 -0,636 -0,812 0,8814															
s6							1,09216 -0,999 0,9939 -0,362 0,8422 -0,923 -0,936 0,5122 -0,625 0,366 0,6076 0,7896 -0,864														
s7								1 -0,936 0,8732 -0,695 0,9854 -1 -0,726 0,8054 -0,879 0,6985 0,8683 0,9659 -0,992													
s8									1 -0,989 0,3985 -0,863 0,9377 0,9213 -0,546 0,6552 -0,403 -0,639 -0,813 0,8828												
s9										1 -0,257 0,7776 -0,875 -0,969 0,4144 -0,535 0,2612 0,5164 0,7171 -0,803											
s10											1 -0,807 0,6924 0,0105 -0,986 0,954 -1 -0,96 -0,858 0,7826										
s11												1 -0,985 -0,598 0,8945 -0,947 0,81 0,94 0,9958 -0,999									
s12													1,07288 -0,803 0,8769 -0,696 -0,866 -0,965 0,991								
s13														1 -0,177 0,3099 -0,015 -0,289 -0,523 0,6307							
s14															1 -0,991 0,9867 0,9934 0,9315 -0,875						
s15																1 -0,955 -1 -0,972 0,9333					
s16																	1,09615 0,8601 -0,785				
s17																		1,0,9671 -0,925			
s18																			1 -0,991		
s19																				1	

Pearson Correlations
Hedmark 00-04

	s1	s2	s3	s4	s5	s6	s7	s8	s9	s10	s11	s12	s13	s14	s15	s16	s17	s18	s19										
s1		1,09668 0,4256 0,4709 -0,129 -0,561 0,9978 -0,647 0,9462 0,9668 0,9693 -0,025 0,558 -0,938 0,9883 0,4561 0,0743 0,8177 0,8355																											
s2			1,06189 0,4376 -0,273 -0,693 0,9675 -0,556 0,9124 1,0,9638 -0,2670,3351 -0,907 0,989 0,6369 0,2063 0,9376 0,8996																										
s3				1,04958 -0,847 -0,484 0,4076 -0,339 0,5243 0,6189 0,5864 -0,905 -0,324 -0,259 0,558 0,6363 0,1202 0,8146 0,8136																									
s4					1 -0,728 0,2881 0,412 -0,95 0,7307 0,4376 0,645 -0,214 0,5115 -0,138 0,5245 -0,235 -0,746 0,3437 0,7341																								
s5						1 -0,055 -0,083 0,499 -0,377 -0,273 -0,365 0,8005 0,2148 -0,159 -0,266 -0,14 0,3672 -0,438 -0,651																							
s6							1 -0,604 -0,211 -0,337 -0,693 -0,476 0,3967 0,2858 0,7259 -0,587 -0,97 -0,844 -0,799 -0,439																						
s7								1 -0,597 0,9231 0,9675 0,9539 -0,015 0,5338 -0,959 0,9826 0,4928 0,1349 0,8223 0,8106																					
s8									1 -0,845 -0,556 -0,757 -0,025 -0,735 0,3623 -0,659 0,2348 0,6983 -0,371 -0,739																				
s9										1,09124 0,9882 -0,113 0,6067 -0,776 0,959 0,2784 -0,209 0,7677 0,9215																			
s10											1,0,9638 -0,267 0,3351 -0,907 0,989 0,6369 0,2063 0,9376 0,8996																		
s11												1 -0,192 0,5061 -0,832 0,9889 0,4219 -0,061 0,8524 0,9399																	
s12													1,0,6808 -0,085 -0,173 -0,604 -0,244 -0,568 -0,49																
s13														1 -0,45 0,4637 -0,458 -0,566 -0,005 0,2699															
s14															1 -0,9 -0,582 -0,361 -0,766 -0,639														
s15																1,0,5163 0,0767 0,8835 0,905													
s16																	1,0,8198 0,8153 0,4692												
s17																		1,0,3652 -0,101											
s18																			1,0,8894										
s19																													

Pearson Correlations
Hedmark 95-99

	s1	s2	s3	s4	s5	s6	s7	s8	s9	s10	s11	s12	s13	s14	s15	s16	s17	s18	s19							
s1	1	0,6781	-0,3520,6235	0,6090,8713	-0,903		-1,0,5004	-0,834	-0,798	-0,415	-0,555	-0,8450,9976	-0,998	-0,921	-0,9370,9263											
s2		1	-0,9270,99740,9959	0,9515	-0,928	-0,681	-0,297	-0,16	-0,097	-0,950,2352	-0,181	0,626	-0,718	-0,339	-0,3780,3512											
s3			1	-0,951	-0,957	-0,7660,7201	0,35650,6341	-0,222	-0,2840,9977	-0,583	-0,202	-0,2870,4036	-0,040,0022	0,0263												
s4				1	0,99980,9269	-0,899	-0,627	-0,365	-0,089	-0,026	-0,970,3045	-0,110,5683	-0,666	-0,27	-0,31	0,283										
s5					1	0,9198	-0,891	-0,613	-0,382	-0,07	-0,007	-0,974	0,322	-0,0910,5531	-0,652	-0,253	-0,2930,2653									
s6						1	-0,998	-0,8740,0111	-0,456	-0,399	-0,808	-0,075	-0,4750,8356	-0,897	-0,612	-0,6440,6223										
s7							1	0,905	-0,080,51630,46110,76530,14370,5341	-0,8710,92550,66480,6955	-0,675															
s8								1	-0,4960,83160,79480,4187	0,551	0,843	-0,9970,99870,91950,9351	-0,925													
s9									1	-0,895	-0,9210,5805	-0,998	-0,8850,5586	-0,452	-0,798	-0,7720,7897										
s10										1	0,998	-0,1560,92170,9998	-0,870,8022	0,9830,9744	-0,98											
s11											1	-0,2180,94440,9965	-0,8370,76280,96940,9583	-0,966												
s12												1	-0,527	-0,136	-0,3510,46440,02790,0697	-0,041										
s13													1	0,9134	-0,6110,50780,8348	0,811	-0,827									
s14														1	-0,880,81450,98660,9789	-0,984										
s15															1	-0,992	-0,946	-0,959	0,95							
s16																1	0,89820,9158	-0,904								
s17																	1	0,9991	-1							
s18																		1	-1							
s19																			1							

Pearson Correlations
oppland 00-04

	s1	s2	s3	s4	s5	s6	s7	s8	s9	s10	s11	s12	s13	s14	s15	s16	s17	s18	s19								
s1		1	0,89630,80010,37790,9443	-0,0130,54120,14250,84940,89630,9363	-0,374	-0,663	-0,8190,6421	0,9270,74360,37870,4267																			
s2			1	0,45240,40880,73270,42770,6648	-0,2550,7163		1,0,9925	-0,19	-0,308	-0,9470,78530,83730,95240,6036	-0,017																
s3				1	0,15470,9206	-0,594	0,1480,6573	0,710,45240,5464	-0,445	-0,893	-0,3520,19620,71110,1,1997	-0,0110,8838															
s4					1	0,12820,02890,9407	-0,5250,77730,4088	0,352	-0,881	-0,495	-0,6730,86780,69460,5448	-0,409	-0,045														
s5						1	-0,2390,25520,45580,72130,73270,8083	-0,259	-0,713	-0,5860,36070,79430,5004	0,3510,6486																
s6							1	0,2953	-0,791	-0,1810,42770,33860,4473	0,699	-0,4210,3789	-0,0480,60510,6807	-0,889													
s7								1	-0,630,80010,66480,6012	-0,708	-0,377	-0,870,98370,78380,7944	-0,075	-0,186													
s8									1	-0,043	-0,255	-0,1350,0841	-0,4670,4491	-0,609	-0,062	-0,536	-0,1160,8727										
s9										1	0,71630,7282	-0,8	-0,825	-0,8110,8098	0,98	0,658	-0,1060,4176										
s10											1	0,9925	-0,19	-0,308	-0,9470,78530,83730,95240,6036	-0,017											
s11												1	-0,183	-0,374	-0,9130,72740,84970,90810,60440,0922												
s12													1	0,7895	0,423	-0,608	-0,667	-0,2200,6682	-0,395								
s13														1	0,3544	-0,35	-0,748	-0,1450,4022	-0,838								
s14															1	-0,943	-0,885	-0,974	-0,3720,1039								
s15																1	0,82830,88940,0976	-0,195									
s16																	1	0,76520,09420,3561									
s17																		1	0,54	-0,276							
s18																			1	-0,326							
s19																				1							

Pearson Correlations
Oppland 95-99

	s1	s2	s3	s4	s5	s6	s7	s8	s9	s10	s11	s12	s13	s14	s15	s16	s17	s18	s19
s1	1	0,5149	0,0531	-0,986	0,3896	0,4854	-0,114	-0,835	0,8179	-0,985	-0,948	-0,957	-0,698	-1	0,9321	0,903	-0,952	-0,924	-0,897
s2		1	-0,829	-0,364	0,9901	0,9994	-0,91	-0,902	0,9144	-0,655	-0,214	-0,245	0,2542	-0,489	0,7904	0,0967	-0,753	-0,803	-0,082
s3			1	-0,22	-0,899	-0,847	0,9861	0,5049	-0,531	0,1198	-0,369	-0,339	-0,752	-0,083	-0,312	0,4769	0,2555	0,3317	-0,49
s4				1	-0,229	-0,332	-0,055	0,7309	-0,71	0,9421	0,9878	0,9923	0,8086	0,9903	-0,858	-0,962	0,8869	0,8473	0,9582
s5					1	0,9943	-0,959	-0,832	0,8485	-0,542	-0,075	-0,107	0,3873	-0,362	0,6967	-0,044	-0,653	-0,711	0,0586
s6						1	-0,924	-0,886	0,9	-0,629	-0,181	-0,212	0,287	-0,459	0,7691	0,0628	-0,73	-0,782	-0,048
s7							1	0,6415	-0,665	0,2833	-0,209	-0,178	-0,632	0,0844	-0,466	0,324	0,4128	0,484	-0,338
s8								1	-1	0,9174	0,6158	0,6405	0,1894	0,8185	-0,978	-0,518	0,9635	0,9818	0,5051
s9									1	-0,905	-0,591	-0,617	-0,159	-0,801	0,9708	0,4915	-0,955	-0,976	-0,478
s10										1	0,8784	0,8932	0,5644	0,9795	-0,981	-0,816	0,9905	0,9763	0,8068
s11											1	0,9995	0,8903	0,9567	-0,768	-0,993	0,8042	0,7543	0,9911
s12												1	0,8753	0,9654	-0,788	-0,989	0,8227	0,7748	0,9863
s13													1	0,7191	-0,392	-0,938	0,4452	0,3725	0,9431
s14														1	-0,921	-0,915	0,9424	0,9128	0,9092
s15															1	0,6862	-0,998	-1	-0,675
s16																1	-0,728	-0,671	-1
s17																	1	0,9968	0,7177
s18																		1	0,6599
s19																			1

Pearson Correlations
buskerud 00-04

	s1	s2	s3	s4	s5	s6	s7	s8	s9	s10	s11	s12	s13	s14	s15	s16	s17	s18	s19
s1	1	-0,736	0,8535	0,6634	0,5966	0,215	-0,042	0,4995	0,937	0,6241	0,5937	0,8819	-0,998	-0,675	-0,762	0,4365	0,5842	-0,359	0,9757
s2		1	-0,978	0,0114	0,0944	0,1601	0,4088	-0,245	-0,531	0,0689	-0,369	-0,6190	0,7603	0,378	0,9232	0,274	0,0583	0,783	-0,866
s3			1	0,1764	0,1115	-0,002	-0,268	0,2753	0,696	0,1301	0,5084	0,7611	-0,875	-0,534	-0,902	-0,095	0,1505	-0,667	0,9469
s4				1	0,9616	0,3902	0,2878	0,5648	0,7647	0,9895	0,3751	0,5633	-0,627	-0,494	-0,153	0,9618	0,8777	0,2662	0,4836
s5					1	0,6255	0,5375	0,3166	0,7822	0,9909	0,5515	0,6307	-0,574	-0,647	0,0207	0,9271	0,9727	0,4691	0,4147
s6						1	0,9628	-0,532	0,5332	0,5152	0,8583	0,6124	-0,247	-0,841	0,3996	0,3478	0,7826	0,7392	0,1306
s7							1	-0,621	0,306	0,423	0,6929	0,377	0,0147	-0,664	0,6325	0,318	0,6858	0,8842	-0,14
s8								1	0,2915	0,4403	-0,361	0,051	-0,442	0,238	-0,592	0,5364	0,1088	-0,491	0,425
s9									1	0,7721	0,7866	0,9583	-0,941	-0,859	-0,495	0,567	0,8127	-0,019	0,8703
s10										1	0,462	0,5929	-0,594	-0,57	-0,052	0,9569	0,9344	0,3833	0,4397
s11											1	0,9028	-0,635	-0,991	-0,108	0,1986	0,7158	0,2893	0,5789
s12												1	-0,905	-0,939	-0,477	0,3366	0,7216	-0,032	0,8634
s13													1	0,7084	0,7596	-0,391	-0,577	0,356	-0,983
s14														1	0,1594	-0,315	-0,787	-0,274	-0,64
s15															1	0,0696	0,0758	0,8776	-0,85
s16																1	0,821	0,4184	0,2296
s17																	1	0,5413	0,4231
s18																		1	-0,502
s19																			1

Pearson Correlations
Buskerud 95-99

	s1	s2	s3	s4	s5	s6	s7	s8	s9	s10	s11	s12	s13	s14	s15	s16	s17	s18	s19	
s1	1	0,5433	-0,21	-0,587	0,2732	-0,351	0,2135	-0,728	0,9328	-0,989	-0,726	-0,972	-0,359	-0,858	0,9875	-0,2	-0,4	-0,907	0,9983	
s2		1	-0,935	0,3607	0,956	-0,977	-0,704	-0,971	0,2043	-0,416	0,1834	-0,725	0,5887	-0,036	0,4041	-0,931	0,5518	-0,138	0,5914	
s3			1	-0,669	-0,998	0,9891	0,9105	0,8228	0,1568	0,0655	-0,521	0,4328	-0,838	-0,322	-0,053	0,9999	-0,812	-0,223	-0,266	
s4				10,6184	-0,552	-0,916	-0,127	-0,839	0,6983	0,983	0,3811	0,9663	0,9193	-0,707	-0,676	0,9769	0,8738	-0,539		
s5					1	-0,997	-0,881	-0,858	-0,092	-0,131	0,4637	-0,491	0,7999	0,2591	0,118	-0,997	0,7721	0,1582	0,3289	
s6						10,8399	0,8974	0,01	0,2114	-0,39	0,5606	-0,748	-0,179	-0,199	0,9876	-0,718	-0,077	-0,405		
s7							10,5143	0,5511	-0,353	-0,827	0,0214	-0,988	-0,685	0,3649	0,9147	-0,981	-0,606	0,156		
s8								10,432	0,621	0,0567	0,8684	-0,379	0,2732	-0,611	0,817	-0,337	0,3709	-0,767		
s9									1	-0,975	-0,925	-0,822	-0,671	-0,986	0,978	0,1669	-0,704	-0,998	0,9102	
s10										10,8178	0,9279	0,4904	0,9237		-1	0,0554	0,5291	0,9582	-0,979	
s11											10,5443	0,9026	0,9759	-0,825	-0,529	0,921	0,9482	-0,684		
s12											10,1301	0,7142	-0,923	0,4236	0,1746	0,7825	-0,984			
s13												10,7869	-0,502	-0,843	0,999	0,7191	-0,304			
s14													1	-0,929	-0,331	0,8139	0,9947	-0,827		
s15														1	-0,043	-0,54	-0,962	0,9766		
s16															1	-0,818	-0,232	-0,257		
s17																10,7497	-0,346			
s18																	1	-0,88		
s19																		1		

Pearson Correlations
Vestfold 00-04

	s1	s2	s3	s4	s5	s6	s7	s8	s9	s10	s11	s12	s13	s14	s15	s16	s17	s18	s19	
s1	1	-0,356	0,4069	-0,208	0,5733	-0,947	0,4405	0,861	0,8806	-0,76	0,9455	-0,437	-0,222	-0,282	0,3111	0,9572	0,9714	0,7701	0,5184	
s2		1	0,0292	0,981	-0,338	0,6358	0,5329	-0,639	0,0274	-0,185	-0,18	0,9213	0,8501	-0,76	0,7748	-0,432	-0,297	0,158	-0,582	
s3			10,2047	-0,515	-0,332	0,7739	0,6086	0,697	-0,014	0,6656	-0,357	-0,402	-0,527	0,2351	0,6145	0,6123	0,0062	-0,532		
s4				1	-0,357	0,5064	0,6868	-0,481	0,2076	-0,263	-3E-05	0,8411	0,7839	-0,868	0,8457	-0,261	-0,123	0,2352	-0,611	
s5					1	-0,584	-0,266	0,2521	0,2081	-0,713	0,2927	-0,069	0,173	0,1881	0,1033	0,3435	0,3624	0,7297	0,9568	
s6						1	-0,185	-0,932	-0,72	0,5614	-0,844	0,6786	0,4776	-0,026	0,0086	-0,94	-0,905	-0,579	-0,623	
s7							10,3019	0,8117	-0,474	0,6828	0,2223	0,2451	-0,941	0,7972	0,4883	0,585	0,4554	-0,465		
s8								10,7382	-0,324	0,8558	-0,803	-0,674	-0,012	-0,097	0,958	0,9019	0,3388	0,3287		
s9									1	-0,716	0,9782	-0,199	-0,052	-0,665	0,5962	0,8895	0,9446	0,7134	0,0768	
s10										1	-0,679	-0,227	-0,457	0,5465	-0,73	-0,562	-0,663	-1	-0,506	
s11											1	-0,38	-0,217	-0,496	0,4315	0,9646	0,9919	0,6828	0,2118	
s12												10,9658	-0,532	0,6683	-0,6	-0,468	0,2049	-0,3		
s13													1	-0,557	0,7519	-0,435	-0,293	0,4386	-0,081	
s14														1	-0,94	-0,252	-0,384	-0,524	0,4453	
s15															1	0,184	0,334	0,7108	-0,185	
s16																10,9878	0,5721	0,3362		
s17																	10,6703	0,3094		
s18																		10,5289		
s19																			1	

Pearson Correlations
Vestfold 95-99

	s1	s2	s3	s4	s5	s6	s7	s8	s9	s10	s11	s12	s13	s14	s15	s16	s17	s18	s19	
s1	1	0,206	0,1695	-0,846	-0,275	-0,795	0,8908	-0,862	0,2504	-0,995	-0,973	-0,905	-0,313	-0,942	0,7659	0,4958	0,4844	-0,443	0,2974	
s2		1	0,9993	0,3469	-0,997	0,4295	0,6281	0,3177	0,999	-0,103	0,0232	0,2295	-0,994	-0,524	0,7869	-0,748	-0,756	-0,968	-0,873	
s3			1	0,3815	-0,994	0,4628	0,5987	0,3527	0,9966	-0,066	0,0604	0,2655	-0,989	-0,491	0,7634	-0,772	-0,78	-0,959	-0,891	
s4				1	-0,279	0,996	-0,512	0,9995	0,3038	0,897	0,9457	0,9925	-0,241	0,6175	-0,306	-0,882	-0,876	-0,102	-0,76	
s5					1	-0,364	-0,682	-0,249		-1	0,174	0,0481	-0,16	0,9992	0,5829	-0,829	0,6984	0,7077	0,9838	0,836
s6						1	-0,433	0,9927	0,3879	0,8538	0,9128	0,9775	-0,327	0,5446	-0,219	-0,921	-0,916	-0,191	-0,815	
s7							1	-0,538	0,6629	-0,839	-0,763	-0,613	-0,711	-0,992	0,9744	0,0471	0,0341	-0,802	-0,169	
s8								1	0,2742	0,9103	0,9553	0,9958	-0,21	0,6416	-0,335	-0,867	-0,861	-0,071	-0,74	
s9									1	-0,149	-0,022	0,1849	-0,998	-0,562	0,8142	-0,717	-0,726	-0,979	-0,85	
s10										1	0,992	0,9444	0,2131	0,9016	-0,695	-0,583	-0,573	0,3479	-0,395	
s11											1	0,9784	0,0879	0,8396	-0,599	-0,681	-0,672	0,2266	-0,508	
s12												1	-0,12	0,7091	-0,42	-0,818	-0,81	0,0202	-0,675	
s13													1	0,6148	-0,851	0,6694	0,679	0,9901	0,8135	
s14														1	-0,938	-0,174	-0,162	0,7193	0,0415	
s15															1	-0,179	-0,191	-0,916	-0,386	
s16																1	0,9999	0,5586	0,9766	
s17																	1	0,5694	0,9793	
s18																		1	0,7239	
s19																			1	

Pearson Correlations
telemark 00-04

	s1	s2	s3	s4	s5	s6	s7	s8	s9	s10	s11	s12	s13	s14	s15	s16	s17	s18	s19
s1	1	-0,352	-0,801	0,8837	0,053	-0,272	0,3649	0,6877	0,7288	-0,298	0,7912	0,3378	-0,93	-0,31	0,3443	0,3197	0,1359	-0,048	0,6038
s2		1	-0,215	0,0187	-0,127	-0,694	-0,998	-0,829	-0,897	-0,702	0,0861	0,7427	0,6008	0,9327	-0,984	0,2012	0,1476	-0,086	0,4309
s3			1	-0,809	-0,257	0,7939	0,1857	-0,116	-0,221	0,8098	-0,971	-0,813	0,6517	-0,118	0,2624	-0,68	-0,489	-0,18	-0,736
s4				1	-0,3	-0,394	-0,022	0,5001	0,4028	-0,44	0,6908	0,562	-0,65	0,1472	0,0337	0,1271	-0,105	-0,387	0,9001
s5					1	-0,376	0,1808	-0,254	0,1182	-0,322	0,4645	0,1064	-0,304	-0,476	-0,049	0,8572	0,9436	0,9949	-0,448
s6						1	0,6597	0,5115	0,3793	0,9981	-0,762	-0,959	0,1095	-0,491	0,7658	-0,78	-0,662	-0,354	-0,557
s7							1	0,8135	0,9024	0,6706	-0,048	-0,722	-0,623	-0,95	0,9733	-0,147	-0,092	0,1384	-0,44
s8								1	0,9302	0,4857	0,1273	-0,417	-0,741	-0,633	0,8791	-0,315	-0,392	-0,328	0,1325
s9									1	0,3733	0,3101	-0,384	-0,878	-0,828	0,8824	0,0038	-0,044	0,0405	-0,031
s10										1	-0,765	-0,975	0,1162	-0,519	0,7647	-0,747	-0,617	-0,298	-0,607
s11											1	0,7185	-0,727	-0,072	-0,17	0,8014	0,6455	0,3874	0,555
s12												1	-0,089	0,6344	-0,767	0,5908	0,4287	0,078	0,7572
s13													1	0,6255	-0,551	-0,397	-0,281	-0,209	-0,271
s14														1	-0,855	-0,123	-0,207	-0,439	0,5631
s15															1	-0,355	-0,316	-0,09	-0,355
s16																1	0,9718	0,8278	0,0655
s17																	1	0,932	-0,165
s18																		1	-0,505
s19																			1

Pearson Correlations
Telemark 95-99

	s1	s2	s3	s4	s5	s6	s7	s8	s9	s10	s11	s12	s13	s14	s15	s16	s17	s18	s19													
s1	1 -0,98 -0,445 -0,732 -0,998 0,9952 0,7127 -1 -0,963 -0,855 -0,879 -0,968 -0,283 -0,767 0,8187 -0,8 -0,763 -0,764 0,8946																															
s2		1 0,6154 0,5805 0,9642 -0,995 -0,558 0,9814 0,889 0,9417 0,7654 0,8989 0,0852 0,6231 -0,687 0,6635 0,6187 0,6198 -0,787																														
s3			1 -0,285 0,3842 -0,53 0,3108 0,4527 0,1862 0,8447 -0,036 0,2078 -0,733 -0,233 0,1496 -0,181 -0,239 -0,237 0,0018																													
s4				1 0,7758 -0,662 -1 0,726 0,8889 0,2728 0,9683 0,8786 0,8608 0,9986 -0,99 0,9944 0,9989 0,9988 -0,959																												
s5					1 -0,986 -0,758 0,9972 0,9787 0,8187 0,9087 0,9829 0,3465 0,8083 -0,855 0,8382 0,805 0,8058 -0,923																											
s6						1 0,6409 -0,996 -0,932 -0,902 -0,828 -0,939 -0,188 -0,701 0,7589 -0,737 -0,697 -0,698 0,8468																										
s7							1 -0,707 -0,876 -0,246 -0,961 -0,865 -0,874 -0,997 0,9863 -0,991 -0,997 -0,997 0,951																									
s8								1 0,9604 0,8597 0,8747 0,9663 0,2749 0,7617 -0,814 0,7948 0,758 0,7589 -0,891																								
s9									1 0,6832 0,9751 0,9998 0,5319 0,9121 -0,944 0,9324 0,9097 0,9103 -0,982																							
s10										1 0,5043 0,6992 -0,255 0,3237 -0,403 0,3732 0,3184 0,3197 -0,534																						
s11											1 0,97 0,7064 0,9803 -0,994 0,9893 0,9791 0,9794 -0,999																					
s12												1 0,5131 0,9028 -0,936 0,9242 0,9004 0,901 -0,978																				
s13													1 0,8324 -0,782 0,802 0,8355 0,8347 -0,682																			
s14														1 -0,996 0,9986 1 1 -0,973																		
s15															1 -0,999 -0,996 -0,996 0,989																	
s16																1 0,9983 0,9984 -0,984																
s17																	1 1 -0,972															
s18																		1 -0,972														
s19																			1													

Pearson Correlations Aust
Agder 00-04

	s1	s2	s3	s4	s5	s6	s7	s8	s9	s10	s11	s12	s13	s14	s15	s16	s17	s18	s19																								
s1	1 -0,384 0,3666 0,6978 0,9867 -0,036 -0,507 0,0947 0,6944 0,3229 0,5642 -0,616 -0,364 -0,73 0,8626 0,8091 0,315 -0,239 -0,406																																										
s2		1 -0,53 -0,069 -0,525 -0,120 0,9904 -0,518 0,3965 0,7399 0,5457 0,3494 -0,711 -0,288 -0,767 0,0534 -0,209 0,3402 0,9876																																									
s3			1 0,7319 0,40 0,8679 -0,56 -0,449 -0,01 -0,157 -0,149 -0,923 0,3664 -0,254 0,3637 -0,231 -0,627 0,5728 -0,656																																								
s4				1 0,6307 0,6196 -0,177 -0,625 0,6704 0,5244 0,5649 -0,935 -0,36 -0,844 0,3757 0,3515 -0,446 0,5287 -0,195																																							
s5					1 -0,047 -0,637 0,2056 0,5695 0,165 0,4258 -0,6 -0,218 -0,612 0,9324 0,7508 0,3587 -0,311 -0,538																																						
s6						1 -0,119 -0,767 -0,083 -0,005 -0,149 -0,765 0,2791 -0,178 -0,143 -0,517 -0,931 0,8923 -0,268																																					
s7							1 -0,487 0,2661 0,6406 0,4254 0,4277 -0,611 -0,156 -0,842 -0,065 -0,23 0,3412 0,9841																																				
s8								1 -0,348 -0,579 -0,369 0,5377 0,3323 0,5031 0,4826 0,2406 0,8805 -0,954 -0,378																																			
s9									1 0,9026 0,9842 -0,376 -0,909 -0,963 0,2518 0,8249 0,1065 0,0704 0,3579																																		
s10										1 0,9532 -0,196 -0,96 -0,854 -0,189 0,5675 -0,123 0,3086 0,6895																																	
s11											1 -0,24 -0,968 -0,918 0,0988 0,7860 0,1073 0,0789 0,516																																
s12												1 0,0072 0,6051 -0,447 -0,111 0,5289 -0,546 0,4802																															
s13													1 0,7936 0,0962 -0,716 -0,153 -0,036 -0,703																														
s14														1 -0,285 -0,704 0,1086 -0,268 -0,212																													
s15															1 0,5915 0,4893 -0,503 -0,747																												
s16																1 0,6286 -0,494 0,0938																											
s17																	1 -0,982 -0,069																										
s18																		1 0,1957																									
s19																			1																								

Pearson Correlations Aust-
Alder 95-99

	s1	s2	s3	s4	s5	s6	s7	s8	s9	s10	s11	s12	s13	s14	s15	s16	s17	s18	s19									
s1	1 0,0452 0,2086 0,991 -0,333 0,5805 0,894 -0,907 0,9899 0,9745 -0,942 -0,787 -0,667 -0,88 0,9996 0,1079 0,489 -0,657 0,8094																											
s2		1 0,9864 -0,089 -0,957 -0,787 0,488 0,3794 -0,097 -0,18 0,2939 0,5805 -0,774 -0,515 0,0742 0,998 -0,849 -0,783 -0,55																										
s3			1 0,0755 -0,992 -0,675 0,6247 0,2223 0,0679 -0,016 0,133 0,4389 -0,868 -0,649 0,237 0,9948 -0,751 -0,874 -0,405																									
s4				1 -0,204 0,6845 0,8258 -0,955 1 0,9958 -0,978 -0,863 -0,561 -0,808 0,9866 -0,026 0,6016 -0,55 0,8809																								
s5					1 0,5744 -0,72 -0,095 -0,196 -0,113 -0,004 -0,319 0,9245 0,7416 -0,36 -0,973 0,6596 0,9297 0,2842																							
s6						1 0,1541 -0,869 0,69 0,7484 -0,821 -0,959 0,219 -0,123 0,5566 -0,747 0,9941 0,2327 0,948																						
s7							1 -0,622 0,8215 0,7706 -0,691 -0,427 -0,93 -1 0,9066 0,542 0,0462 -0,925 0,4604																					
s8								1 -0,958 -0,978 0,9959 0,9736 0,292 0,5977 -0,895 0,3204 -0,811 0,2785 -0,981																				
s9									1 0,9965 -0,98 -0,867 -0,555 -0,803 0,9854 -0,034 0,6077 -0,543 0,8845																			
s10										1 -0,993 -0,905 -0,483 -0,75 0,9676 -0,118 0,6722 -0,471 0,9205																		
s11											1 0,9489 0,3775 0,6679 -0,931 0,2332 -0,754 0,3645 -0,96																	
s12												1 0,066 0,3989 -0,769 0,5281 -0,923 0,052 -0,999																
s13													1 0,9413 -0,689 -0,812 0,3233 0,9999 -0,103															
s14														1 -0,893 -0,568 -0,015 0,9365 -0,433														
s15															1 0,1368 0,4634 -0,678 0,792													
s16																1 -0,814 -0,821 -0,496												
s17																	1 0,3366 0,908											
s18																		1 -0,089										
s19																			1									

Pearson Correlations vest
agder 00-04

	s1	s2	s3	s4	s5	s6	s7	s8	s9	s10	s11	s12	s13	s14	s15	s16	s17	s18	s19													
s1	1 -0,322 -0,958 0,3417 0,9009 -0,81 0,7712 0,6216 0,8297 -0,174 0,4577 0,5159 0,3168 -0,10 0,8709 0,5815 -0,692 0,971 -0,336																															
s2		1 0,5486 0,4323 0,1205 0,6753 0,3538 -0,816 0,1265 0,9064 0,1486 0,0394 -0,999 -0,686 0,0748 0,563 0,4874 -0,106 0,1067																														
s3			1 -0,281 -0,752 0,836 -0,581 -0,703 -0,739 0,3409 -0,249 -0,549 -0,55 -0,012 -0,781 -0,381 0,6459 -0,862 0,446																													
s4				1 0,5462 0,2639 0,6456 -0,486 0,7991 0,7559 -0,285 0,918 -0,398 -0,948 0,749 0,7898 0,4195 0,3848 -0,817																												
s5					1 -0,546 0,9704 0,284 0,9229 0,2275 0,5593 0,5476 -0,126 -0,41 0,9431 0,8651 -0,511 0,9709 -0,29																											
s6						1 -0,337 -0,958 -0,346 0,6912 -0,558 -4E-04 -0,652 -0,502 -0,418 -0,053 0,9424 -0,729 -0,095																										
s7							1 0,0555 0,9134 0,4469 0,5321 0,5557 -0,357 -0,575 0,918 0,9569 -0,34 0,8856 -0,282																									
s8								1 0,0827 -0,868 0,4449 -0,183 0,7916 0,7126 0,1587 -0,234 -0,903 0,5038 0,2039																								
s9									1 0,3796 0,2001 0,8268 -0,113 -0,638 0,9968 0,8806 -0,21 0,8606 -0,63																							
s10										1 -0,135 0,4398 -0,886 -0,924 0,3138 0,685 0,64 -0,012 -0,323																						
s11											1 -0,386 -0,191 0,2533 0,2519 0,3608 -0,783 0,5933 0,6299																					
s12												1 -0,002 -0,75 0,7937 0,6245 0,2552 0,4682 -0,954																				
s13													1 0,6557 -0,064 -0,558 -0,452 0,096 -0,15																			
s14														1 -0,576 -0,777 -0,572 -0,20 0,6413																		
s15															1 0,8622 -0,287 0,897 -0,592																	
s16																1 -0,059 0,72 -0,37																
s17																	1 -0,675 -0,395															
s18																		1 -0,235														
s19																			1													

Pearson Correlations Vest
Alder 95-99

	s1	s2	s3	s4	s5	s6	s7	s8	s9	s10	s11	s12	s13	s14	s15	s16	s17	s18	s19									
s1	1 -0,989 0,2524 -0,408 0,4087 -0,988 -0,696 -0,994 0,8313 0,849 -0,177 -0,621 0,0122 -0,483 -0,886 0,9444 -0,442 -0,479 -0,346																											
s2		1 -0,104 0,2659 -0,541 0,953 0,5797 0,9993 -0,905 -0,919 0,3224 0,496 0,1382 0,6089 0,8068 -0,884 0,572 0,6058 0,4826																										
s3			1 -0,986 -0,78 -0,4 -0,871 -0,142 -0,328 -0,297 0,9079 -0,915 0,9706 0,7255 -0,672 0,5566 0,7562 0,7282 0,8208																									
s4				10,6667 0,5454 0,9396 0,3028 0,1686 0,1364 -0,827 0,969 -0,918 -0,603 0,784 -0,685 -0,639 -0,606 -0,716																								
s5					1 -0,261 0,3715 -0,508 0,847 0,8292 -0,97 0,4618 -0,908 -0,997 0,0601 0,0858 -0,999 -0,997 -0,998																							
s6						10,7992 0,964 -0,734 -0,756 0,0206 0,7356 -0,168 0,3401 0,9479 -0,984 0,2968 0,3364 0,1947																						
s7							10,6106 -0,179 -0,211 -0,584 0,9951 -0,727 -0,293 0,9491 -0,893 -0,337 -0,297 -0,434																					
s8								1 -0,888 -0,903 0,2857 0,529 0,0999 0,5779 0,829 -0,902 0,54 0,5747 0,4485																				
s9									1 0,9995 -0,694 -0,08 -0,546 -0,888 -0,48 0,6022 -0,866 -0,886 -0,809																			
s10										1 -0,67 -0,113 -0,518 -0,873 -0,508 0,6279 -0,849 -0,871 -0,789																		
s11											1 -0,662 0,9821 0,9472 -0,299 0,157 0,9609 0,9484 0,9847																	
s12												1 -0,791 -0,387 0,9131 -0,844 -0,429 -0,39 -0,521																
s13													1,08698 -0,474 0,3404 0,8914 0,8717 0,9341															
s14														1 0,0227 -0,168 0,999 1 0,9886														
s15															1 -0,989 -0,023 0,0188 -0,128													
s16																1 -0,123 -0,164 -0,018												
s17																	1 0,9991 0,9945											
s18																		1 0,9892										
s19																			1									

Pearson Correlations
Rogaland 00-04

	s1	s2	s3	s4	s5	s6	s7	s8	s9	s10	s11	s12	s13	s14	s15	s16	s17	s18	s19													
s1	1 -0,658 -0,623 0,859 0,932 0,3648 0,6245 -0,774 0,887 -0,62 0,6815 -0,365 0,8604 -0,615 0,9653 0,0357 0,9814 0,9977 0,98																															
s2		1 0,1476 -0,239 -0,393 0,4546 -0,994 0,1027 -0,867 -0,182 -0,119 0,8232 -0,937 0,9921 -0,468 -0,773 -0,688 -0,682 -0,768																														
s3			1 -0,877 -0,533 -0,636 -0,189 0,9009 -0,61 0,6369 -0,988 0,3196 -0,458 0,0312 -0,775 0,2614 -0,72 -0,568 -0,474																													
s4				10,8695 0,7474 0,2275 -0,989 0,6719 -0,864 0,9348 -0,118 0,5618 -0,159 0,9628 -0,377 0,8684 0,8265 0,7401																												
s5					10,5837 0,3338 -0,81 0,6592 -0,814 0,638 -0,003 0,6293 -0,37 0,9352 -0,278 0,8588 0,9327 0,8896																											
s6						1 -0,475 -0,822 0,0102 -0,946 0,7253 0,5173 -0,124 0,5094 0,5739 -0,894 0,3287 0,3259 0,1926																										
s7							1 -0,098 0,8717 0,223 0,1449 -0,879 0,9317 -0,977 0,4447 0,8023 0,6749 0,643 0,7274																									
s8								1 -0,572 0,8935 -0,957 0,0339 -0,444 0,0171 -0,913 0,4809 -0,79 -0,735 -0,633																								
s9									1 -0,247 0,5974 -0,753 0,9837 -0,808 0,8098 0,4298 0,941 0,8816 0,9003																							
s10										1 -0,747 -0,397 -0,144 -0,226 -0,768 0,7608 -0,559 -0,595 -0,483																						
s11											1 -0,213 0,449 -0,011 0,8357 -0,359 0,7518 0,6307 0,5299																					
s12												1 -0,764 0,7693 -0,252 -0,83 -0,497 -0,359 -0,426																				
s13													1 -0,898 0,7397 0,5324 0,8965 0,8669 0,9086																			
s14														1 -0,405 -0,788 -0,627 -0,647 -0,744																		
s15															1 -0,174 0,9601 0,9476 0,8942																	
s16																1 0,1077 0,0634 0,1875																
s17																	1 0,9701 0,9502															
s18																		1 0,9899														
s19																			1													

Pearson Correlations
Rogaland 95-99

	s1	s2	s3	s4	s5	s6	s7	s8	s9	s10	s11	s12	s13	s14	s15	s16	s17	s18	s19							
s1	1 -0,221 -0,939 0,474 80,523 90,999 10,375 3 -0,002 -0,863 -0,098 0,840 9 0,460 0,822 5 0,866 -0,509 0,365 1 0,997 0,999 70,354 2																									
s2		1 -0,127 0,753 30,714 8 -0,179 -0,987 0,975 6 -0,302 -0,949 0,341 70,764 1 -0,737 0,296 1 -0,726 -0,989 -0,145 -0,245 -0,99																								
s3			1 -0,748 -0,784 -0,953 -0,035 -0,342 0,983 80,433 6 -0,976 -0,737 -0,577 -0,985 0,773 8 -0,024 -0,963 -0,931 -0,012																							
s4				10,998 40,511 8 -0,638 0,879 4 -0,855 -0,922 0,875 5 0,999 9 -0,11 0,851 2 -0,999 -0,646 0,541 4 0,453 3 -0,655																						
s5					10,559 7 -0,593 0,851 -0,883 -0,899 0,901 5 0,997 3 -0,054 0,879 6 -1 -0,602 0,588 2 0,503 1 -0,611																					
s6						10,335 5 0,041 -0,883 -0,14 0,863 2 0,497 4 0,797 6 0,886 5 -0,546 0,325 1 0,999 4 0,997 8 0,314																				
s7							1 -0,927 0,145 0,885 6 -0,186 -0,65 0,835 9 -0,138 0,606 4 0,999 9 0,302 5 0,397 6 0,999 7																			
s8								1 -0,504 -0,995 0,539 9 0,887 2 -0,57 0,498 7 -0,86 -0,932 0,075 8 -0,026 -0,936																		
s9									1 0,587 9 -0,999 -0,846 -0,422 -1 0,874 7 0,155 9 -0,899 -0,85 0,167 4																	
s10										1 -0,621 -0,929 0,485 3 -0,583 0,906 3 0,890 7 -0,175 -0,074 0,895 9																
s11											1 0,867 4 0,383 9 0,998 8 -0,894 -0,197 0,880 2 0,827 6 -0,208															
s12												1 -0,127 0,842 4 -0,998 -0,659 0,527 3 0,438 4 -0,667														
s13													1 0,427 9 0,070 3 0,829 8 0,776 1 0,836 0,823 2													
s14														1 -0,871 -0,149 0,902 1 0,853 7 -0,161												
s15															1 0,615 1 -0,574 -0,489 0,624 3											
s16																1 0,292 0,387 5 0,999 9										
s17																	1 0,994 8 0,280 8									
s18																		1 0,376 7								
s19																			1							

Pearson Correlations
Hordaland 00-04

	s1	s2	s3	s4	s5	s6	s7	s8	s9	s10	s11	s12	s13	s14	s15	s16	s17	s18	s19											
s1	1 0,126 7 -0,785 -0,747 0,939 3 -0,559 0,959 3 0,088 8 0,241 -0,039 0,162 2 0,625 3 -0,311 -0,546 -0,498 0,669 0,918 5 0,368 1 0,614 5																													
s2		1 -0,425 0,297 5 0,333 5 -0,035 0,260 3 -0,775 0,990 7 0,804 8 0,973 7 -0,158 0,633 7 -0,892 0,739 0,741 6 0,426 3 0,144 3 0,096 3																												
s3			1 0,174 9 -0,948 -0,009 -0,928 0,507 7 -0,544 -0,54 -0,325 -0,022 0,371 3 0,763 2 0,290 3 -0,92 -0,696 0,165 1 -0,903																											
s4				1 -0,473 0,874 6 -0,53 -0,702 0,240 3 0,660 2 0,138 7 -0,959 0,144 3 0,017 0,523 7 -0,057 -0,692 -0,73 -0,03																										
s5					1 -0,297 0,996 7 -0,249 0,454 5 0,293 3 0,300 4 0,337 7 -0,323 -0,724 -0,376 0,861 5 0,865 7 0,120 7 0,791 3																									
s6						1 -0,328 -0,578 -0,042 0,528 4 -0,242 -0,973 -0,353 0,177 8 0,047 3 -0,071 -0,703 -0,968 0,310 6																								
s7							1 -0,174 0,383 9 0,218 0,235 0,384 2 -0,367 -0,669 -0,441 0,817 2 0,865 4 0,140 1 0,785 5																							
s8								1 -0,788 -0,998 -0,612 0,693 2 -0,164 0,679 9 -0,496 -0,669 -0,02 0,512 4 -0,436																						
s9									1 0,821 3 0,953 4 -0,133 0,535 -0,943 0,640 6 0,826 0,506 8 0,119 0,221 6																					
s10										1 0,648 8 -0,648 0,182 5 -0,724 0,498 8 0,708 9 0,079 5 -0,467 0,445 6																				
s11											1 0,038 4 0,750 9 -0,859 0,766 6 0,669 1 0,503 6 0,361 8 -0,059																			
s12												1 0,137 9 -0,056 -0,272 0,009 2 0,679 7 0,893 5 -0,206																		
s13													1 -0,314 0,912 1 0,016 6 0,087 8 0,567 8 -0,703																	
s14														1 -0,361 -0,955 -0,732 -0,173 -0,445																
s15															1 0,096 5 -0,129 0,186 3 -0,538															
s16																1 0,739 6 -7E-04 0,689 6														
s17																	1 0,592 9 0,379 1													
s18																		1 -0,501												
s19																			1											

Pearson Correlations
Hordaland 95-99

	s1	s2	s3	s4	s5	s6	s7	s8	s9	s10	s11	s12	s13	s14	s15	s16	s17	s18	s19									
s1		1 0,9735 -0,806 0,993 1,0,6025 -0,71 0,9814 -0,993 0,5686 -0,99 0,9607 -0,82 0,2907 -0,359 0,7038 0,8911 0,4621 0,9833 -0,021																										
s2			1 -0,92 0,9401 0,769 -0,53 0,9115 -0,94 0,3655 -0,996 0,8719 -0,668 0,5017 -0,136 0,5227 0,7638 0,2471 0,9989 -0,249																									
s3				1 -0,731 -0,958 0,1547 -0,677 0,7313 0,0292 0,882 -0,61 0,3217 -0,801 -0,264 -0,146 -0,449 0,153 -0,9 0,6091																								
s4					1 0,505 -0,787 0,9971 -1 0,6609 -0,966 0,9866 -0,881 0,1768 -0,466 0,782 0,9381 0,5627 0,9553 0,0961																							
s5						1 0,1345 0,4379 -0,506 -0,314 -0,71 0,3573 -0,037 0,9388 0,5286 -0,143 0,1747 -0,429 0,7376 -0,811																						
s6							1 -0,832 0,7869 -0,983 0,602 -0,877 0,9852 0,4676 0,9123 -1 -0,952 -0,953 -0,57 -0,689																					
s7								1 -0,997 0,716 -0,944 0,9961 -0,915 0,1015 -0,532 0,8271 0,9617 0,6238 0,9301 0,1715																				
s8									1 -0,66 0,9664 -0,986 0,881 -0,177 0,4652 -0,782 -0,938 -0,562 -0,956 -0,095																			
s9										1 -0,445 0,7745 -0,937 -0,622 -0,972 0,9846 0,8799 0,9923 0,4095 0,8105																		
s10											1 -0,911 0,73 -0,424 0,2222 -0,595 -0,817 -0,331 -0,999 0,1634																	
s11												1 -0,947 0,0138 -0,604 0,8733 0,9821 0,69 0,8942 0,2573																
s12													1 0,3092 0,8286 -0,984 -0,99 -0,886 -0,702 -0,555															
s13														1 0,7886 -0,475 -0,175 -0,714 0,4599 -0,963														
s14															1 -0,916 -0,743 -0,994 -0,183 -0,926													
s15																1 0,9495 0,9552 0,5628 0,6955												
s16																	1 0,8142 0,7938 0,4349											
s17																		1 0,2931 0,877										
s18																			1 -0,202									
s19																				1								

Pearson Correlations Sogn
og Fjordane 00-04

	s1	s2	s3	s4	s5	s6	s7	s8	s9	s10	s11	s12	s13	s14	s15	s16	s17	s18	s19										
s1		1 -0,04 0,2621 -0,938 0,8743 -0,333 0,9394 -0,294 0,9392 0,9169 0,6571 -0,253 -0,617 -0,757 -0,409 -0,287 0,5194 -0,094 -0,368																											
s2			1 0,2989 -0,256 0,3561 -0,844 -0,225 0,8394 -0,301 0,0849 -0,47 -0,952 0,8105 0,4253 0,9109 -0,945 0,8092 0,9018 0,1401																										
s3				1 -0,507 0,0875 -0,712 0,4497 0,6153 -0,036 0,6254 -0,522 -0,277 0,0951 0,3988 0,0099 -0,346 0,5774 -0,138 0,7846																									
s4					1 -0,881 0,6366 -0,879 -0,057 -0,762 -0,966 -0,372 0,502 0,3452 0,497 0,1539 0,5446 -0,768 -0,096 0,136																								
s5						1 -0,513 0,6654 -0,07 0,7813 0,7398 0,5758 -0,625 -0,236 -0,657 0,0425 -0,633 0,7209 0,3925 -0,537																							
s6							1 -0,263 -0,8 9E-05 -0,558 0,4016 0,8723 -0,475 -0,291 -0,563 0,9056 -0,964 -0,571 -0,347																						
s7								1 -0,295 0,8691 0,9474 0,5267 -0,029 -0,724 -0,637 -0,603 -0,081 0,3892 -0,38 -0,106																					
s8									1 -0,599 0,0125 -0,852 -0,678 0,84 0,7979 0,7786 -0,696 0,6315 0,5679 0,6515																				
s9										1 0,7457 0,8682 -0,005 -0,79 -0,93 -0,582 -0,023 0,2246 -0,231 -0,581																			
s10											1 0,3172 -0,313 -0,465 -0,449 -0,333 -0,369 0,6536 -0,14 0,0281																		
s11												1 0,2036 -0,764 -0,99 -0,56 0,2202 -0,15 -0,2 -0,859																	
s12													1 -0,6 -0,14 -0,775 0,9971 -0,912 -0,882 0,0598																
s13														1 0,7863 0,9545 -0,576 0,3357 0,7587 0,3394															
s14															1 0,5734 -0,147 0,0398 0,2042 0,807														
s15																1 -0,745 0,4957 0,9181 0,1019													
s16																	1 -0,939 -0,846 0,0107												
s17																		1 0,6114 0,0989											
s18																			1 -0,247										
s19																				1									

Pearson Correlations Sogn
og Fjordane 95-99

	s1	s2	s3	s4	s5	s6	s7	s8	s9	s10	s11	s12	s13	s14	s15	s16	s17	s18	s19									
s1	1 -0,578 -0,585 0,6887 0,6608 0,9997 0,0733 -0,479 0,3224 0,9876 0,9979 -0,508 0,7374 0,0645 0,5321 0,8953 0,842 -0,961 -0,655																											
s2		1 10,1939 -0,994 -0,598 -0,856 0,9932 -0,959 -0,442 -0,523 0,9965 0,1253 0,7773 -0,998 -0,881 -0,927 0,7817 0,9952																										
s3			10,1857 -0,995 -0,604 -0,852 0,9922 -0,957 -0,45 -0,53 0,9958 0,117 0,772 -0,998 -0,885 -0,93 0,787 0,996																									
s4				1 -0,089 0,6706 -0,673 0,3067 -0,464 0,794 0,7346 0,275 0,9976 0,7679 -0,247 0,2937 0,1888 -0,46 0,0972																								
s5					1 0,6791 0,797 -0,975 0,9235 0,5347 0,6103 -0,982 -0,02 -0,706 0,9871 0,9259 0,9613 -0,843 -1																							
s6						1 0,098 -0,50 0,3457 0,9834 0,9959 -0,529 0,7205 0,0398 0,5529 0,9061 0,8551 -0,967 -0,673																						
s7							1 -0,911 0,9677 -0,084 0,008 -0,896 -0,62 -0,991 0,8834 0,5098 0,5997 -0,348 -0,802																					
s8								1 -0,985 -0,335 -0,421 0,9995 0,2398 0,8452 -0,998 -0,82 -0,877 0,704 0,9771																				
s9									1 0,1698 0,2599 -0,979 -0,402 -0,924 0,973 0,7103 0,7821 -0,573 -0,927																			
s10										1 0,9957 -0,366 0,8343 0,2204 0,3926 0,8143 0,7469 -0,905 -0,528																		
s11											1 -0,45 0,78 0,1295 0,4757 0,8643 0,805 -0,94 -0,604																	
s12												10,2076 0,827 -1 -0,838 -0,892 0,727 0,9836																
s13													10,7216 -0,179 0,3594 0,2566 -0,521 0,0278															
s14														1 -0,811 -0,387 -0,484 0,2153 0,7122														
s15															10,8535 0,9048 -0,746 -0,988													
s16																10,9942 -0,984 -0,923												
s17																	1 -0,959 -0,959											
s18																		10,8389										
s19																			1									

Pearson Correlations Møre
og Romsdal 00-04

	s1	s2	s3	s4	s5	s6	s7	s8	s9	s10	s11	s12	s13	s14	s15	s16	s17	s18	s19														
s1	1 0,736 -0,233 -0,432 0,8344 0,2522 0,84 -0,192 0,8583 -0,915 0,7934 0,2504 -0,51 -0,865 0,5897 0,912 0,3227 0,4906 -0,398																																
s2		1 -0,824 -0,73 0,5858 0,8242 0,3302 -0,787 0,6444 -0,475 0,503 0,0187 -0,601 -0,88 0,2672 0,8948 -0,391 0,8233 0,0376																															
s3			10,7722 -0,224 -0,941 0,2572 0,9342 -0,153 -0,034 0,006 0,0589 0,3393 0,5926 0,0029 -0,50,7967 -0,704 -0,28																														
s4				1 -0,701 -0,54 0,1204 0,5083 -0,041 0,4019 0,127 -0,582 -0,104 0,8252 -0,616 -0,433 0,3035 -0,268 0,391																													
s5					10,0522 0,5334 0,0078 0,4335 -0,928 0,3388 0,734 0,0242 -0,899 0,925 0,6134 0,4093 0,0832 -0,779																												
s6						1 -0,117 -0,998 0,345 0,106 0,2165 -0,37 -0,614 -0,482 -0,25 0,5941 -0,834 0,8848 0,5281																											
s7							10,1653 0,8857 -0,799 0,9183 -0,001 -0,554 -0,456 0,341 0,7076 0,6038 0,3041 -0,28																										
s8								1 -0,303 -0,169 -0,178 0,4039 0,6005 0,4276 0,3012 -0,547 0,8659 -0,872 -0,57																									
s9									1 -0,637 0,9848 -0,27 -0,851 -0,57 0,1071 0,9138 0,165 0,7116 0,0657																								
s10										1 -0,594 -0,562 0,1481 0,7832 -0,826 -0,67 -0,619 -0,098 0,7236																							
s11											1 -0,331 -0,838 -0,435 0,0382 0,8294 0,2569 0,6309 0,0893																						
s12												10,6966 -0,456 0,9284 -0,08 0,4806 -0,551 -0,947																					
s13													10,2842 0,3911 -0,768 0,2906 -0,907 -0,575																				
s14														1 -0,69 -0,823 -0,01 -0,481 0,44																			
s15															10,2692 0,5609 -0,295 -0,952																		
s16																1 -0,057 0,8047 -0,013																	
s17																	1 -0,575 -0,725																
s18																		10,5586															
s19																			1														

Pearson Correlations Møre
og Romsdal 95-99

	s1	s2	s3	s4	s5	s6	s7	s8	s9	s10	s11	s12	s13	s14	s15	s16	s17	s18	s19						
s1	1 -0,936 -0,566 0,5714 -0,152 0,8245 -0,89 0,7926 -0,375 0,2843 0,9512 0,6257 0,7568 0,9997 -0,942 -0,4190 0,2012 0,9958 0,807																								
s2		1 0,2407 -0,823 -0,205 -0,573 0,6732 -0,956 0,6767 0,0703 -0,999 -0,86 -0,479 -0,945 0,9999 0,7112 0,1553 -0,9 -0,963																							
s3			1 0,3532 0,9007 -0,933 0,8797 0,054 -0,552 -0,951 -0,284 0,289 -0,967 -0,545 0,2563 -0,511 -0,921 -0,639 0,03																						
s4				1 0,7246 0,0066 -0,134 0,9533 -0,975 -0,624 0,7967 0,9977 -0,104 0,5921 -0,814 -0,985 -0,689 0,4937 0,9457																					
s5					1 -0,684 0,5858 0,4825 -0,859 -0,991 0,1608 0,6762 -0,761 -0,126 -0,189 -0,834 -0,999 -0,242 0,4614																				
s6						1 -0,992 0,3084 0,2152 0,7769 0,6096 0,0744 0,9939 0,8097 -0,587 0,1682 0,7203 0,8729 0,3312																			
s7							1 -0,427 -0,089 -0,69 -0,706 -0,201 -0,972 -0,878 0,6851 -0,041 -0,626 -0,928 -0,449																		
s8								1 -0,863 -0,359 0,9421 0,9715 0,2012 0,8079 -0,951 -0,886 -0,438 0,7334 0,9997																	
s9									1 0,782 -0,643 -0,958 0,322 -0,399 0,6647 0,9989 0,8324 -0,289 -0,85																
s10										1 -0,025 -0,570 0,8419 0,2597 0,0542 0,7513 0,9963 0,371 -0,337															
s11											1 0,8358 0,5182 0,9588 -1 -0,679 -0,111 0,9189 0,9498														
s12												1 -0,036 0,6454 -0,851 -0,971 -0,638 0,5515 0,9656													
s13													1 0,7398 -0,493 0,2762 0,7926 0,8135 0,2247												
s14														1 -0,95 -0,442 0,1762 0,9931 0,8218											
s15															1 0,6998 0,1394 -0,907 -0,958										
s16																1 0,8049 -0,334 -0,874									
s17																	1 0,2902 -0,416								
s18																		1 0,7495							
s19																			1						

Pearson Correlations Sør-
Trøndelag 00-04

	s1	s2	s3	s4	s5	s6	s7	s8	s9	s10	s11	s12	s13	s14	s15	s16	s17	s18	s19						
s1	1 0,7853 -0,056 0,9677 0,9543 -0,094 0,2533 -0,563 0,896 -0,2 0,9665 -0,748 -0,423 -0,766 0,6567 0,8667 0,382 0,3384 0,4374																								
s2		1 0,5263 0,8323 0,571 -0,475 0,7767 -0,354 0,43 -0,238 0,6078 -0,836 -0,281 -0,782 0,3295 0,824 0,5881 -0,15 0,5856																							
s3			1 0,1399 -0,288 -0,299 0,9436 0,4775 -0,441 -0,484 -0,249 -0,125 0,448 -0,004 -0,58 -0,006 0,7154 -0,892 0,0232																						
s4				1 0,9076 0,0018 0,4111 -0,347 0,8248 -0,426 0,9242 -0,653 -0,198 -0,648 0,4459 0,7671 0,6024 0,1017 0,2882																					
s5					1 0,1571 -0,007 -0,514 0,9857 -0,231 0,999 -0,555 -0,355 -0,602 0,6579 0,7249 0,2944 0,4636 0,2398																				
s6						1 -0,436 0,5754 0,2334 -0,631 0,1262 0,7307 0,6685 0,6936 -0,39 -0,566 0,2662 -0,095 -0,907																			
s7							1 0,1983 -0,175 -0,42 0,0367 -0,431 0,1998 -0,32 -0,29 0,3232 0,7344 -0,709 0,2695																		
s8								1 -0,534 -0,696 -0,516 0,7933 0,9844 0,8561 -0,976 -0,815 0,5011 -0,823 -0,849																	
s9									1 -0,162 0,9773 -0,47 -0,378 -0,534 0,6923 0,6557 0,17 0,5725 0,1851																
s10										1 -0,237 -0,311 -0,802 -0,365 0,5795 0,2253 -0,913 0,6601 0,6477															
s11											1 -0,583 -0,359 -0,625 0,6541 0,7465 0,3179 0,4396 0,2639														
s12												1 0,7596 0,9926 -0,735 -0,975 -0,051 -0,331 -0,912													
s13													1 0,8169 -0,927 -0,746 0,5973 -0,793 -0,883												
s14														1 -0,812 -0,985 0,0291 -0,441 -0,913											
s15															1 0,805 -0,441 0,88 0,7297										
s16																1 0,0861 0,4288 0,8274									
s17																	1 -0,71 -0,297								
s18																		1 0,419							
s19																			1						

Pearson Correlations Sør
Trøndelag 95-99

	s1	s2	s3	s4	s5	s6	s7	s8	s9	s10	s11	s12	s13	s14	s15	s16	s17	s18	s19
s1	1	0,8783	0,1183	0,9565	0,5859	0,4625	-0,987	-1E-03	0,6779	0,4918	0,7196	0,4635	0,9752	0,7913	-0,825	-0,702	-0,641	0,6633	0,068
s2		1	-0,371	0,9796	0,9021	0,8301	-0,944	-0,479	0,2439	0,0156	0,3	-0,017	0,9623	0,4027	-0,454	-0,957	-0,93	0,2247	-0,417
s3			1	-0,177	-0,735	-0,826	0,0446	0,9929	0,8102	0,9228	0,7746	0,9347	-0,104	0,7007	-0,659	0,6247	0,6859	0,8216	0,9987
s4				1	0,7969	0,7011	-0,991	-0,293	0,4338	0,2163	0,4856	0,1848	0,9973	0,5785	-0,624	-0,879	-0,837	0,416	-0,226
s5					1	0,9895	-0,71	-0,811	-0,199	-0,417	-0,141	-0,446	0,7507	-0,032	-0,025	-0,989	-0,998	-0,218	-0,769
s6						1	-0,6	-0,887	-0,338	-0,545	-0,283	-0,571	0,6472	-0,176	0,1194	-0,956	-0,977	-0,357	-0,853
s7							1	0,1634	-0,549	-0,344	-0,597	-0,313	-0,998	-0,682	0,7223	0,808	0,7575	-0,533	0,0949
s8								1	0,7345	0,8702	0,6937	0,8856	-0,222	0,6106	-0,564	0,7133	0,7678	0,7477	0,9976
s9									1	0,9735	0,9983	0,9656	0,4984	0,9859	-0,975	0,0484	0,1291	0,9998	0,7796
s10										1	0,9585	0,9995	0,287	0,9215	-0,898	0,2755	0,3525	0,9778	0,9021
s11											1	0,9489	0,5481	0,994	-0,986	-0,01	0,0711	0,997	0,7418
s12												1	0,256	0,9085	-0,883	0,3063	0,3824	0,9706	0,9156
s13													1	0,6365	-0,68	-0,842	-0,795	0,4813	-0,154
s14														1	-0,998	-0,119	-0,039	0,9824	0,6638
s15															1	0,1761	0,0957	-0,97	-0,62
s16																1	0,9967	0,068	0,6633
s17																	1	0,1486	0,7217
s18																		1	0,7917
s19																			1

Pearson Correlations Nord
Trøndelag 00-04

	s1	s2	s3	s4	s5	s6	s7	s8	s9	s10	s11	s12	s13	s14	s15	s16	s17	s18	s19
s1	1	0,6499	0,7233	0,2093	0,1583	0,5305	0,9826	-0,754	0,9349	0,2926	0,0454	-0,247	-0,943	-0,859	0,3039	0,5077	0,2294	0,9435	-0,209
s2		1	0,6632	-0,576	-0,634	-0,165	0,6437	-0,855	0,4	0,7719	-0,693	0,3253	-0,858	-0,403	0,5448	0,7864	0,6083	0,4405	-0,308
s3			1	-0,267	-0,014	0,5454	0,8315	-0,379	0,752	0,7742	-0,405	-0,484	-0,711	-0,87	0,8727	0,9165	0,8095	0,4698	-0,82
s4				1	0,8903	0,5949	0,1474	0,1666	0,3883	-0,816	0,9861	-0,446	0,0822	-0,24	-0,599	-0,629	-0,732	0,4779	0,435
s5					1	0,8305	0,1832	0,4294	0,4548	-0,591	0,8732	-0,793	0,1796	-0,421	-0,241	-0,388	-0,409	0,3253	0,0114
s6						1	0,6128	0,155	0,7966	-0,062	0,504	-0,937	-0,24	-0,836	0,2872	0,1859	0,1112	0,5283	-0,451
s7							1	-0,661	0,9588	0,3989	-0,019	-0,373	-0,913	-0,93	0,4567	0,6174	0,371	0,8809	-0,383
s8								1	-0,472	-0,331	0,2853	-0,448	0,9029	0,339	-0,073	-0,394	-0,121	-0,71	-0,16
s9									1	0,194	0,233	-0,57	-0,774	-0,965	0,3484	0,4503	0,2221	0,8897	-0,349
s10										1	-0,89	-6E-04	-0,476	-0,363	0,9178	0,9623	0,967	-0,036	-0,78
s11											1	-0,396	0,2392	-0,09	-0,677	-0,737	-0,798	0,3327	0,4971
s12												1	-0,035	0,6842	-0,392	-0,192	-0,226	-0,202	0,5999
s13													1	0,705	-0,365	-0,621	-0,348	-0,836	0,1913
s14														1	-0,56	-0,603	-0,431	-0,744	0,5792
s15															1	0,9451	0,9837	-0,019	-0,962
s16																1	0,9507	0,1936	-0,83
s17																	1	-0,105	-0,911
s18																		1	0,0835
s19																			1

Pearson Correlations Nord
Trøndelag 95-99

	s1	s2	s3	s4	s5	s6	s7	s8	s9	s10	s11	s12	s13	s14	s15	s16	s17	s18	s19									
s1		1 0,0911 0,7999 0,6173 -0,884 -0,937 0,993 0,871 -0,595 0,972 0,8165 0,8548 -0,211 0,6109 -0,86 -0,995 -0,808 -0,038 0,9554																										
s2			1 -0,525 -0,727 0,3852 0,2639 0,2079 -0,41 0,7459 0,3225 0,6494 0,5946 -0,993 -0,733 0,4302 -0,187 -0,661 -0,999 -0,207																									
s3				1 0,9659 -0,988 -0,96 0,7236 0,9916 -0,958 0,6366 0,3066 0,3724 0,4174 0,9638 -0,994 -0,738 -0,292 0,5692 0,9414																								
s4					1 -0,914 -0,854 0,5203 0,9242 -1 0,4153 0,0498 0,1195 0,6384 1 -0,933 -0,538 -0,035 0,7626 0,822																							
s5						1 0,9918 -0,823 -1 0,9019 -0,749 -0,452 -0,513 -0,27 -0,91 0,9988 0,8344 0,4381 -0,434 -0,983																						
s6							1 -0,889 -0,988 0,8392 -0,828 -0,562 -0,619 -0,145 -0,85 0,9843 0,8981 0,5496 -0,315 -0,998																					
s7								1 0,807 -0,496 0,9929 0,8789 0,9101 -0,325 0,5133 -0,794 -1 -0,872 -0,156 0,914																				
s8									1 -0,913 0,7312 0,4274 0,4896 0,2961 0,9211 -1 -0,819 -0,414 0,4578 0,9772																			
s9										1 -0,39 -0,022 -0,092 -0,66 -1 0,9221 0,5145 0,0069 -0,78 -0,806																		
s10											1 0,9293 0,9528 -0,435 0,4079 -0,716 -0,99 -0,924 -0,272 0,8594																	
s11												1 0,9976 -0,737 0,0417 -0,407 -0,869 -1 -0,608 0,6097																
s12													1 -0,688 0,1114 -0,47 -0,901 -0,996 -0,551 0,6636															
s13														1 0,6446 -0,317 0,3053 0,7471 0,9847 0,0865														
s14															1 -0,93 -0,531 -0,027 0,7678 0,8174													
s15																1 0,8062 0,3932 -0,478 -0,972												
s16																	1 0,861 0,1349 -0,922											
s17																		1 0,62 -0,598										
s18																			1 0,2586									
s19																				1								

Pearson Correlations
Nordland 00-04

	s1	s2	s3	s4	s5	s6	s7	s8	s9	s10	s11	s12	s13	s14	s15	s16	s17	s18	s19														
s1		1 0,0599 0,6299 0,5575 0,8996 -0,18 0,3979 -0,842 0,993 0,9422 0,9042 0,7004 -0,573 -0,905 0,8122 0,6014 0,5843 0,7536 0,2086																															
s2			1 0,8065 -0,076 -0,361 -0,917 0,0294 -0,587 0,0708 -0,117 0,4115 -0,494 -0,685 0,1983 -0,099 -0,212 -0,497 -0,611 0,8864																														
s3				1 0,3489 0,2331 -0,775 0,1632 -0,949 0,6225 0,4309 0,822 -0,02 -0,814 -0,341 0,4545 0,1113 -0,104 -0,033 0,7621																													
s4					1 0,4365 0,3107 -0,534 -0,445 0,4557 0,3089 0,273 0,0628 0,1602 -0,25 0,9334 -0,262 -0,119 0,4828 -0,339																												
s5						1 0,1649 0,479 -0,528 0,9044 0,9584 0,6959 0,9165 -0,311 -0,965 0,7161 0,7465 0,8294 0,9526 -0,118																											
s6							1 -0,423 0,6241 -0,233 -0,12 -0,576 0,1844 0,8829 0,0624 0,2013 -0,169 0,1477 0,4571 -0,997																										
s7								1 -0,299 0,503 0,6366 0,5756 0,7068 -0,687 -0,673 -0,195 0,9344 0,7909 0,3068 0,4878																									
s8									1 -0,837 -0,688 -0,944 -0,281 0,8127 0,6113 -0,628 -0,341 -0,179 -0,28 -0,628																								
s9										1 0,9673 0,9293 0,7446 -0,635 -0,936 0,7386 0,6836 0,6461 0,7422 0,2683																							
s10											1 0,8563 0,8879 -0,569 -0,995 0,6294 0,8273 0,8185 0,8277 0,169																						
s11												1 0,5504 -0,867 -0,807 0,5501 0,6316 0,4801 0,4487 0,6036																					
s12													1 -0,284 -0,931 0,3829 0,9116 0,9832 0,8863 -0,119																				
s13														1 0,5236 -0,089 -0,559 -0,291 -0,009 -0,907																			
s14															1 -0,579 -0,867 -0,873 -0,852 -0,117																		
s15																1 0,0967 0,2079 0,7025 -0,206																	
s16																	1 0,9486 0,6255 0,2386																
s17																		1 0,7977 -0,078															
s18																			1 -0,413														
s19																				1													

Pearson Correlations
Nordland 95-99

	s1	s2	s3	s4	s5	s6	s7	s8	s9	s10	s11	s12	s13	s14	s15	s16	s17	s18	s19
s1	1 -0,603 -0,366 0,921 20,712 20,913 2 -0,827 -0,17 0,19 17 -0,815 0,459 3 0,465 1 0,887 70,721 20,071 18 0,998 6 0,470 2 0,033 8 0,259 2																		
s2		1 -0,521 -0,866 0,130 1 -0,226 0,947 5 -0,683 0,667 0,029 9 -0,986 -0,987 -0,903 -0,988 0,752 1 -0,561 0,420 1 -0,817 0,613 9																	
s3			1 0,025 -0,914 -0,713 -0,221 0,979 3 -0,984 0,837 4 0,658 5 0,653 6 0,103 6 0,380 7 -0,954 -0,414 -0,993 0,917 7 -0,994																
s4				1 0,382 9 0,682 7 -0,98 0,226 7 -0,205 -0,526 0,768 8 0,772 9 0,996 9 0,933 9 -0,322 0,899 5 0,089 7 0,420 1 -0,137															
s5					1 0,936 4 -0,194 -0,813 0,825 5 -0,987 -0,296 -0,29 0,309 0,027 3 0,751 3 0,748 1 0,954 4 -0,678 0,862 6														
s6						1 -0,526 -0,557 0,574 9 -0,98 0,057 6 0,064 0,623 0,376 3 0,472 0,933 4 0,789 -0,376 0,630 2													
s7							1 -0,414 0,393 8 0,347 9 -0,88 -0,883 -0,993 -0,986 0,501 9 -0,796 0,107 9 -0,59 0,329 3												
s8								1 -1 0,709 5 0,797 1 0,793 2 0,302 6 0,559 9 -0,995 -0,222 -0,95 0,979 1 -0,996											
s9									1 -0,725 -0,784 -0,78 -0,282 -0,542 0,992 7 0,243 0,956 3 -0,974 0,997 6										
s10										1 0,14 0,133 6 -0,457 -0,187 -0,636 -0,844 -0,894 0,551 3 -0,771									
s11											1 0,816 8 0,946 6 -0,853 0,412 1 -0,568 0,903 3 -0,739								
s12												1 0,820 5 0,948 7 -0,85 0,418 -0,563 0,900 5 -0,734							
s13													1 0,959 2 -0,396 0,862 3 0,011 0,490 2 -0,215						
s14														1 -0,639 0,683 8 -0,272 0,716 7 -0,482					
s15															1 0,124 1 0,914 -0,994 0,981 9				
s16																1 0,515 9 -0,019 0,309 5			
s17																	1 -0,866 0,974 3		
s18																		1 -0,957	
s19																		1	

Pearson Correlations
Troms 00-04

	s1	s2	s3	s4	s5	s6	s7	s8	s9	s10	s11	s12	s13	s14	s15	s16	s17	s18	s19
s1	1 -0,328 -0,432 0,946 8 0,511 5 -0,141 0,282 8 0,877 3 0,999 8 -0,098 0,727 8 -0,304 0,004 -0,99 -0,453 0,685 0,819 0,027 5 -0,858																		
s2		1 0,147 6 -0,02 -0,586 0,665 7 0,219 8 -0,64 -0,322 0,068 7 -0,828 -0,264 -0,927 0,426 4 -0,318 0,239 1 -0,223 -0,34 -0,038																	
s3			1 -0,32 0,440 5 -0,604 0,692 2 -0,654 -0,413 0,939 4 -0,575 -0,658 -0,189 0,505 8 0,861 8 0,193 3 -0,869 0,830 3 0,017 8																
s4				1 0,418 8 -0,003 0,455 6 0,687 2 0,950 2 0,015 0,470 2 -0,489 -0,316 -0,896 -0,509 0,850 9 0,735 3 0,008 3 -0,953															
s5					1 -0,909 0,661 1 0,391 5 0,524 0,665 1 0,438 8 -0,627 0,288 6 -0,491 0,534 0,529 6 -0,023 0,858 6 -0,575														
s6						1 -0,491 -0,144 -0,153 -0,698 -0,30 0,437 4 -0,494 0,146 6 -0,811 -0,174 0,34 -0,928 0,187 7													
s7							1 -0,147 0,302 9 0,880 7 -0,257 -0,998 -0,503 -0,167 0,377 2 0,840 9 -0,267 0,734 9 -0,704												
s8								1 0,868 9 -0,4 0,957 2 0,140 2 0,429 3 -0,935 -0,437 0,255 3 0,873 5 -0,128 -0,509											
s9									1 -0,077 0,718 4 -0,324 -0,005 -0,988 -0,44 0,698 5 0,807 4 0,044 8 -0,867										
s10										1 -0,379 -0,852 -0,238 0,186 3 0,763 2 0,488 -0,647 0,914 8 -0,316									
s11											1 0,267 1 0,671 1 -0,813 -0,233 0,039 0,729 2 -0,028 -0,303								
s12												1 0,55 0,184 5 -0,32 -0,866 0,231 3 -0,69 0,728 7							
s13													1 -0,127 0,333 5 -0,586 0,071 0,155 8 0,404 8						
s14														1 0,458 7 -0,579 -0,855 0,015 4 0,779 6					
s15															1 -0,152 -0,819 0,855 7 0,266 4				
s16																1 0,276 4 0,351 3 -0,962			
s17																	1 -0,53 -0,496		
s18																		1 -0,269	
s19																		1	

Pearson Correlations
Troms 95-99

	s1	s2	s3	s4	s5	s6	s7	s8	s9	s10	s11	s12	s13	s14	s15	s16	s17	s18	s19						
s1	1	0,9831	-0,9180,8943	-0,868	-0,955	-0,356	0,9695	-0,807	0,1979	-0,477	0,9361	-0,030	0,8804	-0,926	-0,678	-0,863	0,9584	-0,977							
s2		1	-0,830,9611	-0,944	-0,993	-0,1790,9083	-0,685	0,3739	-0,63	0,856	-0,2120,7788	-0,841	-0,801	-0,941	0,89	-0,999									
s3			1	-0,6430,6002	0,7592	0,6972	-0,987	0,975	0,20730,0894	-0,999	-0,369	-0,996	0,9998	0,3306	0,592	-0,993	0,8117								
s4				1	-0,998	-0,9870,10030,7574	-0,457	0,6155	-0,820,6799	-0,474	0,5751	-0,658	-0,935	-0,998	0,7294	-0,969									
s5					1	0,9763	-0,155	-0,720,4075	-0,658	0,8503	-0,638	0,5216	-0,529	0,616	0,95330,9999	-0,691	0,9544								
s6						1	0,0627	-0,8530,5956	-0,479	0,7162	-0,790	0,3245	-0,7	0,7720,8653	0,974	-0,831	0,9964								
s7							1	-0,574	0,8390,8459	-0,652	-0,661	-0,924	-0,7560,6828	-0,446	-0,165	-0,608	0,1471								
s8								1	-0,927	-0,048	-0,2470,99380,21620,9698	-0,99	-0,477	-0,7130,9991	-0,895										
s9									1	0,4195	-0,134	-0,963	-0,567	-0,991	0,97040,11260,3981	-0,9420,6616									
s10										1	-0,956	-0,159	-0,986	-0,2910,1878	-0,855	-0,666	-0,09	-0,403							
s11											1	-0,1380,8926	-0,0030,10920,96960,8557	-0,2070,6544											
s12												1	0,32360,9909	-1	-0,376	-0,6310,9976	-0,839								
s13													1	0,4479	-0,351	0,7550,53030,2569	0,243								
s14														1	-0,994	-0,248	-0,520,9791	-0,758							
s15															1	0,34930,6079	-0,9950,8231								
s16																1	0,9563	-0,4400,8196							
s17																	1	-0,6830,9513							
s18																		1	-0,875						
s19																			1						

Pearson Correlations
Finnmark 00-04

	s1	s2	s3	s4	s5	s6	s7	s8	s9	s10	s11	s12	s13	s14	s15	s16	s17	s18	s19										
s1	1	0,3786	-0,418	-0,7650,7006	0,3575	-0,668	-0,737	-0,7520,87530,99520,0966	-0,271	-0,992	-0,4210,77560,0309	-0,031	-0,517																
s2		1	-0,484	-0,83	-0,227	-0,728	0,135	-0,805	-0,5580,35220,3367	-0,139	-0,735	-0,266	-0,898	-0,18	-0,911	-0,926	0,0175												
s3			1	0,75280,29330,2124	-0,384	0,815	-0,075	-0,778	-0,4740,84470,92170,34210,8183	-0,454	0,2780,2332	-0,555																	
s4				1	-0,096	0,282	0,099	0,995	0,588	-0,814	-0,760,30210,7907	0,680,9052	-0,3950,53890,55910,0373																
s5					1	0,7651	-0,983	-0,04	-0,650,37130,67840,63350,4959	-0,7760,3345	0,6390,51720,4304	-0,877																	
s6						1	-0,6540,2812	-0,0160,27290,39270,24950,5674	-0,467	0,6110,73990,93840,9045	-0,432																		
s7							1	0,02830,7408	-0,278	-0,629	-0,745	-0,5220,7347	-0,319	-0,504	-0,394	-0,2990,9491													
s8								1	0,5062	-0,835	-0,7410,39460,83660,65030,9217	-0,4170,51730,5282	-0,052																
s9									1	-0,381	-0,684	-0,5920,00690,73290,2984	-0,214	0,3140,40540,8064															
s10										1	0,9126	-0,392	-0,58	-0,848	-0,5950,84620,03950,0243	-0,05													
s11											1	0,0184	-0,3	-0,989	-0,4220,82650,08020,0252	-0,452													
s12												1	0,7654	-0,1540,5319	-0,190,12110,0347	-0,899													
s13													1	0,16340,9519	-0,112	0,624	0,58	-0,576											
s14														1	-0,0780,75130,7354	-0,322													
s15															1	0,56040,5375	-0,214												
s16																1	0,9948	-0,186											
s17																	1	-0,086											
s18																		1											
s19																			1										

Pearson Correlations
Finnmark 95-99

	s1	s2	s3	s4	s5	s6	s7	s8	s9	s10	s11	s12	s13	s14	s15	s16	s17	s18	s19
s1	1	-0,95	-0,874	-0,834	0,934	0,9821	0,5065	-0,701	0,9984	0,5157	-0,67	-0,999	-0,071	-0,898	0,972	-0,818	-0,916	-0,762	0,4354
s2		1	0,6786	0,6212	-0,999	-0,874	-0,2130	0,4436	-0,931	-0,757	0,4056	0,9358	-0,243	0,7166	-0,85	0,5983	0,7462	0,5217	-0,694
s3			1	0,9971	-0,642	-0,95	-0,862	0,9593	-0,9	-0,034	0,9466	0,894	0,5476	0,9986	-0,963	0,9946	0,9954	0,9807	0,0576
s4				1	-0,583	-0,923	-0,898	0,9779	-0,864	0,0419	0,9682	0,8577	0,6092	0,9917	-0,941	0,9996	0,9852	0,9926	0,1328
s5					1	0,8499	0,1651	-0,4	0,9122	0,7877	-0,361	-0,918	0,2896	-0,682	0,8241	-0,559	-0,713	-0,48	0,7282
s6						1	0,66	-0,823	0,9912	0,3448	-0,798	-0,989	-0,258	-0,965	0,9989	-0,912	-0,975	-0,870	0,2578
s7							1	-0,97	0,5547	-0,478	-0,979	-0,544	-0,896	-0,834	0,6948	-0,91	-0,809	-0,945	-0,556
s8								1	-0,74	0,2499	0,9991	0,7311	0,7616	0,943	-0,849	0,9835	0,9276	0,996	0,3372
s9									1	0,4661	-0,711	-1	-0,128	-0,922	0,9838	-0,85	-0,938	-0,797	0,3835
s10										1	0,2903	-0,478	0,8178	-0,087	0,3001	0,0707	-0,13	0,1626	0,9958
s11											1	0,7019	0,7881	0,9282	-0,826	0,9751	0,9112	0,9914	0,3764
s12												1	0,1147	0,9166	-0,981	0,8424	0,933	0,7891	-0,396
s13													1	0,5024	-0,304	0,6319	0,4645	0,7008	0,8669
s14														1	-0,976	0,9876	0,9991	0,9689	0,0045
s15															1	-0,93	-0,985	-0,892	0,2118
s16																1	0,9799	0,9957	0,1614
s17																	1	0,9573	-0,039
s18																		1	0,2519
s19																			1

1995-1999	Gjennomsnittlig markedsandel 95 - 99	s1	s2	s3	s4	s5	s6	s7	s8	s9	s10	s11	s12	s13	s14	s15	s16	s17	s18	s19
1	0,024		0,001	0,000	0,001	0,240	0,028	0,055	0,125	0,012	0,002	0,047	0,020	0,026	0,095	0,051	0,068	0,056	0,115	0,036
2	0,011		0,000	0,019	0,002	0,121	0,021	0,052	0,167	0,015	0,011	0,079	0,013	0,024	0,108	0,130	0,057	0,048	0,087	0,034
3	0,000		0,000	0,006	0,000	0,107	0,011	0,039	0,166	0,017	0,042	0,049	0,048	0,103	0,066	0,137	0,058	0,031	0,075	0,044
4	0,077		0,000	0,000	0,002	0,160	0,022	0,056	0,105	0,015	0,000	0,043	0,021	0,031	0,095	0,043	0,080	0,065	0,128	0,055
5	0,061		0,000	0,000	0,002	0,163	0,042	0,059	0,101	0,031	0,000	0,050	0,022	0,030	0,100	0,039	0,068	0,067	0,128	0,038
6	0,027		0,000	0,000	0,002	0,240	0,049	0,055	0,125	0,021	0,000	0,043	0,018	0,025	0,094	0,057	0,059	0,051	0,101	0,033
7	0,023		0,000	0,000	0,010	0,208	0,022	0,060	0,121	0,015	0,027	0,042	0,018	0,031	0,098	0,059	0,065	0,058	0,110	0,034
8	0,024		0,000	0,000	0,002	0,242	0,065	0,056	0,095	0,018	0,005	0,040	0,018	0,022	0,083	0,065	0,055	0,056	0,110	0,040
9	0,025		0,002	0,000	0,003	0,192	0,040	0,056	0,091	0,018	0,055	0,037	0,019	0,033	0,090	0,051	0,068	0,069	0,118	0,033
10	0,013		0,004	0,003	0,000	0,240	0,056	0,054	0,094	0,017	0,035	0,043	0,023	0,029	0,081	0,061	0,061	0,057	0,099	0,032
11	0,022		0,005	0,117	0,005	0,185	0,025	0,051	0,095	0,018	0,034	0,056	0,015	0,024	0,071	0,080	0,042	0,047	0,082	0,027
12	0,008		0,017	0,015	0,001	0,167	0,040	0,051	0,099	0,018	0,048	0,054	0,019	0,047	0,082	0,072	0,057	0,068	0,100	0,037
13	0,035		0,033	0,001	0,002	0,207	0,087	0,061	0,078	0,021	0,002	0,052	0,015	0,025	0,073	0,032	0,057	0,062	0,118	0,037
14	0,020		0,055	0,000	0,006	0,241	0,034	0,056	0,103	0,014	0,011	0,058	0,014	0,031	0,074	0,044	0,048	0,057	0,106	0,029
15	0,021		0,013	0,007	0,001	0,139	0,026	0,054	0,118	0,018	0,002	0,046	0,027	0,045	0,094	0,096	0,065	0,084	0,112	0,034
16	0,070		0,015	0,001	0,004	0,169	0,028	0,061	0,086	0,015	0,001	0,052	0,020	0,020	0,090	0,031	0,077	0,092	0,124	0,043
17	0,017		0,043	0,005	0,004	0,142	0,059	0,059	0,088	0,019	0,002	0,062	0,019	0,030	0,082	0,038	0,102	0,071	0,124	0,035
18	0,013		0,036	0,001	0,001	0,099	0,026	0,058	0,111	0,022	0,002	0,057	0,026	0,038	0,082	0,049	0,115	0,091	0,140	0,032
19	0,012		0,060	0,000	0,017	0,108	0,034	0,069	0,092	0,025	0,001	0,051	0,021	0,024	0,079	0,029	0,134	0,080	0,126	0,040

	Gjennomsnittlig markedsandel 00 - 04	s1	s2	s3	s4	s5	s6	s7	s8	s9	s10	s11	s12	s13	s14	s15	s16	s17	s18	s19
1	0,018		0,001	0,000	0,002	0,219	0,027	0,072	0,113	0,015	0,002	0,037	0,016	0,026	0,076	0,084	0,060	0,062	0,129	0,042
2	0,009		0,000	0,012	0,002	0,095	0,007	0,049	0,155	0,017	0,016	0,080	0,046	0,024	0,086	0,153	0,052	0,056	0,103	0,038
3	0,000		0,000	0,011	0,000	0,072	0,009	0,038	0,147	0,018	0,036	0,037	0,036	0,103	0,058	0,204	0,074	0,035	0,073	0,049
4	0,063		0,000	0,000	0,003	0,143	0,035	0,060	0,096	0,014	0,000	0,029	0,020	0,030	0,078	0,068	0,075	0,061	0,137	0,087
5	0,050		0,000	0,000	0,002	0,141	0,044	0,073	0,094	0,029	0,000	0,037	0,027	0,030	0,083	0,065	0,066	0,069	0,140	0,050
6	0,024		0,000	0,000	0,002	0,202	0,038	0,073	0,124	0,021	0,000	0,042	0,013	0,025	0,071	0,094	0,057	0,055	0,119	0,041
7	0,019		0,000	0,000	0,012	0,191	0,024	0,067	0,115	0,016	0,032	0,038	0,018	0,026	0,070	0,093	0,057	0,062	0,121	0,040
8	0,020		0,000	0,001	0,002	0,186	0,077	0,065	0,093	0,019	0,008	0,032	0,013	0,024	0,077	0,078	0,054	0,065	0,135	0,049

9	0,020	0,002 0,002 0,003 0,161 0,052 0,058 0,091 0,019 0,046 0,034 0,016 0,032 0,075 0,081 0,063 0,066 0,137 0,043
10	0,010	0,004 0,001 0,001 0,192 0,049 0,070 0,096 0,020 0,028 0,042 0,026 0,030 0,065 0,083 0,056 0,070 0,120 0,037
11	0,015	0,004 0,107 0,005 0,165 0,027 0,057 0,093 0,017 0,042 0,040 0,015 0,025 0,055 0,114 0,042 0,052 0,093 0,030
12	0,006	0,015 0,022 0,001 0,142 0,039 0,054 0,089 0,019 0,056 0,053 0,016 0,047 0,065 0,108 0,051 0,068 0,110 0,039
13	0,026	0,024 0,000 0,004 0,205 0,097 0,060 0,069 0,021 0,001 0,047 0,010 0,028 0,059 0,054 0,060 0,066 0,134 0,034
14	0,014	0,043 0,002 0,006 0,248 0,034 0,057 0,087 0,014 0,031 0,047 0,006 0,033 0,058 0,070 0,048 0,056 0,119 0,028
15	0,015	0,008 0,006 0,001 0,107 0,026 0,061 0,112 0,021 0,002 0,044 0,029 0,049 0,074 0,136 0,062 0,084 0,125 0,040
16	0,055	0,016 0,006 0,003 0,165 0,033 0,063 0,083 0,016 0,001 0,052 0,026 0,022 0,076 0,049 0,070 0,083 0,142 0,040
17	0,014	0,039 0,000 0,004 0,126 0,071 0,056 0,083 0,019 0,001 0,051 0,017 0,031 0,073 0,066 0,095 0,076 0,141 0,037
18	0,008	0,026 0,002 0,001 0,067 0,042 0,057 0,086 0,023 0,001 0,054 0,031 0,036 0,068 0,085 0,109 0,101 0,166 0,039
19	0,008	0,060 0,000 0,015 0,062 0,038 0,053 0,079 0,026 0,001 0,054 0,013 0,026 0,080 0,050 0,132 0,095 0,156 0,051

Selstad 7

Gj snitt markedsandele r 95-99																			
	s1	s2	s3	s4	s5	s6	s7	s8	s9	s10	s11	s12	s13	s14	s15	s16	s17	s18	s19
1	0,006	0,000	0,009	0,001	0,126	0,015	0,044	0,162	0,016	0,029	0,057	0,036	0,073	0,080	0,125	0,059	0,038	0,083	0,040
2	0,069	0,000	0,000	0,002	0,162	0,032	0,057	0,103	0,023	0,000	0,047	0,021	0,031	0,097	0,041	0,074	0,066	0,128	0,047
3	0,025	0,000	0,000	0,005	0,230	0,045	0,057	0,115	0,019	0,010	0,042	0,018	0,026	0,092	0,060	0,060	0,055	0,106	0,036
4	0,017	0,003	0,002	0,001	0,223	0,050	0,054	0,093	0,017	0,042	0,041	0,022	0,031	0,084	0,057	0,063	0,061	0,106	0,032
5	0,018	0,022	0,046	0,003	0,192	0,038	0,053	0,096	0,018	0,032	0,055	0,016	0,034	0,076	0,066	0,050	0,058	0,096	0,032
6	0,035	0,014	0,005	0,002	0,148	0,027	0,056	0,108	0,017	0,002	0,048	0,025	0,038	0,092	0,077	0,068	0,086	0,116	0,036
7	0,015	0,044	0,003	0,005	0,122	0,044	0,060	0,097	0,021	0,001	0,058	0,022	0,032	0,081	0,040	0,111	0,079	0,130	0,035
Gj snitt markedsandele r 00-04																			
	s1	s2	s3	s4	s5	s6	s7	s8	s9	s10	s11	s12	s13	s14	s15	s16	s17	s18	s19
1	0,005	0,000	0,010	0,001	0,096	0,011	0,045	0,145	0,017	0,027	0,049	0,037	0,072	0,068	0,175	0,066	0,044	0,088	0,045
2	0,057	0,000	0,000	0,002	0,142	0,039	0,067	0,095	0,021	0,000	0,033	0,023	0,030	0,081	0,066	0,071	0,065	0,139	0,069
3	0,021	0,000	0,000	0,005	0,194	0,043	0,069	0,113	0,019	0,013	0,038	0,015	0,025	0,072	0,090	0,056	0,060	0,124	0,043
4	0,013	0,003	0,001	0,001	0,180	0,050	0,066	0,094	0,019	0,034	0,039	0,022	0,031	0,069	0,082	0,059	0,068	0,126	0,039
5	0,012	0,018	0,046	0,004	0,176	0,039	0,056	0,088	0,018	0,042	0,047	0,013	0,035	0,059	0,098	0,048	0,060	0,108	0,033
6	0,026	0,010	0,006	0,002	0,123	0,028	0,061	0,104	0,019	0,002	0,046	0,028	0,042	0,074	0,112	0,064	0,084	0,130	0,040

7	0,011	0,037	0,001	0,005	0,096	0,056	0,056	0,084	0,022	0,001	0,052	0,021	0,032	0,072	0,070	0,106	0,087	0,152	0,040
---	-------	-------	-------	-------	-------	-------	-------	-------	-------	-------	-------	-------	-------	-------	-------	-------	-------	-------	-------

Selstad 9

95-99	s1	s2	s3	s4	s5	s6	s7	s8	s9	s10	s11	s12	s13	s14	s15	s16	s17	s18	s19
1	0,006	0,000	0,009	0,001	0,126	0,015	0,044	0,162	0,016	0,029	0,057	0,036	0,073	0,080	0,125	0,059	0,038	0,083	0,040
2	0,069	0,000	0,000	0,002	0,162	0,032	0,057	0,103	0,023	0,000	0,047	0,021	0,031	0,097	0,041	0,074	0,066	0,128	0,047
3	0,025	0,000	0,000	0,005	0,230	0,045	0,057	0,115	0,019	0,010	0,042	0,018	0,026	0,092	0,060	0,060	0,055	0,106	0,036
4	0,017	0,003	0,002	0,001	0,223	0,050	0,054	0,093	0,017	0,042	0,041	0,022	0,031	0,084	0,057	0,063	0,061	0,106	0,032
5	0,015	0,011	0,064	0,003	0,176	0,033	0,051	0,097	0,018	0,041	0,055	0,017	0,036	0,077	0,076	0,050	0,058	0,091	0,032
6	0,024	0,048	0,000	0,005	0,231	0,050	0,058	0,095	0,016	0,008	0,056	0,014	0,029	0,073	0,040	0,051	0,058	0,110	0,031
7	0,035	0,014	0,005	0,002	0,148	0,027	0,056	0,108	0,017	0,002	0,048	0,025	0,038	0,092	0,077	0,068	0,086	0,116	0,036
8	0,017	0,043	0,005	0,004	0,142	0,059	0,059	0,088	0,019	0,002	0,062	0,019	0,030	0,082	0,038	0,102	0,071	0,124	0,035
9	0,013	0,044	0,000	0,006	0,101	0,029	0,061	0,105	0,023	0,001	0,055	0,024	0,034	0,081	0,042	0,121	0,088	0,136	0,034

00-04	s1	s2	s3	s4	s5	s6	s7	s8	s9	s10	s11	s12	s13	s14	s15	s16	s17	s18	s19
1	0,0048	0,0001	0,0103	0,0009	0,0956	0,0107	0,0451	0,1448	0,0171	0,0266	0,0486	0,0373	0,0719	0,0681	0,1754	0,0663	0,0441	0,0877	0,0449
2	0,0568	0,0000	0,0000	0,0025	0,1418	0,0390	0,0666	0,0948	0,0212	0,0000	0,0327	0,0233	0,0305	0,0806	0,0665	0,0709	0,0650	0,1386	0,0693
3	0,0213	0,0002	0,0003	0,0055	0,1943	0,0430	0,0688	0,1130	0,0187	0,0130	0,0381	0,0147	0,0250	0,0721	0,0898	0,0561	0,0600	0,1236	0,0425
4	0,0132	0,0033	0,0015	0,0015	0,1805	0,0502	0,0658	0,0938	0,0195	0,0345	0,0390	0,0225	0,0309	0,0688	0,0823	0,0587	0,0685	0,1261	0,0395
5	0,0101	0,0100	0,0627	0,0030	0,1531	0,0335	0,0552	0,0911	0,0182	0,0495	0,0472	0,0153	0,0370	0,0599	0,1106	0,0468	0,0600	0,1019	0,0347
6	0,0175	0,0373	0,0017	0,0052	0,2350	0,0530	0,0581	0,0815	0,0159	0,0220	0,0471	0,0075	0,0311	0,0584	0,0651	0,0512	0,0592	0,1233	0,0297
7	0,0256	0,0105	0,0057	0,0018	0,1228	0,0277	0,0611	0,1041	0,0193	0,0015	0,0459	0,0282	0,0416	0,0743	0,1120	0,0638	0,0841	0,1297	0,0403
8	0,0135	0,0387	0,0001	0,0044	0,1255	0,0712	0,0565	0,0832	0,0194	0,0007	0,0507	0,0167	0,0312	0,0731	0,0660	0,0954	0,0758	0,1409	0,0370
9	0,0079	0,0358	0,0013	0,0050	0,0654	0,0405	0,0556	0,0838	0,0237	0,0009	0,0540	0,0256	0,0332	0,0713	0,0747	0,1161	0,0993	0,1631	0,0425

REGIN 2:

95-99	s1	s2	s3	s4	s5	s6	s7	s8	s9	s10	s11	s12	s13	s14	s15	s16	s17	s18	s19
1	0,004	0,000	0,010	0,001	0,111	0,014	0,043	0,167	0,017	0,033	0,058	0,038	0,079	0,078	0,135	0,058	0,036	0,079	0,041
2	0,069	0,000	0,000	0,002	0,162	0,032	0,057	0,103	0,023	0,000	0,047	0,021	0,031	0,097	0,041	0,074	0,066	0,128	0,047
3	0,025	0,000	0,000	0,004	0,233	0,040	0,056	0,118	0,017	0,008	0,043	0,018	0,026	0,093	0,058	0,062	0,055	0,109	0,036
4	0,020	0,004	0,075	0,004	0,199	0,034	0,052	0,094	0,018	0,037	0,050	0,017	0,026	0,076	0,071	0,050	0,052	0,090	0,029
5	0,015	0,031	0,008	0,003	0,195	0,045	0,054	0,097	0,017	0,031	0,055	0,017	0,039	0,078	0,058	0,054	0,064	0,104	0,034

6	0,035	0,014	0,005	0,002	0,148	0,027	0,056	0,108	0,017	0,002	0,048	0,025	0,038	0,092	0,077	0,068	0,086	0,116	0,036
7	0,015	0,044	0,003	0,005	0,122	0,044	0,060	0,097	0,021	0,001	0,058	0,022	0,032	0,081	0,040	0,111	0,079	0,130	0,035

00-04	s1	s2	s3	s4	s5	s6	s7	s8	s9	s10	s11	s12	s13	s14	s15	s16	s17	s18	s19
1	0,003	0,000	0,012	0,001	0,079	0,009	0,041	0,149	0,017	0,030	0,050	0,040	0,078	0,067	0,188	0,067	0,042	0,082	0,045
2	0,057	0,000	0,000	0,002	0,142	0,039	0,067	0,095	0,021	0,000	0,033	0,023	0,030	0,081	0,066	0,071	0,065	0,139	0,069
3	0,020	0,000	0,000	0,004	0,201	0,039	0,070	0,113	0,018	0,010	0,038	0,015	0,025	0,073	0,088	0,057	0,061	0,125	0,042
4	0,014	0,004	0,070	0,004	0,171	0,035	0,060	0,093	0,018	0,040	0,040	0,017	0,027	0,060	0,102	0,048	0,057	0,105	0,034
5	0,011	0,024	0,013	0,003	0,181	0,045	0,056	0,086	0,018	0,042	0,051	0,012	0,041	0,062	0,090	0,051	0,064	0,116	0,035
6	0,026	0,010	0,006	0,002	0,123	0,028	0,061	0,104	0,019	0,002	0,046	0,028	0,042	0,074	0,112	0,064	0,084	0,130	0,040
7	0,011	0,037	0,001	0,005	0,096	0,056	0,056	0,084	0,022	0,001	0,052	0,021	0,032	0,072	0,070	0,106	0,087	0,152	0,040

NUTS 2

95-99	s1	s2	s3	s4	s5	s6	s7	s8	s9	s10	s11	s12	s13	s14	s15	s16	s17	s18	s19
1	0,004	0,000	0,010	0,001	0,111	0,014	0,043	0,167	0,017	0,033	0,058	0,038	0,079	0,078	0,135	0,058	0,036	0,079	0,041
2	0,020	0,004	0,075	0,004	0,199	0,034	0,052	0,094	0,018	0,037	0,050	0,017	0,026	0,076	0,071	0,050	0,052	0,090	0,029
3	0,015	0,031	0,008	0,003	0,195	0,045	0,054	0,097	0,017	0,031	0,055	0,017	0,039	0,078	0,058	0,054	0,064	0,104	0,034
4	0,035	0,014	0,005	0,002	0,148	0,027	0,056	0,108	0,017	0,002	0,048	0,025	0,038	0,092	0,077	0,068	0,086	0,116	0,036
5	0,015	0,044	0,003	0,005	0,122	0,044	0,060	0,097	0,021	0,001	0,058	0,022	0,032	0,081	0,040	0,111	0,079	0,130	0,035

00-04	s1	s2	s3	s4	s5	s6	s7	s8	s9	s10	s11	s12	s13	s14	s15	s16	s17	s18	s19
1	0,003	0,000	0,012	0,001	0,079	0,009	0,041	0,149	0,017	0,030	0,050	0,040	0,078	0,067	0,188	0,067	0,042	0,082	0,045
2	0,014	0,004	0,070	0,004	0,171	0,035	0,060	0,093	0,018	0,040	0,040	0,017	0,027	0,060	0,102	0,048	0,057	0,105	0,034
3	0,011	0,024	0,013	0,003	0,181	0,045	0,056	0,086	0,018	0,042	0,051	0,012	0,041	0,062	0,090	0,051	0,064	0,116	0,035
4	0,026	0,010	0,006	0,002	0,123	0,028	0,061	0,104	0,019	0,002	0,046	0,028	0,042	0,074	0,112	0,064	0,084	0,130	0,040
5	0,011	0,037	0,001	0,005	0,096	0,056	0,056	0,084	0,022	0,001	0,052	0,021	0,032	0,072	0,070	0,106	0,087	0,152	0,040

